

Ministerul Educației și Invățământului  
INSTITUTUL POLITEHNIC "TRAIAN VUIA", TIMIȘOARA  
Facultatea de Inginerie Chimică

ing. Florea C. Neamțiu

STUDII IN DOMENIUL GUANIDELOR (2-AMINO-4-ARIL-6-OXO-1H-  
-1,3,5-TRIAZINELOR) SI AL DIHIDRODERIVATILOR CORESPUNZĂ-  
TORI (ARALCHILIDEN-1,5-GUANILUREE).

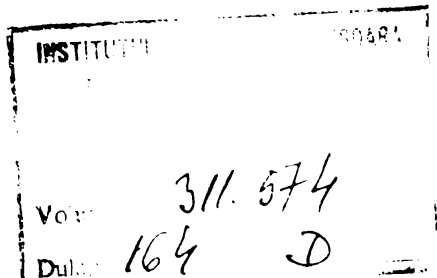
- TEZA DE DOCTORAT -

Conducător științific :

Prof.emer.cons.Dr.doc.George Ostrogovich  
m.c. al Academiei R.S.R.

BIBLIOTECA CENTRALĂ  
UNIVERSITATEA "POLITEHNICA"  
TIMIȘOARA

I 9 7 5



**Lucrarea a fost efectuată sub conducerea Prof.emer.Dr.docent G.Ostrogovich m.c. al Academiei R.S.R. , căruia fi exprim , cu sentiment de admiție , viile mele mulțumiri.**

## C U P R I N S U L

=====

1. <u>INTRODUCERE</u>	1
2. <u>DESPRE GUANIDE SI 1'-ARIL-ALCHILIDEN-1,5-GUANIL-UREE:</u>	
<u>SINTEZA A DATELOR LITERATURII</u>	
2.1.Guanide : istoric, nomenclatură, preparare, structură, mezomerie și tautomerie, proprietăți fizice și proprietăți chimice , . . . . .	4
2.1.1. Istoric și nomenclatură . . . . .	4
2.1.2. Metode de sinteză a guanidelor . . . . .	6
2.1.2.1. Sinteze nucleare ( ciclizări ) . . . . .	6
2.1.2.1.1. Reacția dintre acetil-uretan și carbonat de guanidiniu . . . . .	6
2.1.2.1.2. Ciclizarea derivatilor monoacilici ai guanilureei . . . . .	9
2.1.2.1.2.1. Acilarea directă a guanilureei sub forma unor săruri ale sale . . . . .	9
2.1.2.1.2.2. Sinteză unor acil-guanil-uree prin intermediul acil-cianguanidinelor . . . . .	11
2.1.2.1.2.3. Sinteză unor derivăți acilici ai guanilureei din cianguanidină fără izolarea 1-acil-3-cianguanidinelor intermediare .	13
2.1.2.1.3. Sinteză directă a formoguanidei și a unor de-	

rivați N-alchilați ai săi din guanil-ureele corespunzătoare (baze libere ) și agenții moderni de formilare.	
Extensibilitatea metodei pentru obținerea unor homologii ai formoguanidei în cazul folosirii orto-esterilor carbonilici corespunzători ca agenți de acilare . . . . .	14
2.1.2.1.4. Izomerizarea 1-acil-3-cianguanidinelor (ciclizarea lor nemijlocită) . . . . .	16
2.1.2.1.5. Sinteza nucleară directă din acizi carboxilici și cianguanidină . . . . .	17
2.1.2.1.6. Sinteza formoguanidei <u>1</u> , din formiat de guanil-uree . . . . .	17
2.1.2.2. Metode de sinteză bazate pe reacții de substituție . . . . .	18
2.1.3. Structură. Mezomerie și tautomerie . . . . .	22
2.1.4. Proprietăți fizice . . . . .	26
2.1.5. Proprietățile chimice ale guanidelor . . . . .	27
2.1.5.1. Caracterul amfoter . . . . .	27
2.1.5.2. Reacții de acilare . . . . .	28
2.1.5.3. Hidroliza acetoguanidei . . . . .	28
2.1.5.4. Reacția de bromurare . . . . .	28
2.1.5.5. Reacția acetoguanidei cu acidul clorsulfonic	29
2.1.5.6. Reacția de condensare a acetoguanidei cu aldehidele . . . . .	29
2.2. 1'-Aril-alchiliden-1,5-guanil-uree : istoric, nomenclatură, preparare, structură, tautomerie, proprietăți fizice și proprietăți chimice . . . . .	30
2.2.1. Istorice și nomenclatură . . . . .	30
2.2.2. Metode de sinteză . . . . .	31

2.2.3. Tautomerie . . . . .	33
2.2.4. Proprietăți fizice . . . . .	33
2.2.5. Proprietăți chimice . . . . .	34
<b>3. CONTRIBUTII ORIGINALE</b>	
3.1. Studii în domeniul 1'-aril-alchiliden-guanil-ureelor substituite la nucleul arilic (4-amino-2-aril-6-oxo-1H,3H-1,3,5-triazinelor) (IV A) . . . . .	36
3.1.1. Sinteza unor benziliden-1,5-guanil-uree mono- și disubstituite la nucleul fenilic, prin reacția guanil-ureei cu benzaldehidele corespunzătoare	36
3.1.2. Dozarea guanil-ureei în mediul de reacție . . . . .	42
3.1.3. Studiul spectroscopic în infraroșu al compușilor benziliden-1,5-guanil-ureici (4-amino-2-fenil-6-oxo-1H,3H-1,3,5-triazinici) (IV A <sup>1</sup> ) . . . . .	44
3.1.3.1. Interpretarea spectrelor de absorbție în infraroșu al bazelor libere . . . . .	44
3.1.3.2. Interpretarea spectrelor de absorbție în infraroșu ale compușilor monoprotonați (sulfatii)	50
3.1.4. Dedublarea în enantiomeri a benziliden-1,5-guanil-ureei . . . . .	54
3.1.5. Acetilarea benziliden-1,5-guanil-ureei . . . . .	57
3.1.6. Oxidarea benziliden-1,5-guanil-ureei . . . . .	60
3.1.7. Metodă cromatografică în strat subțire, de separare, recunoaștere și dozare a benziliden-1,5-guanil-ureelor și benzoguanidelor . . . . .	61
3.2. Studii în domeniul guanidelor (2-amino-4-R-6-oxo-1H-1,3,5-triazinelor), III. . . . . . . . .	67

3.2.1. Sinteza unor benzoguanide (2-amino-4-aryl-6-oxo-1,3,5-triazine), III A . . . . .	67
3.2.2. Spectrele în infraroșu ale benzoguanidelor .	70
3.2.3. Calcule de orbitali moleculari prin metoda Hückel . . . . .	76
3.2.3.1. Energia $\pi$ totală. Energia de legătură și tautomeria . . . . .	80
3.2.3.2. Energiile de tranziție și spectrele în ultraviolet . . . . .	85
3.2.3.3. Densitățile electronice și ordinul de legătură . . . . .	88
3.2.4. Reducerea polarografică în clasa benzoguanidelor (III A) . . . . .	93
3.2.4.1. Reducerea polarografică a compusului fundamental nesubstituit (benzoguanida III A <sub>1</sub> ) : mecanismul de reacție . . . . .	93
3.2.4.1.1. Fenomenele de adsorbție . . . . .	94
3.2.4.1.2. Dependența curentului de concentrația depolarizantului . . . . .	97
3.2.4.1.3. Dependența curentului de înălțimea coloanei de mercur . . . . .	101
3.2.4.1.4. Influența temperaturii asupra curentului de difuziune . . . . .	103
3.2.4.1.5. Determinarea numărului de electroni (n) .	106
3.2.4.1.6. Electroliza la potențial controlat . . .	110
3.2.4.1.7. Dependența de pH a potențialelor de semiundă . . . . .	120
3.2.4.1.8. Analiza logaritmică a curbilor polarografice . . . . .	120

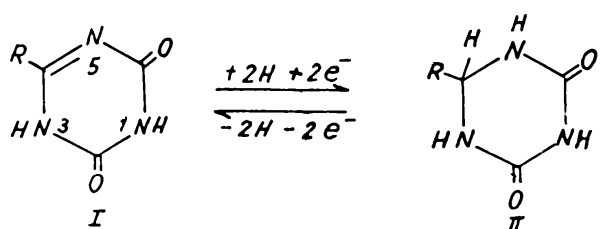
3.2.4.1.9. Discuție . . . . .	125
3.2.4.2. Reducerea polarografică a unui număr de benzo-guanide meta- și para-substituite (III A <sub>n</sub> cu X ≠ H în pozițiile 3' și 4'). Aplicabilitatea ecuației Hammett - Zuman la variația potențialelor de semiundă în funcție de natura și poziția substituenților . . . . .	129
3.2.4.2.1. Efectul exercitat în mediu acid (pH=1,85) de substituenți din pozițiile meta și para. . . . .	135
3.2.4.2.2. Efectul exercitat în mediu bazic (pH=8,35) de substituenți din pozițiile meta și para . . . . .	138
3.2.5. Corelarea potențialelor de semiundă cu calculele HMO . . . . .	141
<b>4. PARTEA EXPERIMENTALA</b>	
4.1. Asupra benziliden-1,5-guanil-ureelor (IV A) . . .	145
4.1.1. Prepararea sulfatului de guanil-uree . . . . .	145
4.1.2. Procedeul de preparare al benziliden-1,5-guanil-ureelor (IV A) . . . . .	146
4.1.3. Determinarea cantitativă a guanil-ureei în mediul de reacție . . . . .	147
4.1.4. Studiul spectroscopic în infraroșu . . . . .	150
4.1.5. Dedublarea în enantiomeri a (+)-benziliden-1,5-guanil-ureei (IV A <sub>1</sub> ) . . . . .	150
4.1.6. Acetilarea benziliden-1,5-guanil-ureei . . . .	152
4.1.6.1. Monoacetil-dprivatul (rezumativ 2-fenil-4-acetilamino-6-oxo-1H,3H-1,3,5-triazina) . . . .	152

4.1.6.2. Triacetil-derivatul (1,3-diacetil-2-fenil-4-acetil-amino-6-oxo-1,3,5-triazina) . . . . .	153
4.1.7. Oxidarea benziliden-1,5-guanil-ureei la benzoguanidă . . . . .	153
4.1.8. Metodă chromatografică în strat subțire de separare recunoaștere și dozare a benziliden-1,5-guanil-ureelor și benzoguanidelor . . . . .	154
4.1.8.1. Prepararea compușilor puri . . . . .	154
4.1.8.2. Cromatografia în strat subțire . . . . .	155
4.2. Asupra guanidelor III A (2-amino-4-ărîl-6-oxo-1H-1,3,5-triazinelor) . . . . .	156
4.2.1. Sinteza unor benzoguanide . . . . .	156
4.2.1.1. Procedeul după D.Nagy . . . . .	157
4.2.1.2. Oxidarea aralchiliden-1,5-guanil-ureelor . .	157
4.2.2. Spectrele în infraroșu . . . . .	157
4.2.3. Spectrele UV . . . . .	158
4.2.4. Reducerea polarografică în seria benzoguanidelor III A . . . . .	158
4.2.4.1. Comportarea polarografică a benzoguanidei (III A <sub>1</sub> ) . . . . .	158
4.2.4.2. Comportarea polarografică a benzoguanidelor meta- și para-substituite . . . . .	159
<u>REZUMAT CONCLUZIV</u> . . . . .	161
<u>BIBLIOGRAFIE</u> . . . . .	169

## 1.- INTRODUCERE

Cercetările din prezenta lucrare își au originea în anumite observații mai vechi, făcute pentru prima oară de către A. Ostrogovich și G. Ostrogovich<sup>1</sup> care au constatat că aşa zisele "guanamide" (4-R-2,6-dioxo-1H,3H-1,3,5-triazine : formula generală I de mai jos), se lasă ușor trecute prin hidrogenare atât catalitică cît și cu hidrogen în stare născindă, în 1,2-dihidro-derivații corespunzători II care pot fi numiți mai comod alchiliden-1,5- respectiv 1'-arilalchiliden-1,5-biureți.

În continuare, G. Ostrogovich a realizat, tot pentru prima oară și trecerea inversă prin oxidare pe cale umedă cu reactiv Tollens sau cu hipobromit de potasiu, obținând astfel, cu randamente foarte bune, aceto- și benzoguanamida (I, R = Me, respectiv Ph), din etiliden- respectiv benziliden-1,5-biuret (II, R = Me, respectiv Ph)<sup>2</sup> :

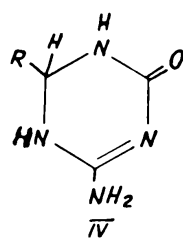
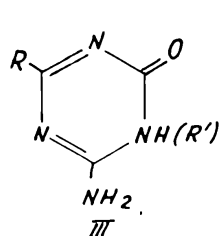


(Guanamide)

(Alchiliden-1,5-biureti)

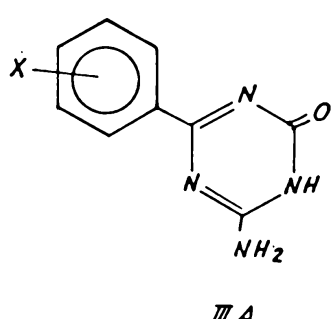
A apărut astfel interesant să se elucideze bunăoară în ce măsură, respectiv în ce condiții procese analoage de hidrogenare-dehidrogenare s-ar lăsa comod înfăptuite și în clasa

similară a aşa ziselor "guanide" (III), respectiv l'-R-alchiliden-1,5-guaniluree (IV), cunoscute și ele destul de bine, întrucât explorarea lor preparativă a permis să sintetizeze pe alte căi mai mult sau mai puțin avantajoase o seamă de reprezentanți ai fiecărei dintre aceste două clase, precum se va arăta mai departe.

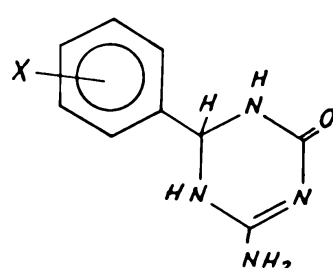


(Guanide = 2-Amino-4-R-  
-6-Oxo-1H-1,3,5-triazine)      (l'-R-Alchiliden-1,5-  
-guanil-uree)

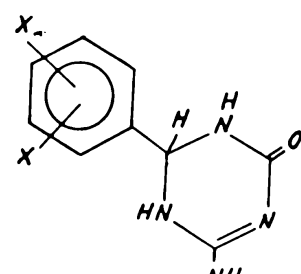
Dat fiind că, printre derivații de tipul general IV numai cei l'-aril-alchilidenici ( $R = Ar$ ) s-au dovedit ușor accesibili prin reacția dintre aldehidele aromatice și guaniluree în mediu de  $H_2SO_4$  conc.,<sup>3-6</sup> atenția noastră s-a îndreptat mai întîi limitativ asupra compușilor arilați de tipurile III și IV ( $R = Ar$ , respectiv  $C_6H_4-X$ ), astădat asupra "benzoguanidelor" și l'-aril-alchiliden-1,5-guanilureelor, variat substituite la nucleul benzenic (III A și IV A).



("Benzoguanide")



(l'-Aril-alchiliden-1,5-guanil-uree)



Pe lîngă aspectul de un anumit interes stereochimic pe care îl prezintă întreaga clasă a alchiliden-1,5-guanil-

-ureelor (IV) datorită naturii lor previzibile și prevăzute de substanțe racemice, aşadar susceptibile principial de scindare în antipozi optici<sup>4</sup>, o largire a gamei compușilor arilați din ambele clase III A și IV A s-a arătat demnă de urmărit prin aplicarea metodei preparative de mai sus în cazul IV A respectiv a unei metode convenabile dintre diversele care s-au descris în cazul III A. O astfel de largire constituia în adevăr premiza unui studiu sistematic al influenței substituenților X de pe nucleul benzenic asupra vitezei procesului de formare a compușilor IV A din guaniluree și aldehyde aromatice (în ipoteza unei reușite a străduinței de a pune la punct o metodă analitică adecvată pentru măsurători cinetice), dar mai ales și anume cu șanse mult mai mari de succes asupra ușurinței de hidrogenare a benzoguanidelor (III A) respectiv de dehidrogenare a 1'-aril-alchiliden-1,5-guanilureelor (IV A).

De altfel, un studiu mai avansat al ambelor clase de combinații, din punctele de vedere sumar conturate în cele ce preced (astfel încât să ducă în ultimă analiză la o mai largă și temeinică caracterizare fizico-chimică a lor și pe cît posibil la precizarea condițiilor de obținere a reprezentanților fiecărei clase, tocmai prin trecerea de la una la alta pe calea procesului de hidro-dehidrogenare în chestiune), a devenit în ultima vreme cu atât mai atrăgător cu cît s-a constatat că reprezentantul cel mai simplu al clasei guanidelor, anume formoguanida (III R = H) prezintă ca și alți analogi triazinici sau "azaanalogeni" ai bazelor

pirimidinice din acizii nucleici proprietăți citostaticе (bacteriostaticе sau antitumorale) <sup>7,8</sup> și mutagenice <sup>9</sup> demne de atenție. Totodată, numeroase publicații relativ recente semnalează diverse efecte biologice ale acestor compuși <sup>10-34</sup>, printre care este suficient să amintesc aici ca exemplu, utilizarea l-glicozil-formoguanidei (-azacito-sinei) (III cu R = H, R' = glicozil) în tratamentul leucemiei ; substanța fiind acoperită de mai multe brevete. <sup>29-34</sup>

Din cuprinsul prezentei lucrări se pot vedea direcțiile de cercetare care s-au concretizat în sensul preocupărilor schițate mai sus, ca unele ce au dus la o seamă de noi reprezentanță și de precizii privind obținerea și proprietățile lor.

## 2.- DESPRE GUANIDE SI 1'-ARIL-ALCHILIDEN-

### -1,5-GUANIL-UREE : SINTEZA A DATELOR

### LITERATURII

2.1.- Guanide : istoric, nomenclatură, preparare, structură, mezomerie și tautomerie, proprietăți fizice și proprietăți chimice.

#### 2.1.1.- Istoric și nomenclatură

Compușii cu formula structurală generală III, sint

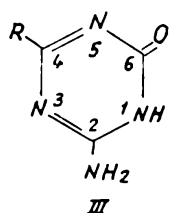
denumiți "guanide" în cea mai mare parte a literaturii din trecut și prezent. Denumirea generică de "guanide" a fost dată de către Nencki<sup>35</sup> compușilor de tipul 2-amino-6-oxo-1H-1,3,5-triazinic, III, substituiți în poziția 4 cu un rest hidrocarbonat R. Aceasta este determinant pentru denumirea specifică a fiecărui reprezentant, construită prin afectarea numelui generic cu un prefix dat de denumirea acidului carboxilic cu același rest R deci R-COOH. Astfel primul compus obținut de Nencki a fost acetoguanida (2-amino-4-metil-6-oxo-1H-1,3,5-triazina), 2, prin hidroliza alcalică a acetoguanaminei (2,4-diamino-6-metil-1,3,5-triazinei), reacția (14), pe care același autor o preparase tot pentru prima oară supunind distilării uscate acetatul de guanidă.<sup>36</sup>

In tabela 1 sunt cuprinse atât denumirile istorice cât și cele rationale, mai frecvente, ale acestor compuși.

In cele ce urmează vom folosi primele denumiri pentru motive de simplitate, iar dintre denumirile rationale, numai pe cele conforme regulilor IUPAC,<sup>37</sup> pentru motive de unitate.

### T a b e l a 1

#### Nomenclatura guanidelor



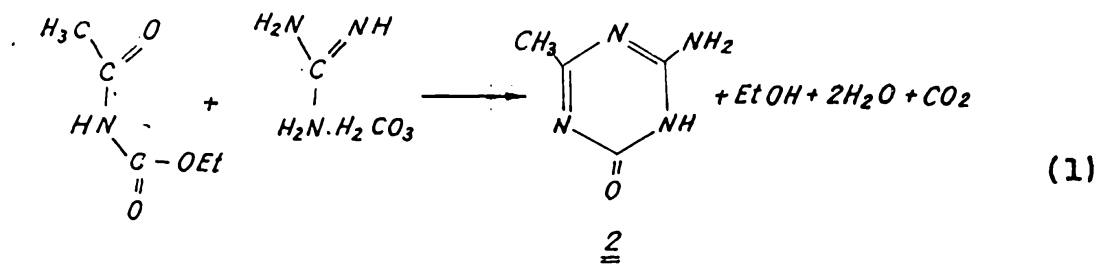
R	Denumiri istorice		<u>Denumiri rationale</u>	
			Franceză	IUPAC
H-	Formo- guanidă	5-Aza- citosină	Amino-2- dihydro-1,6- triazine- -1,3,5-one-6	2-Amino-6- oxo-1H-1,3,5- triazina
$\text{CH}_3-$	Aceto- guanidă	6-Metil- 5-aza- citosină	Amino-2- methyl-4- dihydro-1,6- triazine-1,3,5-triazina one-6	2-Amino-4- metil-6-oxo- 1H-1,3,5- triazina .
$\text{C}_6\text{H}_5-$	Benzo- guanidă	6-Fenil- 5-aza- citosină	Amino-2- phenyl-4- dihydro-1,6- triazine- 1,3,5-one-6	2-Amino-4- fenil-6-oxo- 1H-1,3,5- triazina

### 2.1.2.- Metode de sinteză a guanidelor

#### 2.1.2.1.- Sinteze nucleare (ciclizări)

2.1.2.1.1.- a) Reacția dintre acetil-uretan și carbonat de guanidiniu

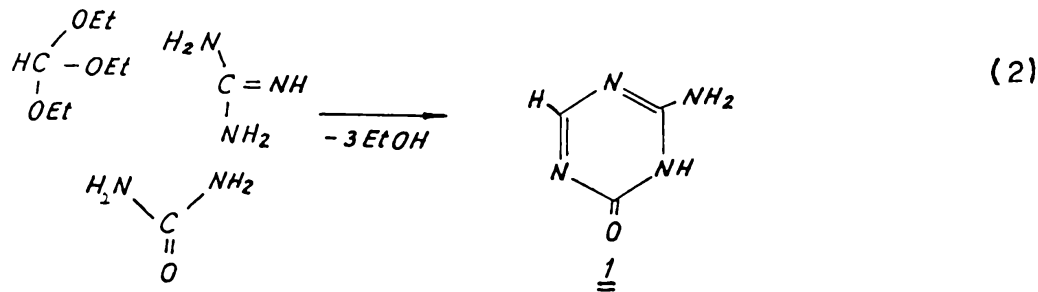
A. Ostrogovich a realizat pentru prima oară o sinteză nucleară directă a acetoguanidei <sup>2</sup>, făcind să reacționeze la  $135 - 140^\circ\text{C}$  timp de 6 ore acetil-uretanul asupra bicarbonatului de guanidiniu /schema (1)/ <sup>38</sup> :



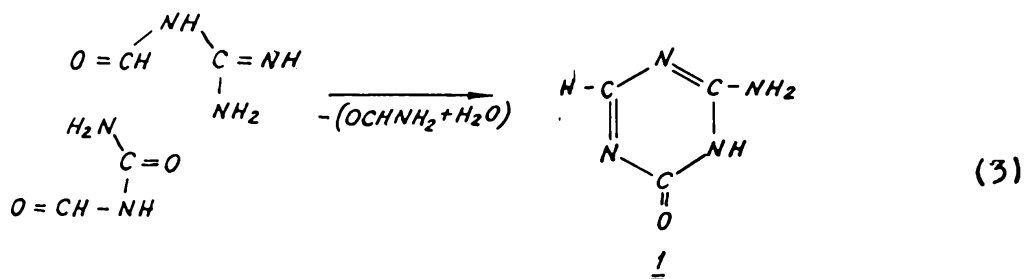
Din amestecul complex pe care îl constituie masa solidă a produsului de reacție, acetoguanida a fost izolată mai întîi sub forma carbonatului din care 2 a fost obținută prin dizolvare în acid mineral apăs. Rendament în substanță pură 20%.

b) Pentru obținerea capului de serie al guanidelor (formoguanida sau 2-amino-6-oxo-1H-1,3,5-triazina) (1) s-au realizat mai recent diverse variante procedurale, care provin de la amestecul echimolar de uree și guanidină, probabil bicarbonat, prin încălzirea lui cu un agent de formilare ca esterul ortoformic  $\text{HC(OEt)}_3$ , sau formamida  $\text{O}=\text{CH}-\text{NH}_2$ <sup>39</sup> (2), precum și de la amestecuri echimolare ale derivațiilor formilati corespunzători, preformati.<sup>39</sup>

In primul caz, formoguaida a putut fi sintetizata cu un randament de 40% :



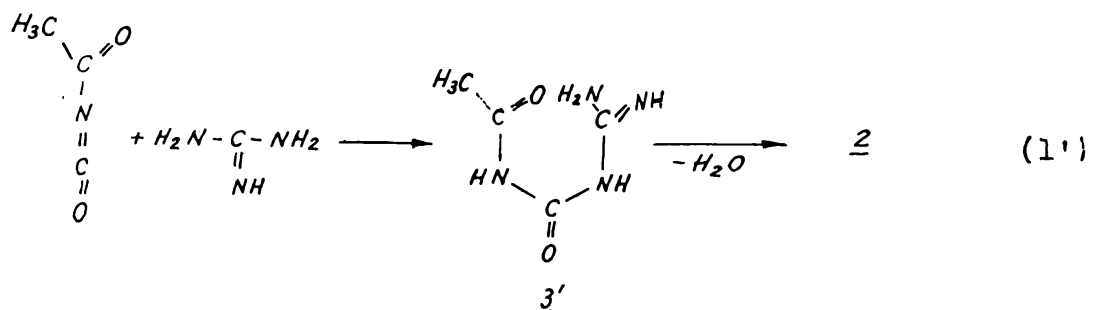
In cel de al doilea caz, cind s-a incalzit 5 ore la  $140^{\circ}$  un amestec echimolar de formiluree si formil-guanidină, este remarcabil faptul că din cele trei combinații teoretic susceptibile de a lua naștere ca produse de reacție (formoguanamină -guanidă și -guanamidă) nu s-a obținut decât formoguanamida 1, cu un randament de 60% /schema (3)/ :



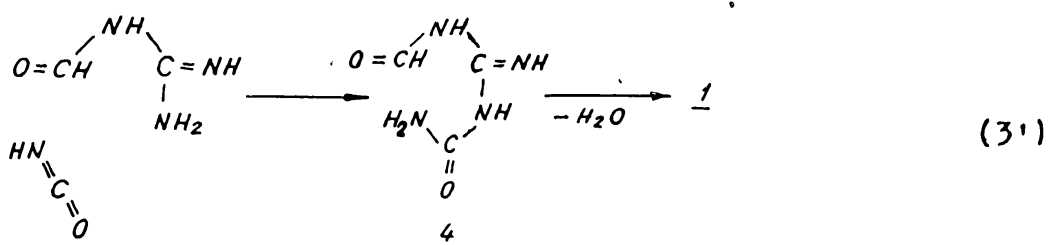
Aptitudinea derivațiilor amidici ai acidului carbonic și a acizilor policarbonici de a suferi la încălzire fie în topitură, fie în medii organice, transformări termolitice care dau naștere la acid cianic respectiv la izocianat de acil - aptitudine care este o consecință a naturii lor de combinații cu funcție quadruplă și care a fost evidențiată toomai în cazul unor derivați acilici îndeosebi de Prof. G. Ostrogovich și colaboratori <sup>40</sup> - face să apară extrem de probabil că reacțiile de mai sus asumă și ele același mecanism general.

Astfel, în vechea sinteză a acetoguanidei 2, după A. Ostrogovich (1) este de presupus că procesul debutează prin termoliza acetiluretanului la etanol și izocianat de acetil, care aditionează imediat guanidina generind acetil-

carbamoilguanidina (5-acetil-guanilureea) 3'. Aceasta ar fi deci precursorul imediat al produsului final care rezultă prin cicлизare cu eliminare de apă:



De asemenea, în cazul reacției (3) apare clar că formil-ureea se descompune în formamidă și acid izocianic care, cu formilguanidina, generează 1-formil-guanilureea 4, iar aceasta trece prin cicлизare cu eliminare de apă în 1, explicindu-se astfel și decursul selectiv al procesului :



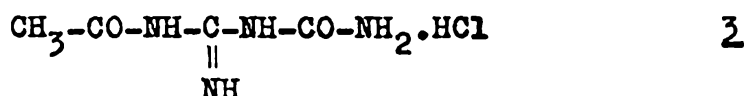
#### 2.1.2.1.2.- Cicлизarea derivaților monoacilici ai guanilureei

##### 2.1.2.1.2.1.- Acilarea directă a guanilureei sub formă unor săruri ale sale

Primul produs de acilare directă a guanilureei a

fost obținut de A.Ostrogovich <sup>3</sup> supunind sulfatul de guaniluree  $H_2SO_4(C_2H_6ON_4)_2$  sau încă mai bine acetatul acestei baze  $CH_3.COOH.C_2H_6ON_4$  la acțiunea unui oarecare exces de clorură de acetil în tub închis la  $100^\circ$ . Produsul s-a dovedit să fi clorhidratul unui mono-acetil-derivat al guanil-ureei.

A. Ostrogovich și-a pus problema constituției mono-acetil-derivatului în cauză, întrebîndu-se dacă restul acetic este atașat de capătul guanidic sau la cel ureic al guanil-ureei. Rezervîndu-și să încerce să rezolve dilema printr-o sinteză indirectă din izocianat de acetil și guanidină, autorul a optat ipotetic pentru prima alternativă, atribuind produsului constituția unui clorhidrat al 1-acetil-guanil-ureei 2,

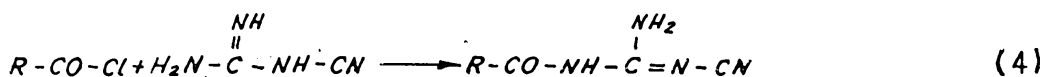


pe baza considerentului că acetilarea trebuie să fi decurs preferențial la capătul mai bazic al guanil-ureei.

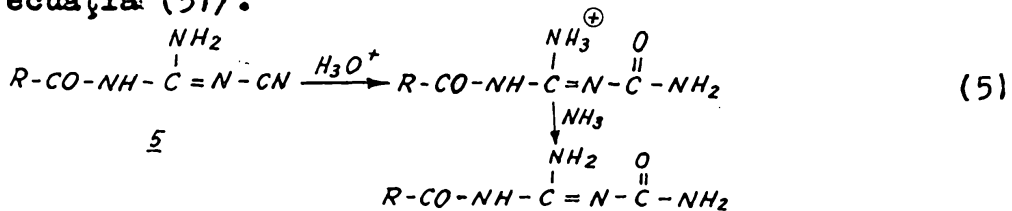
La încercarea de a izola această presupusă acetil-guaniluree ca bază liberă (prin tratarea soluției apoase a clorhidratului 2 cu un echivalent de  $NH_3$ ,  $Na_2CO_3$  sau chiar  $NaOH$ ), A. Ostrogovich a constatat imposibilitatea obținerii acestei baze ca atare, întrucât din soluție se separă în locul ei însăși acetoguanida 2, evidentându-se astfel faptul că acetil-derivatul în chestiune nu este stabil în stare liberă, ci se ciclizează spontan cu eliminarea unei molecule de apă.

### 2.1.2.1.2.2.- Sinteză unor acil-guanil-uree prin intermediul acil-cianguanidinelor

Derivați monoacilici ai guanil-ureei, în care restul acilic este neîndoielnic legat de partea guanidinică a moleculei fundamentale - structura lor de acil-guanil-uree propriu zise (și anume mai precis, 1-acil-guanil-ureei) fiind dovedită prin sinteză - au fost obținute mai târziu de Kaiser și Thurston <sup>41,42</sup>, prin intermediul 1-acil-3-cianguanidinelor ușor accesibile din cianguanidină sub acțiunea clorurilor de acil sau anhidridelor (4) :



Compuși acilici de tipul 5 suferă cu ușurință, în cîteva minute, la încălzire cu acizi minerali apozi hidroliză la 1-acil-guanil-ureele corespunzătoare, care se obțin astfel sub forma sărurilor lor cu acizii respectivi /ecuația (5)/.



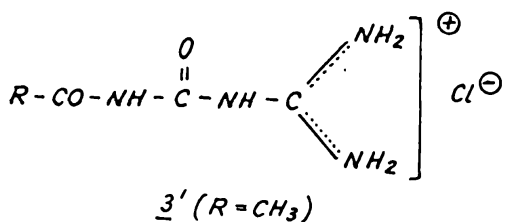
Intr-o publicație ulterioară, P. Adams și colab. (printre care și cei din autorii de mai sus)<sup>43</sup> socotesc a putea rectifica vechea afirmație a lui A. Ostrogovich privind imposibilitatea izolării derivațiilor mono-acilici ai guanil-ureei ca baze libere.

De fapt, compușii de tipul 6 se lasă izolați din sărurile lor cu baze libere care nu suferă ciclizare

decit la incalzire sau si la rece in cataliza bazica.

S-a scapat astfel din vedere ca acil-guanil-ureele  $\underline{\lambda}$ , obtinute ca produse de hidroliză ale l-acil-cian-guanidinelor  $\underline{\lambda}$  și cu produsele acilariei nemijlocite a sărurilor guanil-ureei (cum este cel descris sub 2.1.2.1.2.1.), nu sint identice ci izomere de constituție.

In adevar, G. Ostrogovich și A. Nemes<sup>44</sup> au scos recent in evidență, că ceea ce trebuie rectificat in vechea lucrare a lui A. Ostrogovich<sup>3</sup> nu este afirmația amintită, ci însăși constituția atribuită produsului de acetilare a sulfatului de guanil-uree, care in realitate nu corespunde formulei  $\underline{\lambda}$  de mai sus, ci formulei  $\underline{\lambda}'$ , fiind aşadar clorhidratul acetil-carbamoil-guanidinei (5-acetil-guanil-ureei) :



De fapt, a devenit intre timp evident ceea ce nu era clar previzibil in 1909 și anume, că in sulfatul de guanil-uree nu este accesibil acilariei directe decit capătul ureic, al moleculei (cel guanidinic fiind blocat prin protonare și deci inactiv ca partener nucleofil), astfel că produsul acilariei trebuie să aibe constituția unei sări de acil-carbamoil-guanidină (tip  $\underline{\lambda}'$ ).

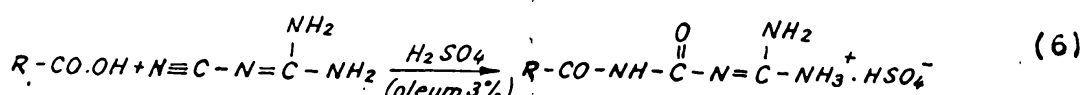
Se înțelege totodata, că intre  $\underline{\lambda}'$  și  $\underline{\lambda}$  trebuie să subsiste tocmai diferența de comportare care se desprinde din cele de mai sus, baza liberă corespunzătoare lui  $\underline{\lambda}'$  nefiind susceptibilă de existență ca atare, întrucit

capătul guanidinic extrem de nucleofil determină cicлизarea spontană la guanida corespunzătoare III (prin atac nucleofil intramolecular la grupa CO din restul acilic, urmat de eliminarea unei molecule de H<sub>2</sub>O), pe cind derivații izomeri de tipul 6 sunt izolabili ca și compușii 1-acil-biuretici. Cicлизarea lor care duce la aceleasi guanide III, are loc numai la încălzire ca atari sau și la rece, dar numai în mediu bazic.

Mai tîrziu procedeul a fost folosit și pentru sinteza metacril-guanidei. 45

2.1.2.1.2.3.- Sinteză unor derivați acilici ai guanil-ureei din cianguanidină fără izolare  
1-acil-3-cianguanidinelor intermediare

O variantă care se arată foarte larg și avantajos practicabilă, este cea dată de Nagy 46. Ea constă în reacția acizilor carboxilici liberi cu cianguanidina în mediu de oleum 3% la temperatură de 20 - 30°, care se menține prin răcire exterioară sub agitare puternică. Derivații monoacilici ai guanil-ureei (care rezultă în aceste condiții după turnarea amestecului de reacție peste gheăță) se precipită sub forma sulfatilor respectivi. Mecanismul reacției nu este clarificat. Cel formulat în literatură 47 implică adiția acizilor carboxilici la grupa CN cu formarea sulfatilor acil-carbamoiil-guanidinelor (5-acil-guanilureelor) :



3'

Literatura afirmă că prin neutralizarea și încălzirea succesivă a soluției (sau suspensiei) apoase a compușilor  $\beta'$  rezultă guanidele corespunzătoare III.

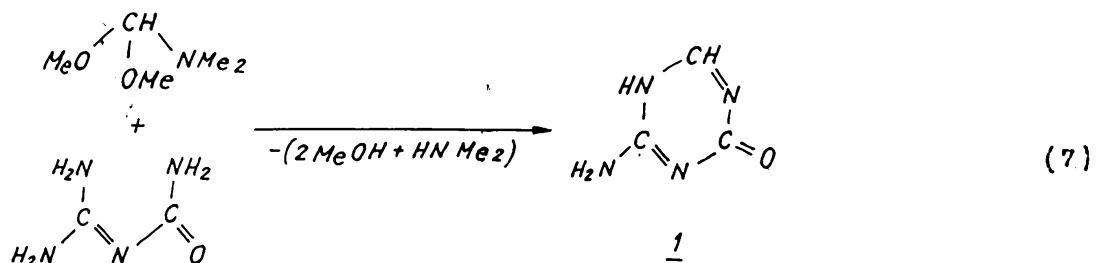
Intrucât încălzirea ar fi efectiv necesară (ceea ce ar însemna că derivații mono-acilici ai guanil-ureei astfel obținuți sănt stabili și izolabili ca baze libere), această comportare n-ar fi compatibilă cu structura  $\beta'$  ci numai cu structura  $\beta$  de l-acil-guanil-uree. Ar urma deci, ca în mediu de oleum, acizii carboxilici să acileze cianguanidina în parte guanidinică a moleculei, ceea ce de fapt, apare puțin plauzibil, de vreme ce în astfel de condiții această constelație trebuie să fie și ea protonată.

In realitate, încălzirea este foarte probabil superfluă ceea ce în lucrările noastre preparative (în care am utilizat această metodă) n-am avut în vedere să controlăm.

2.1.2.1.3.- Sintiza directă a formoguanidei și a unor derivați N-alchilați ai săi din guanil-ureele corespunzătoare (baze libere !) și agenții moderni de formilare. Extensibilitatea metodei pentru obținerea unor homologi ai formoguanidei în cazul folosirii orto-esteriorilor carboxilici corespunzători ca agenți de acilare

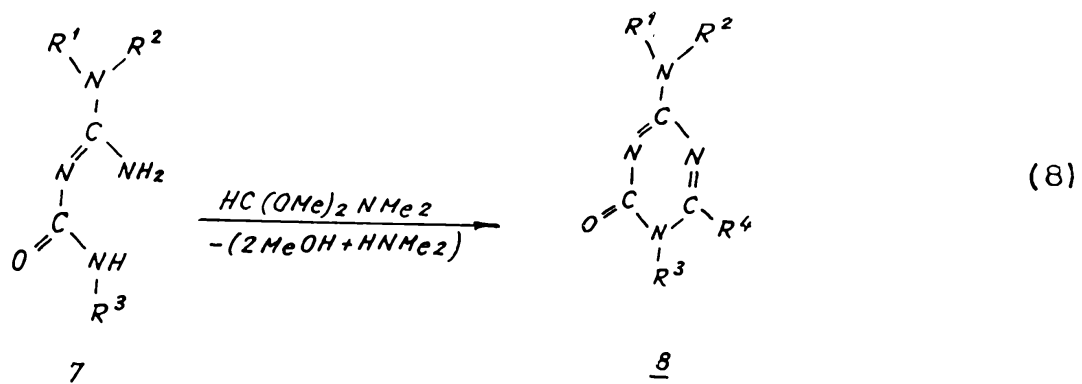
Guanil-ureea (bază liberă) trece direct, cu randament de 91%, în formoguanida  $\underline{l}$ ,<sup>48</sup> la tratarea soluției sale metanolice absolute, cu un mic exces de dimetil-formamida-dimetil-acetal

(ortoformodimetilamido-dimetil-diester  $\text{Me}_2\text{N}-\text{CH}(\text{OMe})_2$ )<sup>49</sup>



Spre deosebire de reacția similară cu biuretul, cind produsul inițial este 1-(N,N-dimetilamino-metilen)-biuret (format printr-o dimetilamido-formilare unilaterală)<sup>50</sup>, în cazul de față nu s-a putut detecta apariția intermediară a compusului similar.

Reacția guanil-ureelor N-alchilate 7 cu același agent, în condiții practice identice, duce la formoguanidele 8, dar mai lent decât în cazul guanil-ureei nesubstituite :



$$\begin{aligned} R^1 &= R^2 = R^3 = \text{H} ; \quad R^1 = R^2 = \text{CH}_3 , \quad R^3 = \text{H} ; \\ R^1 &= R^2 = R^3 = \text{CH}_3 \end{aligned}$$

Si cu  $\text{HC(OEt)}_3$  în dimetilformamidă la  $155^\circ\text{C}$  timp de 90', guanil-ureea trece în 1 cu randament de aproximativ 86% .

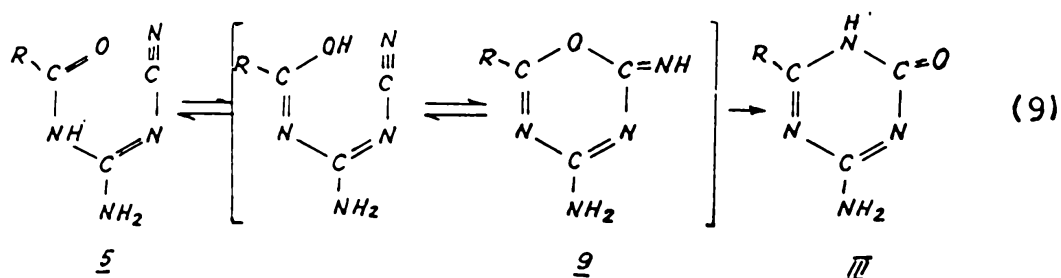
Folosirea  $\text{CH}_3\text{-C(OEt)}_3$  precum și a  $\text{CH}_3\text{-CH}_2\text{-C(OEt)}_3$  în condițiile descrise în aliniatul precedent, duce la formarea aceto-guanidei (randament 82%, respectiv a propio-guanidei (randament 70%).

Alți derivați funcționali ai acidului formic reacționează în mod similar, dar cu randamente considerabil mai scăzute.

#### 2.1.2.1.4.- Izomerizarea 1-acil-3-cianguanidelor (ciclizarea lor nemijlocită)

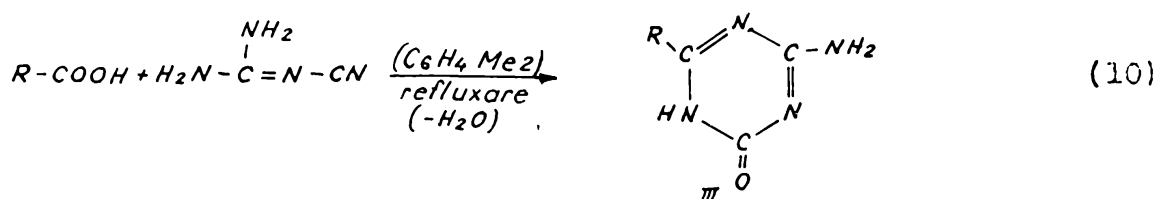
Observată pentru prima oară în cazul reacției cianoguanidinei cu anhidrida acetică<sup>51</sup> și cu anhidrida benzoi că,<sup>52</sup> cînd s-a obținut direct aceto-guanida 2, respectiv benzo-guanida III A ( $\text{Ar} = \text{C}_6\text{H}_5$ ) – ulterior s-a mai obținut la fel și 2-isopropilamino-4-metil-6-oxo-1H-1,3,5-triazina<sup>53</sup> – această izomerizare a fost reluată în studiu de Adams și colab. în lucrarea deja citată.<sup>43</sup>

Adams și colaboratori admit că izomerizarea ar implica apariția unui intermediar 1-oxa-3,5-diazinic neizolabil 9, care ar subsista în proporție redusă în soluțiile cianoguanidinelor 5, în virtutea unui echilibru tautomer :



### 2.1.2.1.5.- Sinteza nucleară directă din acizi carboxilici și cianguanidină

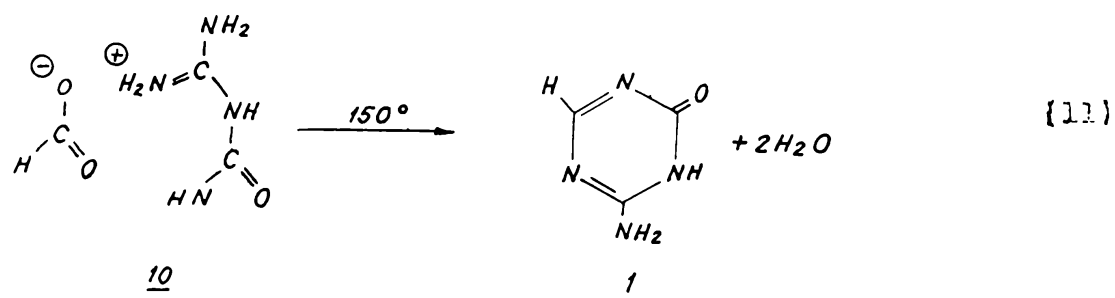
Primele observații relative la o astfel de sinteză se datorează lui M.T. Danghian<sup>54-56</sup> care a obținut cu bune randamente o serie de guanide prin cicлизarea acizilor carboxilici corespunzători, cu cianguanidina în mediu de xilen la reflux timp de mai multe ore :



Metoda a fost utilizată ulterior cu succes de Davidov și colab.<sup>57</sup>, folosind acizii trifluor-, difluor-, fluoro-olor- și monofluor-acetic, de asemenea și cu homologi perfluorurați ai acidului acetic.

### 2.1.2.1.6.- Sinteza formoguanidei 1, din formiat de guanil-uree

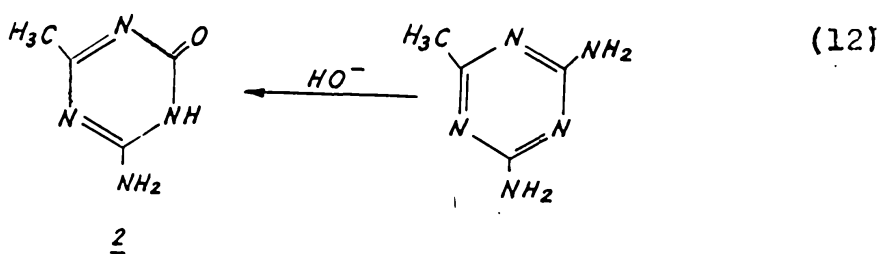
Prin încălzire la reflux a dician-diamidei cu acid formic uscat, se formează în prima etapă formiatul de guanil-uree 10, care prin încălzire la 150°C, trece în formoguanida 1,<sup>58</sup> reacția (11) :



Inainte ca Hartenstein și Fridovich <sup>58</sup> să clarifice acest mecanism de reacție, unii autori au susținut că produsul (formoguanida), conține fie apă de cristalizare, <sup>59</sup> fie impurități volatile, <sup>48</sup> care prin încălzire la 150° se pierd, rămânind produsul pur. Alți autori <sup>60</sup> însă care nu atingeau această temperatură, obțineau ca singur produs de reacție, ceea ce autorii citați au dovedit a fi formiatul de guanil-uree. Aceiași autori arată că procesul implică mai întâi hidroliza cianuanidinei la guanil-uree, reacție pentru care apa necesară provine din descompunerea acidului formic.

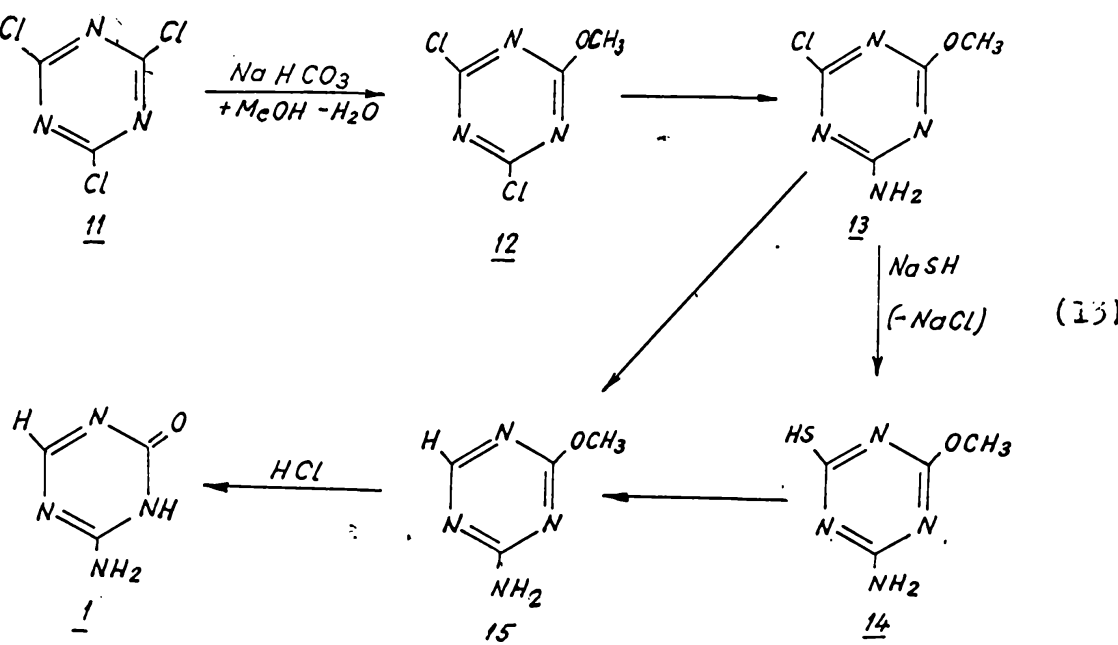
2.1.2.2.- Metode de sinteză bazate pe reacții de substituție

2.1.2.2.1.- Guanaminele prin încălzire cu o soluție concentrată cu o soluție de hidroxid de sodiu, trec în guanide,<sup>35</sup> reacția (12) :



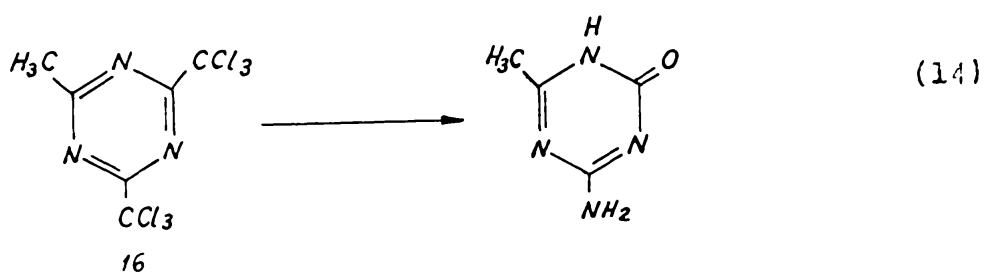
In aceleași condiții, hidroliza capului de serie al guanaminelor nu are loc, condițiile mai drastice ducând la distrugerea inelului triazinic.

2.1.2.2.2.- Formoguanida 1, se poate prepara cu rândament bun, plecînd de la clorura de cianuril, conform schemei (13) <sup>61</sup> :

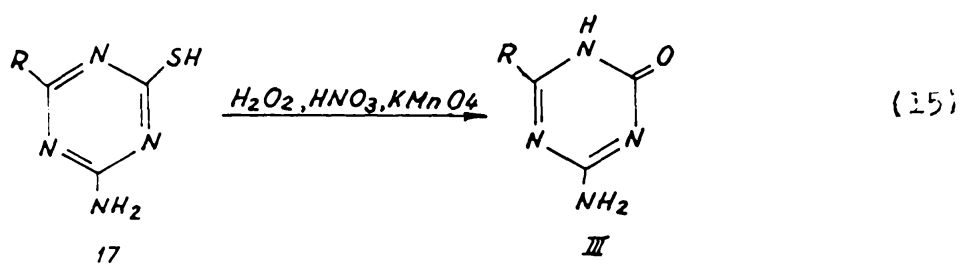


Monometoxilarea 2,4,6-triclor-1,3,5-triazinei 11, are loc în condițiile descrise de P. Adams și colaboratori.<sup>62</sup> Amonoliza selectivă a 2,4-diclor-6-metoxi-1,3,5-triazinei 12, se efectuează la temperatură mai ridicată, în soluție metanolică ducind la formarea 2-amino-4-clor-6-metoxi-1,3,5-triazinei 13.<sup>63</sup> Înlocuirea cu hidrogen a atomului de clor restant, se face fie direct prin hidrogenare catalitică, fie prin intermediul unui produs de substituție, a acelaiași atom de clor cu grupa SH, care se obține cu randament de 82%, la tratarea compusului 13, cu hidrosulfură de sodiu. Urmează desulfurarea reductivă cu Ni Raney a 2-amino-4-mercemento-6-metoxi-1,3,5-triazinei 14, care constituie o bună alternativă. 2-Amino-4-metoxi-1,3,5-triazina 15 a fost transformată în 2-amino-6-oxo-1H-1,3,5-triazina 1, prin tratarea cu acid clorhidric concentrat. Randament global : 45%.

2.1.2.2.3.- 2-Metil-4,6-bistriclorometil-1,3,5-triazina 16, prin tratare cu amoniac la temperatură ridicată, duce cantitativ la formoguanidă 1, /schema globală (14)/ : <sup>64</sup>



2.1.2.2.4.- După cum a arătat A. Ostrogovich <sup>65,66</sup> 2-amino-4-alchil(aril)-6-mercaptopo-1,3,5-triazinele 17, duc pe cale oxidativă la guanidele corespunzătoare III, (15) :

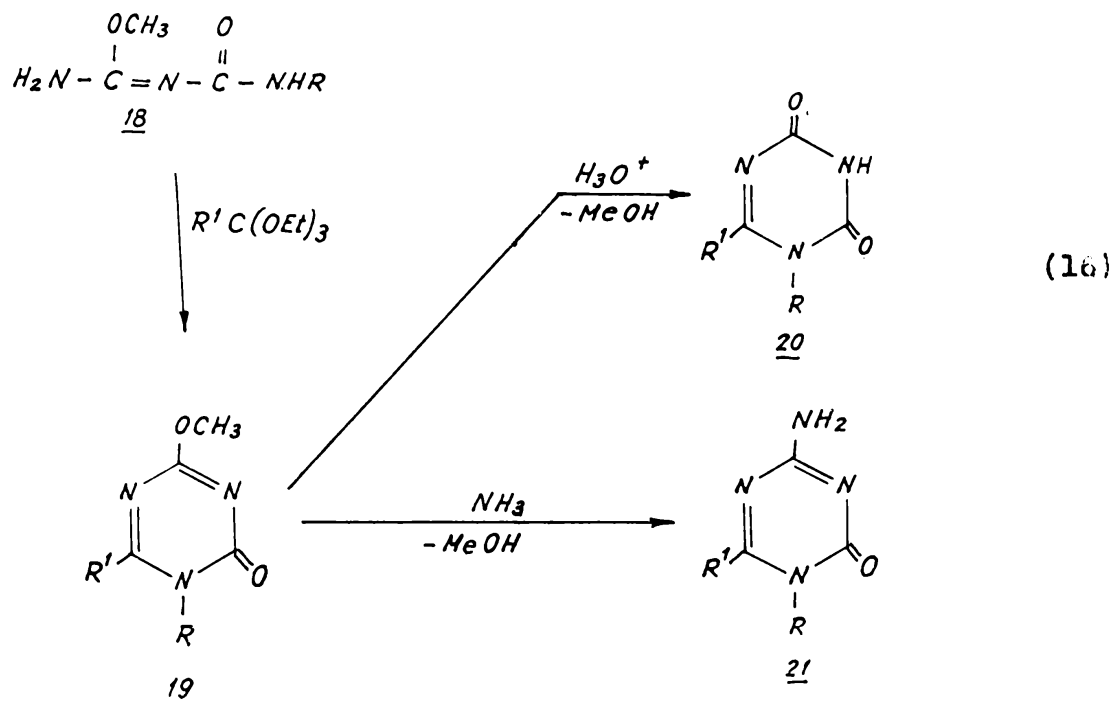


Oxidarea are loc cel mai avantajos în soluție apăsă de hidroxid de potasiu cu apă oxigenată. Prin acest procedeu au fost preparați mai mulți omologii ai formoguanidei cu randamente foarte bune.

#### 2.1.2.2.5.- Reacția metilizobiureților cu ortoesterii acizilor alifatici

Prin refluxarea metilizobiureților 18, cu ortoesterii acizilor alifatici, se formează cu randamente bune 2-R<sup>1</sup>-4-metoxi-6-oxo-1H(R)-1,3,5-triazinele corespunzătoare 19.

Prin hidroliza grupei  $-OCH_3$  a acestora, se obțin  $4-R^1-$   
 $-2,6\text{-dioxo-}1\text{H},3\text{H(R)-}1,3,5\text{-triazinele}$  (5-azauracilii substi-  
 tuiți) 20, iar prin tratarea lor cu soluție de amoniac în  
 metanol  $2\text{-amino-}4-R^1\text{-}6\text{-oxo-}1\text{H(R)-}1,3,5\text{-triazinele}$  21,  
 conform schemei (16) : <sup>67</sup>

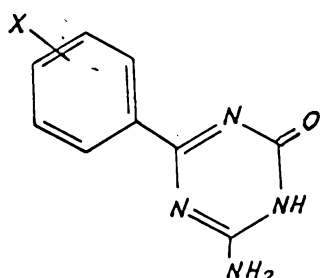


Reacția metilizobiuretului cu ortoformiatul, duce astfel nu numai la atacul așteptat asupra atomului de azot mai bazic, ci duce, de asemenea, simultan la o închidere a nucleului triazinic.

Acest procedeu a fost extins la prepararea 5-aza-citosin-1-glicozil derivaților. <sup>33,68</sup>

In tabela 2 sunt cuprinse benzoguanidele și caracterizarea lor, cunoscute în literatură.

T a b e l a 2

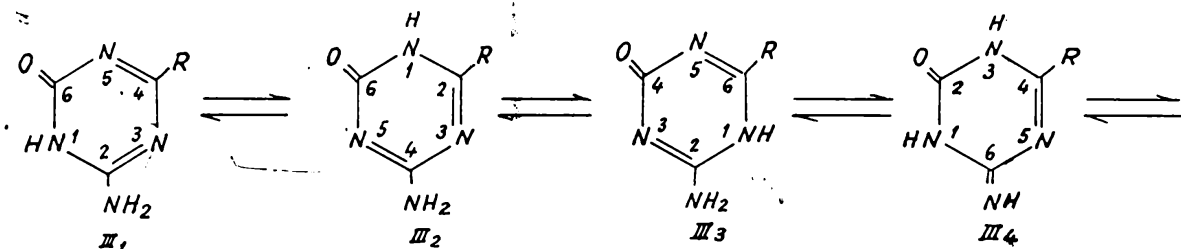


2-Amino-4-aryl-6-oxo-1H-  
-1,3,5-triazine. (III A<sub>n</sub>)

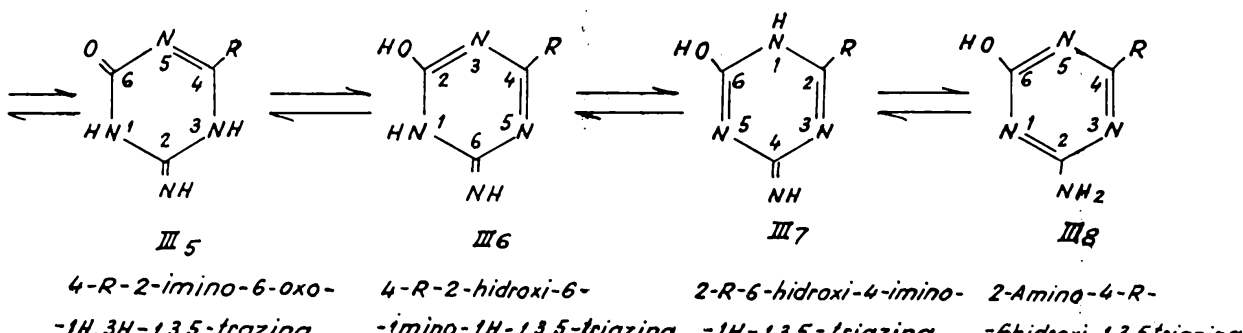
n	X	P.t. °C	Ref.	Sare sau derivat	P.t. °C	Ref.
1.	H	334-5	43	Clorhidrat	295-296	
			69	Picrat	296-297	69
2.	o-CH <sub>3</sub>	292-3	69	Picrat	255-256	69
3.	m-CH <sub>3</sub>	217-9	69	Picrat	297-298	69
4.	p-CH <sub>3</sub>	333-4	69	Clorhidrat	94-6(desc)	
			52	Picrat	304-5(desc)	69
5.	p-OCH <sub>3</sub>	327-8	69	Clorhidrat	290-192	
				Picrat	308-9	69
6.	p-Cl	-	52			
7.	p-NO <sub>2</sub>	300	42			
8.	p-NH <sub>2</sub>	320-5	42			
9.	o-COOH	295	42			
10.	m-OH	235-240	42			
11.	p-OH	326	42			

2.1.3.- Structură. Mezomerie și tautomerie

Pentru guanide sănt posibile următoarele structuri  
tautomere :



2.Amino-4-R-6-oxo-  
-1H-1,3,5-triazina      4.Amino-2-R-6-  
-oxo-1H-1,3,5-triazina      2-Amino-6-R-4-oxo-  
-1H-1,3,5-triazina      4-R-6-imino-2-oxo-  
-1H,3H-1,3,5-triazina



4-R-2-imino-6-oxo-  
-1H,3H-1,3,5-triazina      4-R-2-hidroxi-6-  
-imino-1H-1,3,5-triazina      2-R-6-hidroxi-4-imino-  
-1H-1,3,5-triazina      2-Amino-4-R-  
-6hidroxi-1,3,5triazina

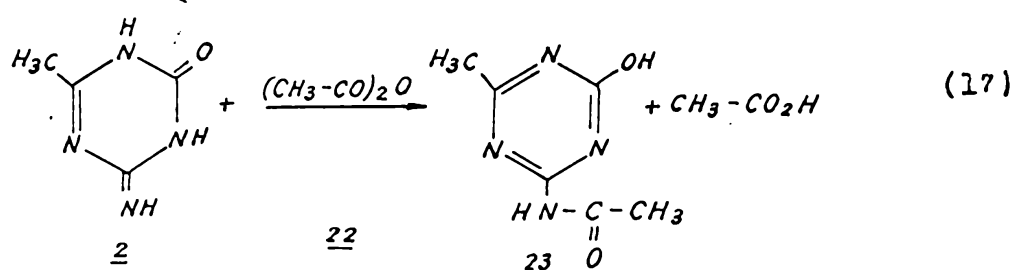
Dintre acești tautomeri posibili A. Ostrogovich <sup>70</sup>

a sprijinit structura oxo-imino ca cea mai reprezentativă pentru reacțiile și proprietățile acetoguanidei, în perspectiva vremii sale. Astfel, acest compus nu dă testul cu clorura ferică și nu formează cu NH<sub>3</sub> uscat o sare de amoniu stabilă. De asemenea, derivatul benzoilic nu a fost obținut prin procedeul Schotten-Bauman cu clorura de benzoil, iar această triazină nu reacționează cu benzensulfoclorura.

Toate aceste fapte au fost interpretate în sensul excluderii structurilor cu grupă hidroxi (lactimică).

Cînd acetoguanida 1 a fost acetilată cu anhidridă acetică 22, monoacetil-derivatul 23 rezultat a arătat o creștere în proprietățile acide față de compusul inițial

și s-a crezut că are o structură enolică (17) :



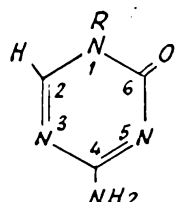
Recent însă, Martin și colaboratorii <sup>61</sup>, printr-un studiu spectroscopic în infraroșu, au ajuns la concluzia că 5-azacitosina (formoguanida sau 4-amino-6-oxo-1H-1,3,5-triazine), atât în soluție cît și în stare solidă, asumă structura tautomeră III<sub>2</sub> (R = H). Spectrul infraroșu executat în pastilă de bromură de potasiu, prezintă o bandă intensă de absorbție, situată la 1715 cm<sup>-1</sup>. Aceasta este cuprinsă în domeniul de absorbție C=O a 2,4-dioxo-1H,3H-1,3,5-triazinei, <sup>71,72</sup> precum și a 2,4-dioxo-1H,3H-1,3,5-triazinei <sup>73</sup> (1690 la 1750 cm<sup>-1</sup> în dioxan). Spectrele în infraroșu în cloroform ai unor derivați ai 4-amino-6-oxo-1H-1,3,5-triazinei, substituți în poziția 1, prezintă benzi de absorbție la 3544 cm<sup>-1</sup>, în regiunea cuprinsă între 3150 și 3550 cm<sup>-1</sup>, care indică prezența grupei amino. <sup>74</sup>

La aceeași concluzie s-a ajuns și în cazul altor derivați de tip guanidinic (amino-oxo-1,3,5-triazinic). <sup>57</sup>

Tabela 3 cuprinde maximele de absorbție din spectrele în ultra-violet a derivațiilor 5-aza-citosinei 1 substituți (1 A) și a derivatului 1,3-dimetilat (III<sub>4</sub>, R = H), măsurate în 0,15 mol.l<sup>-1</sup>, la diferite valori de pH folosind soluție tampon de borat la 37°C, <sup>74</sup>:

T a b e l a 3

Maximele de absorbție ale derivaților 5-aza-citosinei substituți în poziția 1



Compound	pH	max. nm
l Ab , R = CH <sub>3</sub>	1 - 2	257
	4 - 12	245
l Ac , R = -D-ribofuranosil	1,	257
	2	251
	3 - 8	244
l Ad , R = 2-desoxi- -D-ribofuranosil	1	256
	2	253
	3 - 8	245
l Ae , R = -D-ribofuranosil	6,6	244
l Af , R = -D-ribofuranosil	6,6	243 *
1-Metil-4',4'-dimetil-5-aza-citosina	6,6	261
1,3-Dimetil-5-azacitosina (III , R = H)	6,6	255
		260 **

\* Umăr , \*\* în etanol

Rezultatele studiului spectroscopic în ultraviolet sint în concordanță cu rezultatele măsurătorilor spectrale în infraroșu.

In conformitate cu calculele de orbitali moleculari

prin metoda Hückel<sup>74</sup>, 4-amino-6-oxo-1H-1,3,5-triazina forma tautomeră III<sub>2</sub>, (R = H) este mai stabilă decât forma imino III<sub>4</sub>, ceea ce este în concordanță cu rezultatele spectroscopice.

Pullman și Pullman<sup>75-79</sup>, au aplicat metoda Hückel în cercetarea comportării biochimice a 5-azacitosinei și derivaților ei. Din aceste calcule rezultă că formarea perechii 5-azacitosină-guanină, este mai puțin favorizată decât în cazul perechilor naturale (exemplu citosină-guanină) și că proprietățile mutagenice nu sunt cauzate de tautomeria amino-imino.

Pithova și colaboratorii<sup>80</sup>, tot prin calcule Hückel au ajuns la concluzia că cea mai remarcabilă diferență dintre citosină și 5-azacitosină constă în caracterul poziției 6, important pentru reactivitatea heterociclică față de agentii nucleofili.

#### 2.1.4.- Proprietăți fizice

In general, guanidele sunt substanțe solide cristalizate, care nu prezintă puncte de topire definite, întrucât se descompun la temperaturi ridicate (în jur de 300°C formând acetoguanida, respectiv pe la 270°, ceilalți reprezentanți). Acești compuși în mod obișnuit se solvă numai foarte puțin în apă fierbinte, spre deosebire de cei corespunzători 2,4-diamino- și 2,4-dioxo-(guanaminele și guanamidele). Este vorba despre o comportare similară cu a "bazelor" cianurice

intermediare amelina și amelida, considerate comparativ cu acidul cianuric și melanina (respectiv 2,4,6-trioxo-1H, 3H, 5H-1,3,5-triazina și 2,4,6-triamino-triazina).

După cum s-a arătat de către G. Ostrogovich și R. Bacaloglu<sup>81</sup> în cazul acidului și al "bazelor" cianurice fenomenul se datorează posibilităților suplimentare de contractare a unor legături de hidrogen asociative, care determină o asociație moleculară mult mai puternică decât în cazul compușilor simetrici.

#### 2.1.5.- Proprietățile chimice ale guanidelor

2-Amino-4-metil-6-oxo-1H-1,3,5-triazina (aceto-guanida), 2, este compusul cel mai studiat din această clasă. O descriere completă a proprietăților și reacțiilor chimice ale acestuia, va indica și totodată și ceea ce se poate aștepta în această privință de la omonologii săi.

##### 2.1.5.1.- Caracterul amfoter

Guanidele au caracter amfoter, încit, sunt ușor solubile în acizii anorganici tari și în baze cu formare de săruri. Astfel au fost preparate, sărurile de sodiu, potasiu și argint, precum și clorhidratul și sulfatul neutru a acetoguanidei. Formează de asemenea, picrați care se pretează cel mai bine dintre toți derivați la identificarea compusului de bază.<sup>47</sup>

Hirt și colaboratori,<sup>82</sup> au determinat spectro-potometric constantele de ionizare a acetoguanidei și

benzoguanidei (printre ale unei serii de alți compuși s-triazinici) :

Acetoguanida :  $pK_a = 9,2$  ;  $pK_b = 10,9$

Benzoguanida :  $pK_a = 8,1$  ;  $pK_b = 11,0$

#### 2.1.5.2.- Reacții de acilare

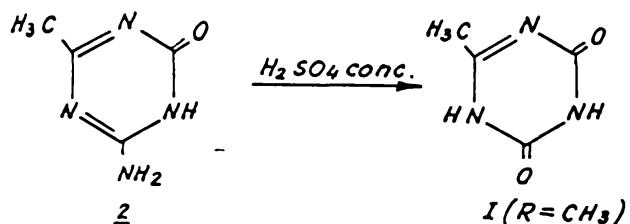
Acetoguanida formează un monoacetil derivat,<sup>3</sup> conform reacției (17), și un monobenzoil derivat.<sup>83</sup>

Prin benzoilarea benzoguanidei se obține cu ușurință un monobenzoil derivat.<sup>70</sup> Încercările de a obține un dibenzoil au rămas infructuoase.<sup>83</sup>

#### 2.1.5.3.- Hidroliza acetoguanidei

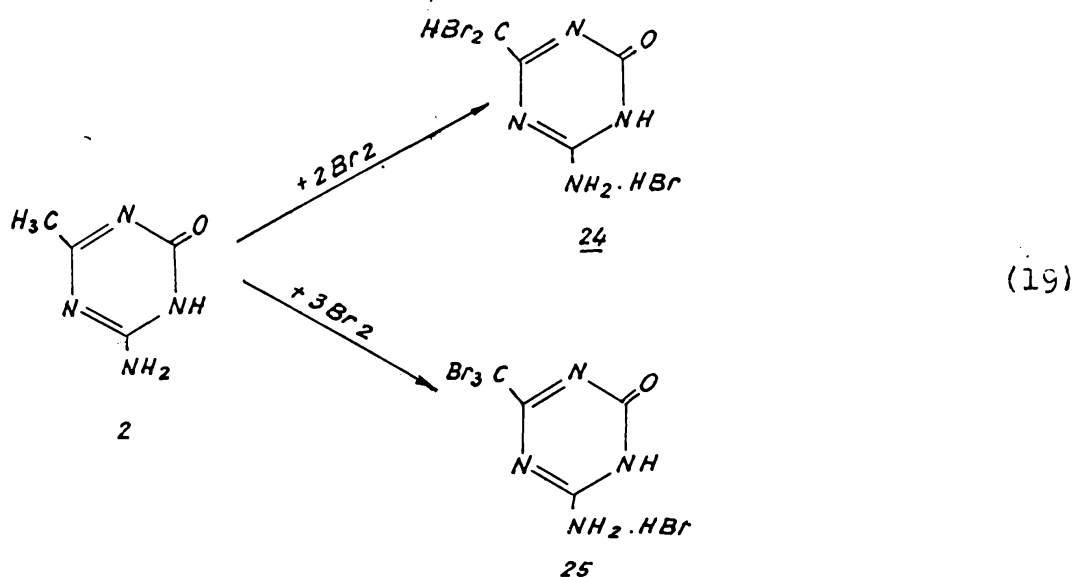
Prin hidroliza acetoguanidei 2, cu acid sulfuric concentrat, se obține 4-metil-2,6-dioxo,1H,3H-1,3,5-triazina,<sup>51</sup> I ( $R = CH_3$ ), reacția (18) :

(18)



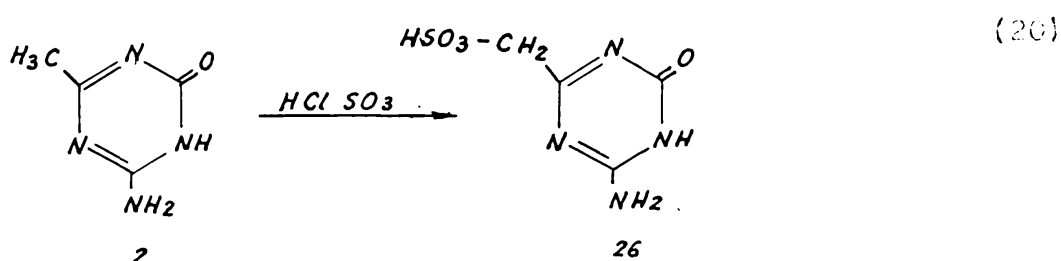
#### 2.1.5.4.- Reacția de bromurare

Bromurarea acetoguanidei 2, are loc cu formarea dibromo- și tribromo-derivaților și sub formă de bromhidrați,<sup>70</sup> (19) :



#### 2.1.5.5.- Reactia acetoguanidei cu acidul clor-sulfonic

Reacția dintre acetoguanidă și acidul clorsulfonic duce la formarea derivatului sulfonic la grupa metilică 26 (acidul 2-amino-6-oxo-1H-1,3,5-triazinil-4-metan-sulfonic)<sup>51</sup> reacția (20) :

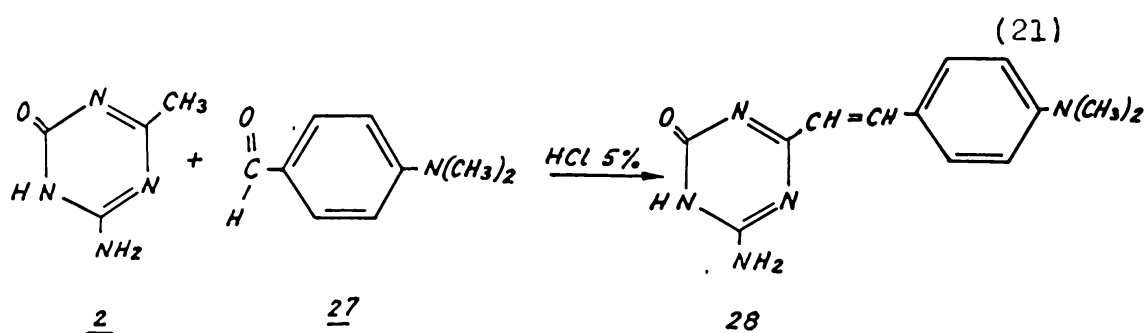


#### 2.1.5.6- Reactia de condensare a acetoguanidei cu aldehidele

Reactivitatea grupării metil grefată pe inelul 1,3,5-triazinic a fost studiată prin folosirea în acest scop a dioxo-, amino-oxo-, diamino- și dimetoxi-metil-1,3,5-triazinelor, pe de o parte și a benzaldehidei, orto, meta, p-nitro-benzaldehidei și p-dimetilamino-benzaldehidei, pe de altă parte.<sup>84</sup>

Reacția dintre acetoguanidă și orto-, meta- sau p-nitro-benzaldehidă, decurge anevoiește, iar produșii formați sunt foarte dificil de purificat. În schimb, reacția p-dimetil-amino-benzaldehydei decurge cu toate metil-1,3,5-triazinele luate în studiu foarte ușor, astfel că prin această reacție nu s-a putut atinge scopul inițial propus de stabilire a gradului de reactivitate a grupării metil din 1,3,5-triazinele diferit substituite.

Redăm, pentru exemplificare, reacția dintre acetoguanidă 2, și p-dimetilamino-benzaldehidă 27, cu formarea a 2-amino-4(p-dimetilamino-β-stiril)-6-oxo-1H-1,3,5-triazinei, 28, (21) :



### 2.2.- 1'-Aril-alkiliden-1,5-guanil-uree :

istoric, nomenclatură, preparare, structură,  
tautomerie, proprietăți fizice și proprietăți  
chimice

#### 2.2.1.- Istoric și nomenclatură

In 1909, A. Ostrogovich,<sup>3</sup> a obținut pentru prima dată, conform reacției (22) benziliden-1,5-guanil-ureea, ca cel

mai simplu reprezentant al clasei 1'-aril-alchiliden-guanil-ureelor corespunzătoare formulei generale IV A ( $X = H$ ) .

Ulterior, același autor în colaborare cu V. Bena Medean<sup>4</sup> a extins cu succes sinteza, la cazurile celor trei nitro și al p-dimetilamino-benzaldehydei.

Denumirile mai uzuale ale acestor compuși sunt cuprinse în tabela 4. În prezența lucrare vom folosi de preferință denumirea genetică mai simplă și alături de ea, cînd va apărea oportun, cea prescrisă de IUPAC,<sup>37</sup>

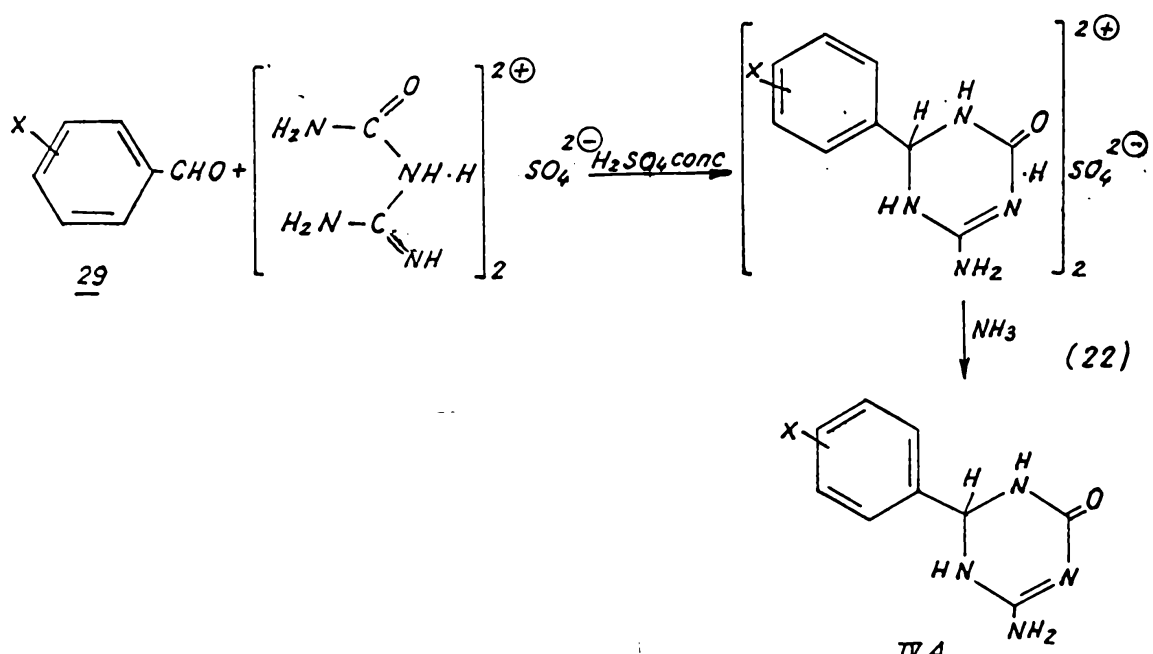
T a b e l a 4

Nomenclatura 1'-aril-alchiliden-guanil-ureelor .

Formula	Denumire genetică	Denumiri normale	
		Franceză	IUPAC
	Benziliden- -1,5-guanil- -ureea	Amino-4- phanyl-2- tétrahydro- 1,2,3,6- triazine- 1,3,5-one-6.	4-Amino-2- fenil-6-oxo- 1H,3H-1,3,5- triazina .

#### 2.2.2.- Metode de sinteză

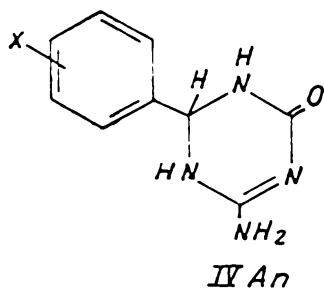
Pentru acești compuși nu se cunoaște decît o singură metodă de sinteză, anume aceea care are la bază reacția guanil-ureei cu aldehydele arilice, la temperatură camerei în mediu de acid sulfuric concentrat,<sup>3</sup> (22) :



Aldehida 29, se folosește într-un mic exces față de guanil-uree. Reacția durează 2 - 3 zile.

Așa după cum rezultă din reacția (22), inițial se formează sulfatul neutru al 1'-arilelchiliden-guanil-ureei, care prin neutralizare cu amoniac trece sub forma bazei libere.

Toți compușii de acest tip cunoscuți pînă acum în literatură<sup>3,4</sup>, sunt cuprinsi în tabela 5 :



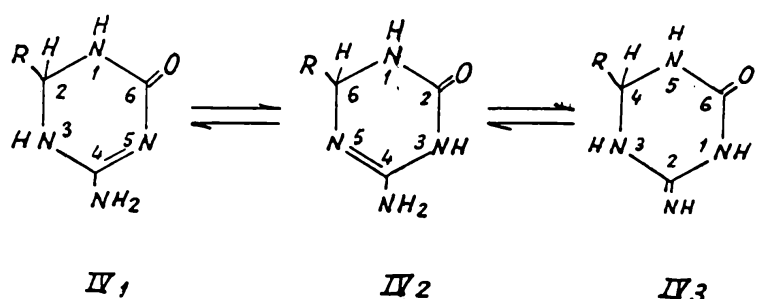
T a b e l a . 5

**4-Amino-2-aryl-6-oxo-1H,3H-  
-1,3,5-triazine .**

n	X	P.t. °C	Clorhidrați P.t. °C	Picrați P.t. °C	Ref.
1.	H	183-4	-	211-12	3
2.	o-NO <sub>2</sub>	208-9	235-6	213-15	4
3.	m-NO <sub>2</sub>	222	268	210-11	4
4.	p-NO <sub>2</sub>	180	250	212-13	4
5.	p-NMe <sub>2</sub>	220-221	212	220	4

### 2.2.3.- Tautomerie

Pentru l'-aril-alchiliden-guanil-uree sînt de luat în considerație pe baza datelor cunoscute cu privire la constituția compușilor de tip carbonamidic, doar următoarele trei forme tautomere :



A. Ostrogovich<sup>3,4</sup>, bazat pe unele reacții chimice a presupus că forma tautomeră oxo-iminică este predominantă.

Pînă în prezent însă, nu se cunosc studii de precizare a structurii tautomere a l'-aril-alchiliden-guanil-ureelor.

### 2.2.4.- Proprietăți fizice

l'-Aril-alchiliden-guanil-ureele, la fel ca și guanidele, sînt în general substanțe solide cristalizate care

se topesc la temperaturi relativ ridicate. Acești compuși se solvă numai în cantități foarte mici în apă fierbinte sau în solventii organici.

o- și p-Nitro, precum și p-dimetilaminobenziliden-1,5-guanil-ureea, se colorează intens la lumina solară : o-nitro- în roșu brun, p-nitro- în portocaliu aprins și p-dimetilaminobenziliden-1,5-guanil-ureea în galben ocru. m-Nitro-benziliden-1,5-guanil-ureea este aproape insensibilă la lumina solară.

p-Dimetilaminobenziliden-1,5-guanil-ureea, conține o moleculă de apă de cristalizare, care se elimină numai la  $140^{\circ}\text{C}$  în vid uscat și se resorbă cantitativ la aer.

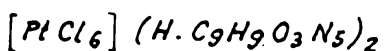
Toți acești compuși obținuți prin reacția guanil-ureei cu aldehidele aromatice având un atom de carbon asimetric, sunt racemici.

#### 2.2.5.- Proprietăți chimice

Toți compușii au caracter bazic.

Benziliden-1,5-guanil-ureea precum și o-, m- și p-nitrobenziliden-1,5-guanil-ureele, formează săruri cu un echivalent de acid. Numai cu acidul picric formează dipicrați care pot fi ușor hidrolizați transformîndu-se în monopicrații corespunzători.

Interesant este faptul <sup>6</sup> că atât o-nitro-, cât și p-nitro-benziliden-1,5-guanil-ureea formează pe lîngă un hexacloroplatinat portocaliu 30, și cîte un octocloroplatinat 31.



30

31

Soluția apoasă a octocloroplatinatului de o-nitrobenziliden-1,5-guanil-urce nu prezintă reacție pentru  $Cl^-$  nici la cald, pe cînd cel al izomerului p-nitro- este stabil doar la rece, reacția devenind pozitivă în soluție fierbinte. Conductibilitatea molară a soluțiilor, relevă formarea a 5 ioni în loc de 3, ca în cazul hexacloroplatinaților respectivi.

Formarea octo-cloroplatinaților necesită în ambele cazuri, concentrații sporite de HCl în mediul de reacție.

m-Nitro-benziliden-1,5-guanil-ureea nu formează decît hexacloroplatinatul normal.

p-Dimetilaminobenziliden-1,5-guanil-ureea în soluție apoasă fierbinte, dă o reacție net alcalină. Această bază formează săruri cu acizii anorganici și organici ca acidul formic și acetic, care sunt perfect stabile în contact cu apa rece sau căldă.

Tot de la această bază se pot obține o seamă de picrați (semi-, mono-, di- și tripicrat) și de picro-clorhidrați.<sup>4,5</sup>

### 3.- C O N T R I B U T I I O R I G I N A L E

3.1.- Studii în domeniul 1'-aril-alchiliden-guanil-ureelor substituite la nucleul arilic (4-amino-2-aryl-6-oxo-1H,3H-1,3,5-triazinelor) (IV A)

3.1.1.- Sinteza unor benziliden-1,5-guanil-uree mono- și disubstituite la nucleul fenilic, prin reacția guanil-ureei cu benzaldehidele corespunzătoare <sup>85</sup>

S-au sintetizat, conform reacției (22), noi reprezentanți ai clasei benziliden-1,5-guanil-ureelor (4-amino-2-aryl-6-oxo-1H,3H-1,3,5-triazinei), IV A, corespunzând cîtorva aldehyde benzoice variat substituite în nucleu.

Pe lîngă benzaldehidele mono-substituite  $X-C_6H_4-CHO$  au fost folosite și trei diclorbenzaldehyde  $Cl_2-C_6H_3-CHO$  izomere de poziție (2,4-, 2,6- și 3,4-).

Sulfatul de guanil-uree preparat prin metoda descrisă în literatură,<sup>86</sup> se introduce în acid sulfuric concentrat, iar după dizolvare completă se adaugă aldehyda arilică. Am folosit cu rezultate bune raportul mol:mol între reactanți, spre deosebire de indicațiile din literatură,<sup>3</sup> conform cărora aldehyda arilică trebuia luată în mic exces față de

guanil-uree. Amestecul de reacție se păstrează într-un vas închis, la temperatura camerei. Reacția are loc în maximum două zile, aşa după cum a rezultat din analiza efectuată conform 3.1.2. Prin turnarea soluției sulfurice în apă rece, precipită o substanță de culoare alb-murdar. După filtrare aceasta se spală cu puțină apă rece. În literatură,<sup>3</sup> se prevede agitarea cu eter etilic pentru îndepărțarea aldehidei. Această fază este eliminată în cazul nostru deoarece, nu folosim aldehidă în exces. Prin recristalizare din apă fierbinte cu adaus de cărbune activ se obțin în stare pură benziliden-1,5-guanilureele sub formă de sulfati, aproape insolubili în apă rece.

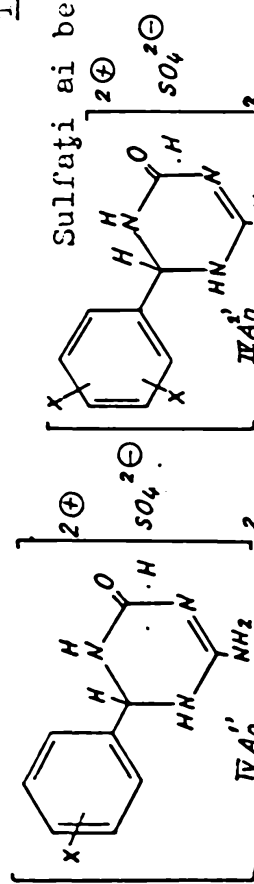
Încercările de a obține bazele libere în stare pură prin neutralizarea acestor soluții de sulfati, au rămas fără rezultat. Bazele libere se pot obține numai din soluții rezultate prin dizolvarea sulfatilor puri corespunzători în apă fierbinte și tratarea acestora cu amoniac pentru neutralizare, eventual se face încă o recristalizare (vezi tabela 7).

Toți compușii obținuți pe această cale, sunt caracterizați sub formă de sulfati, tabela 6, și sub formă de baze libere, tabela 7.

Compușii sub formă de sulfati se topesc în jur de 250°C cu descompunere.

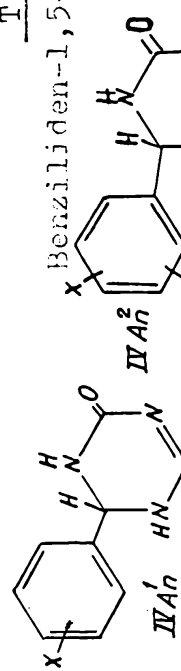
Tabel 6

Com- pound	<i>K</i>	Formula moleculară	Gr. mol.	Găsit / calculat		Rend- ment %	P.E. O <sub>C</sub>
				SO <sub>4</sub> <sup>2-</sup>	%		
IV A <sub>n</sub> <sup>1</sup> 7	0-Me	(C <sub>10</sub> H <sub>12</sub> N <sub>4</sub> OH) <sub>2</sub> <sup>2+</sup> SO <sub>4</sub> <sup>2-</sup>	506	18,7/18,97	22,3/22,13	40	252-3
" 7	m-Me	(C <sub>10</sub> H <sub>12</sub> N <sub>4</sub> OH) <sub>2</sub> <sup>2+</sup> SO <sub>4</sub> <sup>2-</sup>	506	18,8/18,97	22,4/22,13	55	257
" 8	p-Me	(C <sub>10</sub> H <sub>12</sub> N <sub>4</sub> OH) <sub>2</sub> <sup>2+</sup> SO <sub>4</sub> <sup>2-</sup>	506	19,2/18,97	22,2/22,12	70	249
" 9	o-Cl	(C <sub>9</sub> H <sub>9</sub> ClN <sub>4</sub> OH) <sub>2</sub> <sup>2+</sup> SO <sub>4</sub> <sup>2-</sup>	547	17,3/17,5	20,4/20,5	87	248-9
" 10	m-Cl	(C <sub>9</sub> H <sub>9</sub> ClN <sub>4</sub> OH) <sub>2</sub> <sup>2+</sup> SO <sub>4</sub> <sup>2-</sup>	547	17,3/17,5	20,6/20,5	75	259-60
" 11	p-Cl	(C <sub>9</sub> H <sub>9</sub> ClN <sub>4</sub> OH) <sub>2</sub> <sup>2+</sup> SO <sub>4</sub> <sup>2-</sup>	547	17,2/17,5	20,3/20,5	72	246-7
" 12	o-Br	(C <sub>9</sub> H <sub>9</sub> BrN <sub>4</sub> OH) <sub>2</sub> <sup>2+</sup> SO <sub>4</sub> <sup>2-</sup>	635,8	14,9/15,09	17,4/17,61	70	246
" 13	m-Br	(C <sub>9</sub> H <sub>9</sub> BrN <sub>4</sub> OH) <sub>2</sub> <sup>2+</sup> SO <sub>4</sub> <sup>2-</sup>	635,8	15,0/15,09	17,4/17,61	74	262
" 14	o-F	(C <sub>9</sub> H <sub>9</sub> FN <sub>4</sub> OH) <sub>2</sub> <sup>2+</sup> SO <sub>4</sub> <sup>2-</sup>	514	18,4/18,66	21,3/21,73	70	256
" 15	m-F	(C <sub>9</sub> H <sub>9</sub> FN <sub>4</sub> OH) <sub>2</sub> <sup>2+</sup> SO <sub>4</sub> <sup>2-</sup>	514	18,3/18,66	21,2/21,73	75	265
" 16	p-F	(C <sub>9</sub> H <sub>9</sub> FN <sub>4</sub> OH) <sub>2</sub> <sup>2+</sup> SO <sub>4</sub> <sup>2-</sup>	514	18,5/18,66	21,3/21,73	85	261
IV A <sub>n</sub> <sup>2</sup> 17	2,4-Cl <sub>2</sub>	(C <sub>9</sub> H <sub>8</sub> Cl <sub>2</sub> N <sub>4</sub> OH) <sub>2</sub> <sup>2+</sup> SO <sub>4</sub> <sup>2-</sup>	614	15,3/15,62	18,2/18,18	88	258
" 18	2,6-Cl <sub>2</sub>	(C <sub>9</sub> H <sub>8</sub> Cl <sub>2</sub> N <sub>4</sub> OH) <sub>2</sub> <sup>2+</sup> SO <sub>4</sub> <sup>2-</sup>	614	15,4/15,52	17,9/18,18	77	253
" 19	3,4-Cl <sub>2</sub>	(C <sub>9</sub> H <sub>8</sub> Cl <sub>2</sub> N <sub>4</sub> OH) <sub>2</sub> <sup>2+</sup> SO <sub>4</sub> <sup>2-</sup>					



Sulfatii ai benziliden-1,5-guanil-ureelor

T a b c l a 7

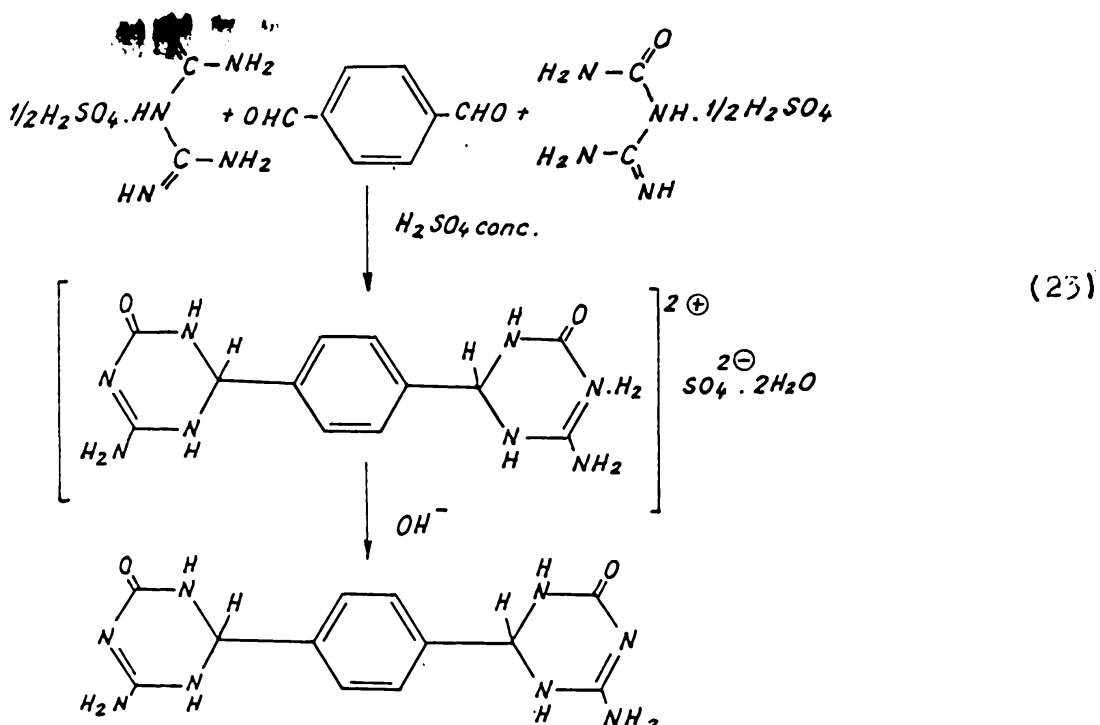


Benzildien-1,5-guanil-uree substituite  
Corpusul X Formula moleculară  $\text{NH}_2\text{C}_6\text{H}_4\text{C}(=\text{O})\text{NHCO}_2\text{NH}_2$  gr.mol. N %  $\text{H}_2\text{O}$ (alcool) P.t. Solvent de  
Găsit/calcuлат моли  $\text{O}_G$  recrystallizare

$\eta$	$\lambda_{\text{n}}$	X	Corpusul X Formula moleculară $\text{NH}_2\text{C}_6\text{H}_4\text{C}(=\text{O})\text{NHCO}_2\text{NH}_2$ gr.mol.	N %	$\text{H}_2\text{O}$ (alcool) P.t. Solvent de Găsit/calcuлат моли $\text{O}_G$ recrystallizare	$\eta$	$\lambda_{\text{n}}$	Corpusul X Formula moleculară $\text{NH}_2\text{C}_6\text{H}_4\text{C}(=\text{O})\text{NHCO}_2\text{NH}_2$ gr.mol.	N %	$\text{H}_2\text{O}$ (alcool) P.t. Solvent de Găsit/calcuлат моли $\text{O}_G$ recrystallizare
6	o-Me	$\text{C}_1\text{C}_6\text{H}_4\text{N}_4\text{O}$	204	27,3/27,45	-	204	27,2/27,45	$\text{C}_1\text{C}_6\text{H}_4\text{N}_4\text{O}$	189-90	Apă
"	m-Me	$\text{C}_1\text{C}_6\text{H}_4\text{N}_4\text{O}$	204	27,4/27,45	-	204	27,4/27,45	$\text{C}_1\text{C}_6\text{H}_4\text{N}_4\text{O}$	205-6	Alcool etilic
"	p-Me	$\text{C}_1\text{C}_6\text{H}_4\text{N}_4\text{O}$	204	27,4/27,45	-	270,5	20,9/20,7	$\text{C}_9\text{H}_9\text{ClN}_4\text{O} \cdot \text{C}_2\text{H}_5\text{OH}$	212-3	Alcool etilic
"	o-Cl	$\text{C}_9\text{H}_9\text{ClN}_4\text{O} \cdot \text{C}_2\text{H}_5\text{OH}$	270,5	20,9/20,7	0,96/1.	270,5	21,0/20,7	$\text{C}_9\text{H}_9\text{ClN}_4\text{O} \cdot \text{C}_2\text{H}_5\text{OH}$	154-5	Alcool etilic
"	m-Cl	$\text{C}_9\text{H}_9\text{ClN}_4\text{O} \cdot \text{C}_2\text{H}_5\text{OH}$	270,5	21,0/20,7	0,99/1	270,5	21,1/20,7	$\text{C}_9\text{H}_9\text{ClN}_4\text{O} \cdot \text{C}_2\text{H}_5\text{OH}$	200-1	Alcool etilic
"	p-Cl	$\text{C}_9\text{H}_9\text{ClN}_4\text{O} \cdot \text{C}_2\text{H}_5\text{OH}$	270,5	21,1/20,7	0,98/1	268,9	20,6/20,82	$\text{C}_9\text{H}_9\text{ClN}_4\text{O}$	229-30	Apă
"	o-Br	$\text{C}_9\text{H}_9\text{BrN}_4\text{O}$	268,9	20,5/20,82	-	268,9	20,5/20,82	$\text{C}_9\text{H}_9\text{BrN}_4\text{O}$	176-8	Apă
"	m-Br	$\text{C}_9\text{H}_9\text{BrN}_4\text{O} \cdot \text{H}_2\text{O}$	226	24,6/24,78	0,98/1	226	24,6/24,78	$\text{C}_9\text{H}_9\text{BrN}_4\text{O}$	149-50	Apă
"	o-F	$\text{C}_9\text{H}_9\text{FN}_4\text{O}$	208	26,6/26,92	-	208	26,6/26,92	$\text{C}_9\text{H}_9\text{FN}_4\text{O}$	147-8	Apă
"	m-F	$\text{C}_9\text{H}_9\text{FN}_4\text{O}$	208	26,7/26,92	-	208	26,7/26,92	$\text{C}_9\text{H}_9\text{FN}_4\text{O}$	148-9	Apă
"	p-F	$\text{C}_9\text{H}_9\text{FN}_4\text{O}$	277	26,3/26,21	0,96/1	277	26,3/26,21	$\text{C}_9\text{H}_9\text{FN}_4\text{O}$	162-3	Apă
17	$\text{C}_6\text{H}_4\text{Cl}_2$	$\text{C}_9\text{H}_8\text{Cl}_2\text{N}_4 \cdot \text{H}_2\text{O}$	259	21,2/21,62	-	259	21,2/21,62	$\text{C}_9\text{H}_8\text{Cl}_2\text{N}_4 \cdot \text{H}_2\text{O}$	155-7	Apă
"	$\text{C}_6\text{H}_4\text{Cl}_2$	$\text{C}_9\text{H}_8\text{Cl}_2\text{N}_4 \cdot \text{H}_2\text{O}$	259	21,4/21,62	-	259	21,4/21,62	$\text{C}_9\text{H}_8\text{Cl}_2\text{N}_4 \cdot \text{H}_2\text{O}$	173-4	Apă

Toți acești compuși sunt foarte puțin solubili în apă fierbinte și în solventii organici. Unele dintre baze au proprietatea de a recristaliza din mediu apos sub formă de monohidrați (tabela 7).

In această reacție am folosit și unele dialdehide, anume tereftalaldehyda și izoftalaldehyda. Tereftalaldehyda luată în raport molar 1:2 față de guanil-uree, reacționează cu ambele grupări carbonilice, conform schemei (23). Izoftalaldehyda sub același raport molar față de guanil-uree, reacționează în mod identic.



Compușii obținuți, caracterizați ca sulfati și ca baze libere, sunt cuprinși în tabela 8. Compusul ~~A<sub>20</sub>~~ recristalizează din mediu apos ca monohidrat, iar ~~A<sub>21</sub>~~ ca dihidrat.

Incercarea de a obține 4-amino-2(4'-formil-fenil)-6-oxo-1H,3H-1,3,5-triazina prin reacția dintre tereftalaldehyda și guanil-uree în raport molar 1:1, precum și a compusului

Tabelo 8

Compound	Formula	Gr.	P.t.	Găsit/calculeat	Rende-	Solvent
		nol.	O <sub>3</sub>	SO <sub>4</sub> <sup>2-</sup> %	N %	H <sub>2</sub> O
<b>IV A<sub>n</sub>' n</b>		20	418	*)	22,7/22,96 26,9/26,79 103/1:	85 H <sub>2</sub> O
-"		21	-	21,8/22,02 25,5/25,7	1,97/2 90	H <sub>2</sub> O
<b>IV A<sub>n</sub>' 20</b>		202	*)	- -	36,9/37,08	- - - DMSO + apă 1:1
-"-		21	-	3,02	-	Alcocl eti-lic + apă 1:1

\*) Compozii nu se topesc pînă la 360°C

analog, folosind în reacție izoftalaldehida, nu a fost încununată de succes, deoarece și în aceste condiții dialdehyde reacționează mai degrabă cu ambele grupări carbonilice.

Puritatea compușilor sintetizați de noi a fost controlată în prealabil, prin cromatografie în strat subțire, conform 3.1.7., apoi prin puncte de topire și determinarea conținutului de azot, anion sulfat și, la nevoie,  $H_2O$  sau alcool de cristalizare.

Studiul spectroscopic în infraroșu conform 3.1.3., a urmărit precizarea structurii și a tautomeriei acestor combinații.

### 3.1.2.- Dozarea guanil-ureei în mediul de reacție <sup>87</sup>

Intentia inițială de a studia reacția dintre sulfatul de guanil-uree și diversele benzaldehyde substituite (comparativ cu benzaldehyda însăși) implica rezolvarea problemei unci metode adecvate pentru determinarea guanil-ureei în mediul de reacție, astfel încât metoda să permită a urmări scăderea concentrației sale în funcție de timp.

In studiul cinetic al hidrolizei acide a cian-guanidinei la sulfat de guanil-uree (hidroliza catalizată de acidul sulfuric) Lidholm <sup>88</sup> a realizat cu destulă precizie determinarea guanil-ureei rezultată, folosind titrarea alcălometrică a  $H_2SO_4$  N/l în prezență de metil-orange, titrare efectuată după ce acidul sulfuric din mediul de reacție a fost îndepărtat cu  $Ba(OH)_2$ , iar excesul acestuia cu  $CO_2$ . In acest caz, titrarea s-a făcut deci asupra carbonatului de

guanil-uree, ceea ce este posibil în prezență cianguanidinei nereacționate, întrucât ultima este o bază considerabil mai slabă.

Se înțelege că, această metodă de determinare nu putea fi luată în considerare pentru sistemul nostru, dat fiind că aici produsul rezultat (benziliden-1,5-guanil-ureea substituită) posedă o bazicitate foarte apropiată de a guanil-ureei însăși.

In literatură sunt descrise și metode gravimetrice de dozare a guanil-ureei, fie sub formă de picrat<sup>89</sup>, fie sub forma complexului bine cunoscut cu  $\text{Ni}^{2+}$ , în mediu apos.<sup>90</sup>

Ne-am oprit la această reacție de complexare cu  $\text{Ni}^{2+}$ , utilizând-o însă cu scop analitic cantitativ nu în forma gravimetrică directă care n-ar fi fost aplicabilă în cazul nostru, din cauza insolubilității produsului de reacție în mediu apos chiar alcalic. Am adoptat de aceea o metodă volumetrică indirectă analoagă celei elaborate de G. Ostrogovich și R. Bacaloglu pentru dozarea biuretului.<sup>91</sup>

Ea constă în precipitarea guanil-ureei nicheloașe în mediu alcalic cu o soluție de ioni  $\text{Ni}^{2+}$  cu titru cunoscut și dozarea excesului de  $\text{Ni}^{2+}$  prezent în soluție prin titrare cu o soluție de complexon III în prezență de murexid ca indicator.<sup>87</sup>

Aplicabilitatea proceșdului a fost verificată pe sulfat de guanil-uree pur. Rezultatele sunt în medie deficitare cu ~ 1,3%, precizia metodei fiind de

± 1,54%. Detaliile operative și rezultatele numeroaselor determinări efectuate, sunt date în partea experimentală.

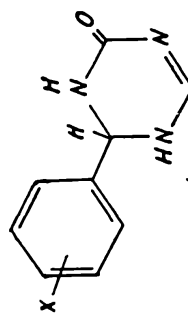
3.1.3.- Studiul spectroscopic în infraroșu al compu-  
silor benziliden-1,5-guanil-ureici (4-amino-  
-2-fenil-6-oxo-1H,3H-1,3,5-triazinici)  
IV A<sup>l</sup> 92

3.1.3.1.- Interpretarea spectrelor de absorbtie în  
infraroșu al bazelor libere

In tabelul 9 se prezintă interpretarea dată celor mai semnificative benzi din spectrele infraroșii ale unei serii de combinații benziliden-1,5-guanil-ureice. In figurile 1 și 2 se dau cu titlu ilustrativ, două din spectrele înregistrate. După cum se vede, banda care apare în domeniul  $1630 - 1720 \text{ cm}^{-1}$  a fost atribuită vibrației de valență a grupării carbonilice. Acestei vibrații i se atribuie domeniile  $1690 - 1780 \text{ cm}^{-1}$ , pentru unele 2,4-dioxo-1H,3H-1,3,5-triazine (guanamide),<sup>71,73,93,94</sup>  $1680 - 1740 \text{ cm}^{-1}$  pentru unele 2,4-dioxo-1H,3H,5H-1,3,5-triazine (alchiliden-1,5-biureți)<sup>71</sup> și  $1690 - 1800 \text{ cm}^{-1}$  pentru acidul cianuric și derivatul său tri-N-metilat.<sup>95-100</sup>

Amelina și amelida prezintă banda corespunzătoare vibrației de valență a carbonilului în intervalul  $1710 - 1740 \text{ cm}^{-1}$ .<sup>100</sup>

In domeniul  $1570 - 1660 \text{ cm}^{-1}$  apare o altă bandă la aceeași compuși ca și mai sus, pe care o atribuim în



Tabelă 2

Benzile caracteristice ale benziliden-1,5-guanil-ureelor substituite în nucleul benzenic ( $\text{cm}^{-1}$ )

Nr.	Substi-	C=O		$\text{NH}_2$		NH <sub>2</sub> valență dinic	NH <sub>2</sub> valență asim.	NH <sub>2</sub> valență valentă	C-N ureic N-H	C-N deformatie	cuplate
		valență	valență	forfe-	torsi-						
<b>III</b>	<b><math>\text{A}_{\text{II}}</math></b>	<b>p-NH<sub>2</sub></b>	<b>* 1630</b>	<b>1570</b>	<b>1550</b>	<b>1025</b>	<b>3370</b>	<b>3270</b>	<b>3100</b>	<b>3150</b>	<b>1460</b>
-n-	<b>8</b>	<b>p-H</b>	<b>1650</b>	<b>1620</b>	<b>1560</b>	<b>1025</b>	<b>3320</b>	<b>3230</b>	<b>3080</b>	<b>3150</b>	<b>1440</b>
-n-	<b>1</b>	<b>-H</b>	<b>1670</b>	<b>1630</b>	<b>1590</b>	<b>1025</b>	<b>3300</b>	<b>3170</b>	<b>2900</b>	<b>3140</b>	<b>1420</b>
-n-	<b>11</b>	<b>p-Cl</b>	<b>1685</b>	<b>1625</b>	<b>1595</b>	<b>1020</b>	<b>3300</b>	<b>3190</b>	<b>2900</b>	<b>3160</b>	<b>1450</b>
-n-	<b>10</b>	<b>m-Cl</b>	<b>1690</b>	<b>1635</b>	<b>1590</b>	<b>1020</b>	<b>3250</b>	<b>3180</b>	<b>2900</b>	<b>3130</b>	<b>1420</b>
-n-	<b>9</b>	<b>o-Cl</b>	<b>1690</b>	<b>1635</b>	<b>1595</b>	<b>1040</b>	<b>3300</b>	<b>3170</b>	<b>2900</b>	<b>3150</b>	<b>1430</b>
-n-	<b>4</b>	<b>p-NO<sub>2</sub></b>	<b>1670</b>	<b>1630</b>	<b>1590</b>	<b>1020</b>	<b>3370</b>	<b>3250</b>	<b>2800</b>	<b>3180</b>	<b>1410</b>
-n-	<b>3</b>	<b>5-NO<sub>2</sub></b>	<b>1660</b>	<b>1620</b>	<b>1560</b>	<b>1020</b>	<b>?</b>	<b>?</b>	<b>3000</b>	<b>3240</b>	<b>1415</b>
-n-	<b>2</b>	<b>3-NO<sub>2</sub></b>	<b>1650</b>	<b>1620</b>	<b>1560</b>	<b>1030</b>	<b>3340</b>	<b>3260</b>	<b>3050</b>	<b>3050</b>	<b>1420</b>

\* Conține o moleculă de apă de cristalizare

\*\* Conține o moleculă de alcool cristalizare

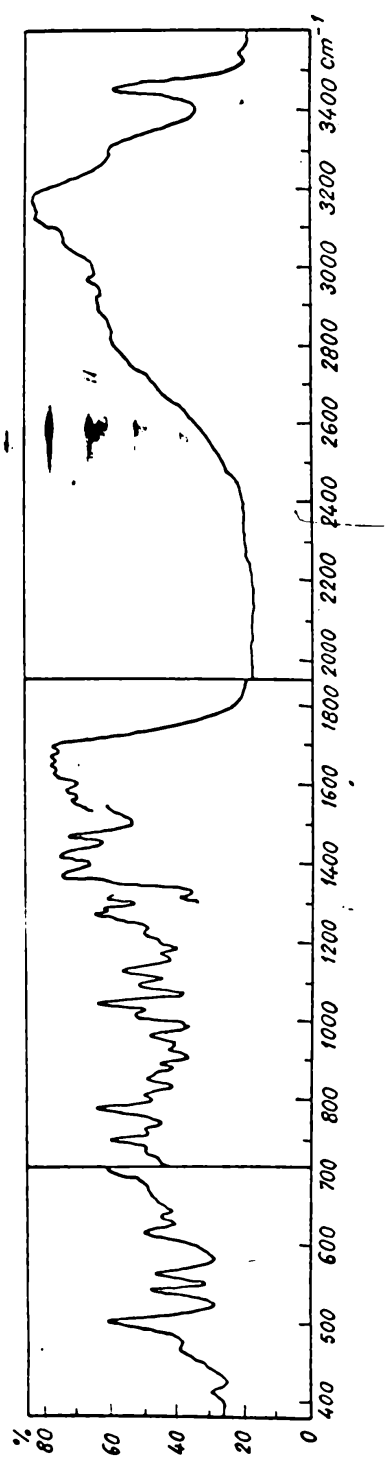


Fig. 1 Spectrul în infraroşu al benziliden-1,5-guanilureei  
(suspenzie în nujol și hexaclorbutadienă)

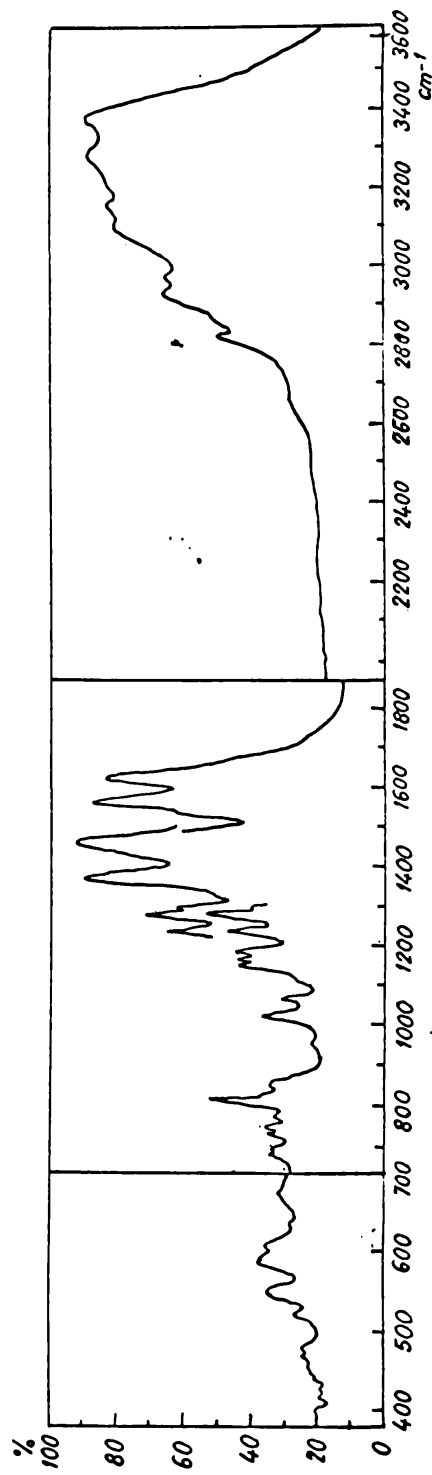
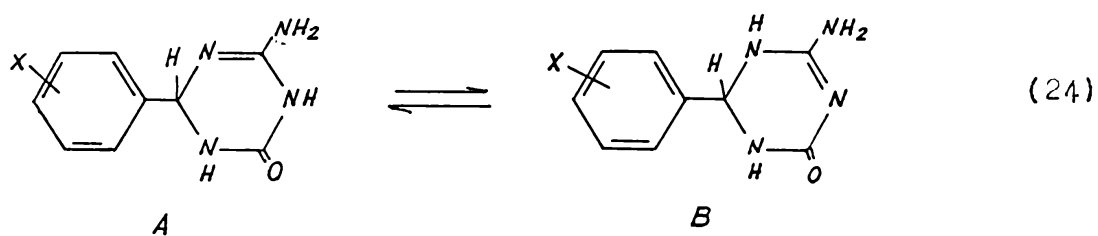


Fig. 2 Spectrul în infraroşu al p-dimethylaminobenziliden-1,5-

acord cu datele din literatură, vibrației de valență a unei legături C=N . Într-adevăr, această bandă apare în domeniile  $1530 - 1690 \text{ cm}^{-1}$  la guanidine,<sup>101-105</sup>  $1655 - 1672 \text{ cm}^{-1}$  la trialchilizouree<sup>103</sup> și  $1580 - 1620 \text{ cm}^{-1}$  la amidine diferit substituite.<sup>106,107</sup>

Este remarcabil faptul semnalat mai sus, că pentru combinațiile  $n:1,4,9,10,11$  (vezi și figura 1), ambele benzi despre care a fost vorba, apar sub forma unor dublete clar profilate. Acest lucru nu poate fi explicat decât dacă admitem că în rețeaua cristalină subsistă două grupări carbonilice, respectiv carbiminice neechivalente. Dublarea similară a altor benzi (tabela 9), ne îndreptățește să considerăm că nu poate fi vorba despre două moduri de implicare a acestor grupări în asociatie prin legături de proton, ci mai degrabă despre doi tautomeri (A și B), existenți probabil în cantități egale în rețeaua cristalină, (24) :



Pentru precizarea structurii acestor tautomeri, este importantă identificarea vibrațiilor grupării  $\text{NH}_2$ . În guanidine substituite a putut fi demonstrat<sup>104,105,108</sup> că vibrația de deformare prin forfecare a grupării  $\text{NH}_2$  apare în domeniul  $1590 - 1660 \text{ cm}^{-1}$ , iar cea de torsionare în domeniul  $1040 - 1100 \text{ cm}^{-1}$ . În amidinele monosubsti-

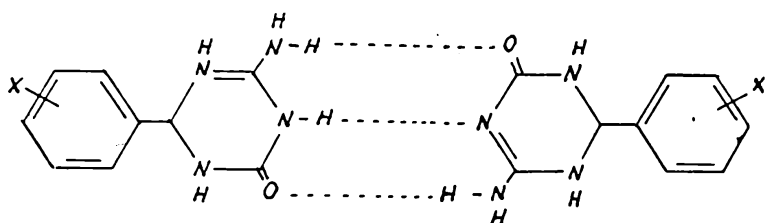
tuite sau nesubstituite,  $^{107}$  prima apare între  $1570 - 1610 \text{ cm}^{-1}$ , iar în 2,4-diamino-1,3,5-triazine  $^{109}$  între  $1610 - 1680 \text{ cm}^{-1}$ . O analiză completă  $^{110}$  a spectrului melaminei a permis să se atribui deformațiilor în cauză următoarele benzi :  $1627$  și  $1653 \text{ cm}^{-1}$ , respectiv  $1178$  și  $1194 \text{ cm}^{-1}$ . În spectrele combinațiilor cercetate de noi se găsesc benzi de intensitate importantă între  $1530 - 1590 \text{ cm}^{-1}$  și unele de intensitate medie între  $1020 - 1050 \text{ cm}^{-1}$ , care pot fi atribuite unor astfel de vibrații.

Vibrațiile de valență antisimetrică și simetrică  $\text{NH}_2$ , care apar în spectrul infraroșu al guanidinelor între  $3200 - 3400 \text{ cm}^{-1}$   $^{101},^{103}$  în cel al amidinelor între  $3300 - 3500 \text{ cm}^{-1}$   $^{106},^{107},^{111}$  și cel al amino-1,3,5-triazinelor între  $3000 - 3400 \text{ cm}^{-1}$   $^{100},^{105},^{109},^{110}$  sunt mai dificil de identificat în cazul acestor combinații datorită suprapunerii cu alte vibrații NH existente, precum și cu vibrațiile OH ale alcoolului de cristalizare. În cazul compușilor  $n:5,8,1,11,10$  și  $9$  au fost atribuite acestor două benzi sau umeri în domeniul  $3250 - 3370$  și  $3170 - 3270 \text{ cm}^{-1}$ .

Vibrației de valență NH care apare în amidine între  $3100 - 3250 \text{ cm}^{-1}$   $^{106},^{107},^{111}$ , în acidul cianuric și bazele cianurice între  $3000 - 3200 \text{ cm}^{-1}$   $^{95-100}$  și atribuim cele două benzi între  $3120 - 3240 \text{ cm}^{-1}$  și  $2800 - 3100 \text{ cm}^{-1}$ . Ambele, dar mai cu seamă ultima, trădează în cazul compușilor  $n:1,11,10,9,4,3$  și  $2$  atât prin poziția cătă și prin lărgimea ei o foarte puternică

asociere prin legături de proton ( figura 1 ) .

Având în vedere cele de mai sus, admitem că în rețeaua cristalină compusii n:1,11,10,9 și 4 se găsesc sub forma unui asociat echimolecular al celor două structuri tautomere A și B prin trei legături de proton



32

O astfel de asociere a fost demonstrată <sup>112</sup> în cazul combinațiilor echimoleculare dintre acid cianuric și melamină și dintre amelidă și amelină drept cauză a proprietăților lor. În mod evident, fiecare din cei doi tautomeri nu este capabil să dea loc singur unei asemenea asociieri prin legături de hidrogen.

Tautomerului B trebuie să-i atribuim frecvențele mai scoborîte ale benzilor corespunzătoare vibrațiilor de valență, atât ale grupei C=O cât și ale grupei C=N , dată fiind conjugarea lor nemijlocită. Examînînd frecvențele vibrațiilor de alungire C=O și C=N ale compușilor n:5, 8, 3 și 2 , este firesc să admitem că spre deosebire de combinațiile anterior enumerate, ele se găsesc numai în forma tautomerului B. În tabela 9 sunt cuprinse, de asemenea, cîteva vibrații cuplate de valență C-N și de deformare N-H . Ele se situează în domeniul îndeobște atribuit unor vibrații de acest gen (de

exemplu la amidine domeniul  $1200 - 1570 \text{ cm}^{-1}$ .<sup>106,107,111</sup> Ele sunt, fără îndoială, caracteristice sistemului amino-oxo-1,3,5-triazinic în forma tautomeră respectivă și în consecință, mai greu de comparat cu cele ale unor sisteme înrudite.

3.1.3.2.- Interpretarea spectrelor de absorbtie în infraroșu ale compusilor monoprotonați (sulfatii)

Tabela 10 conține interpretarea dată celor mai semnificative benzi din benziliden-1,5-guanil-ureele monoprotonate (vezi pentru exemplificare figura 3). Vibratia de valență a grupelor carbonilice a suferit, datorită pozitivării atomului de azot din imediata sa vecinătate, o deplasare spre numere de undă mai mari.

In domeniul vibratiilor de valență NH ( 2700 - 3300  $\text{cm}^{-1}$  ) apare o bandă deosebit de largă, care trădează pe lîngă o asociere foarte puternică prin legături de proton și o pozitivare importantă a atomilor de azot. Pe această bandă se pot recunoaște totuși cîteva maxime, uneori mai pronunțate, corespunzătoare diverselor grupări NH din moleculă . O atribuire este, firește, mai dificilă , dar dacă se admite că gruparea NH ureică nu își schimbă considerabil în săruri poziția față de cea din bazele libere (rămînind în jur de 3100 - 3200  $\text{cm}^{-1}$ ) și dacă se ține cont că banda cea mai joasă (2780 - 2840  $\text{cm}^{-1}$ ) trebuie să corespundă grupării NH guanidinice puternic pozitive, rămîn două maxime 3200 - 3300  $\text{cm}^{-1}$  și 3020 - 3150  $\text{cm}^{-1}$

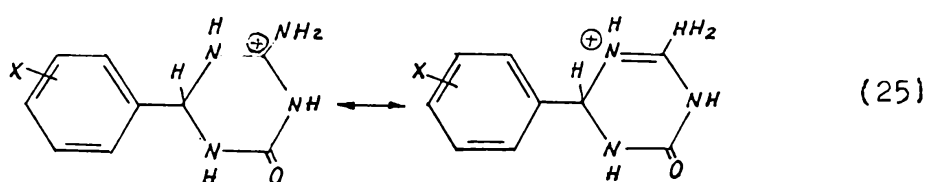
care pot fi atribuite grupării  $\text{NH}_2$ .

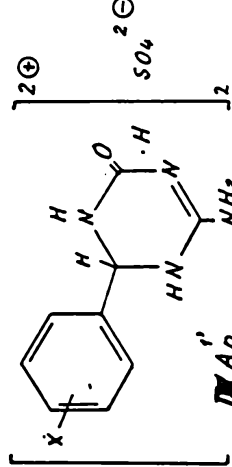
In domeniul  $1650 - 1720 \text{ cm}^{-1}$  toate combinațiile studiate prezintă un grup de două benzi. Ele trebuie evidențiată, legate de sistemul de guanidiniu, dar o atribuire amănunțită este, de asemenea, dificilă. Benzile  $1700 - 1715 \text{ cm}^{-1}$  pot să corespundă așa-numitelor benzi de "guanidină I și II" din spectrele sărurilor de guanidiniu substituit<sup>113</sup> și care se dătoresc probabil unor vibrații CN.

Vibrației de deformare  $\text{NH}_2$  (forfecare) i s-a atribuit o bandă între  $1650 - 1670 \text{ cm}^{-1}$  în mod analog cu banda atribuită acelorași vibrații în sărurile de diamino-1,3,5-triaziniu ( $1640 - 1680 \text{ cm}^{-1}$ ).<sup>109</sup>

In domeniul  $1200 - 1500 \text{ cm}^{-1}$ , s-au atribuit trei benzi unor vibrații cuplate de valență CN și de deformare NH în acord cu unele date privind sărurile de amidiniu.<sup>111</sup>

Din cele de mai sus, reiese că protonarea benziliden-1,5-guanil-ureelor are loc la atomul de azot purtător al dublei legături endociclice, (25) :



Tabel a 10

Benzile caracteristice ale sulfatilor de  
benziliden-1,5-guaniid-uree substituite in  
nucleul benzénic ( $\text{cm}^{-1}$ )

Nr.	Substi- tuent	C=O	NH valență guanidinic urică valență guanidinic sim.	NH valență guanidinic urică valență guanidinic sim.	Benziliden-1,5-guaniid-uree substituite in nucleul benzénic ( $\text{cm}^{-1}$ )		Valență deformatie cuplate
					NH <sub>2</sub>	NH <sub>2</sub> forfecere I II	
1 <b>A<sub>n</sub></b>	5 p-nitro <sub>2</sub>	1740	2820	3200	3100 3300	1670 1710	1705 1450 1370 1280
-	6 p-Me	1735	2840	3170	3050 3300	1670 1715	1700 1470 1390 1290
-	7 -H	1735	2780	3170	3080 3220	1655 1700	1685 1460 1390 1280
-	11 p-Cl	1730	2830	3150	3100 3220	1650 1720	1675 1450 1390 1280
-	10 m-Cl	1735	2840	3130	3030 3210	1670 1710	1700 1480 1410 1290
-	9 o-Cl	1730	2830	?	3050 3280	1660 1715	1690 1480 1380 1290
-	4 p-NO <sub>2</sub>	1730	2800	3200	3080 3300	1650 1720	1695 1480 1385 1260
-	3 m-NO <sub>2</sub>	1730	2830	3220	3150 3300	1670 1710	?
-	2 o-NO <sub>2</sub>	1745	2790	?	3090 3300	1650 1715	1470 ? 1280

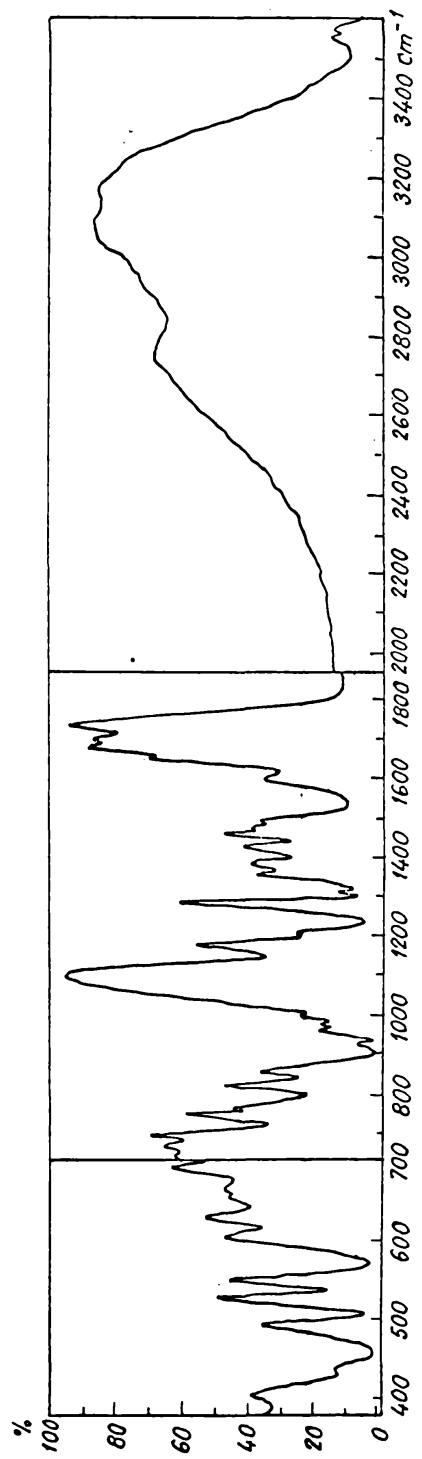


Fig. 3 - Spectral in infrarođu na sastavu benzodiazepin-1,5-dimetil-dionei  
(pestil) u romaničkoj potesiji.

3.1.4.- Dădublarea în enantiomeri a benziliden-  
-1,5-guanil-ureei <sup>114</sup>

Așa cum a fost semnalat de A. Ostrogovich,<sup>4</sup> compușii rezultați în reacția dintre guanil-uree și aldehyde arilice trebuie să fie racemici, având un atom de carbon asimetric și rezultînd dintr-o sinteză care pornește de la molecule optic inactive.

Separarea în antipozi a ( $\pm$ ) benziliden-1,5-guanil-ureei de sinteză, s-a făcut prin transformare în diastereoizomeri, folosind în acest scop doi dintre acizii optic activi, acidul (+)-tartric și acidul (+)-camfor-10-sulfonic.

Astfel, unei soluții de acid (+)-tartric, la  $70^{\circ}\text{C}$  s-a adăugat o cantitate de ( $\pm$ )-benziliden-1,5-guanil-uree în raport molar 1:2 (acid tartric : benziliden-1,5-guanil-uree). Acidul (+)-tartric formează cu (-)-benziliden-1,5-guanil-ureea diastereoizomerul mai puțin solubil, pe care l-am separat prin cristalizări fractionate din apă.

Separarea (+)-enantiomerului s-a putut realiza în urma observației, că el este cel care formează cu acidul (+)-camfor-10-sulfonic sarea diastereoizomeră mai puțin solubilă decât cea a cestui acid cu (-)-benziliden-1,5-guanil-ureea. Primei soluții obținute ca mai sus, după filtrare i s-a adăugat o cantitate de acid (+)-camfor-10-sulfonic, corespunzătoare raportului molar 1:1 față de cantitatea de (+)-benziliden-1,5-guanil-uree rămasă

în soluție sub formă de (+)-tartrat. Diastereoizomerul (+)- (+) a fost obținut în stare pură după cîteva recrystalizări fractionate din apă.

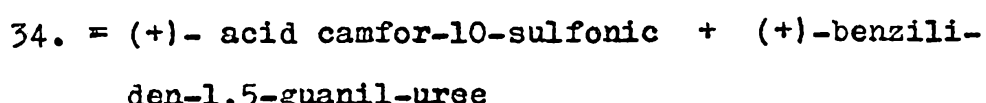
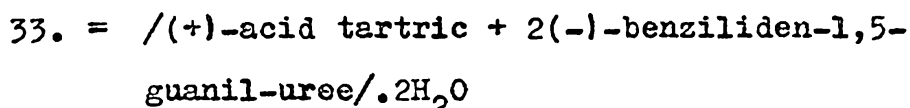
Așadar, pentru a obține enantiomerii puri, s-a procedat conform recomandării cunoscute,<sup>115</sup> și efectuind recrystalizări fractionate succesive pînă ce puterea rotatorie a fiecărui diastereoizomer în parte rămîne neschimbătă față de cea a preparatului obținut prin recrystalizarea precedență.

Proprietățile celor doi diastereoizomeri sunt cuprinse în tabela II.

T a b e l a II

Proprietățile diastereoizomerilor

Nr. crt.	Azot % găsit/calculat	$/ \alpha_D^{20}$ în apă	P.t. °C	Randa- ment, %
33.	20,2/19,78	-25°	178	59
34.	13,0/13,27	+37,5°	254,5	72



Pentru izolarea enantiomerului levogir al benziliden-1,5-guanil-ureei, soluția apoasă a diastereoizomerului 33, a fost neutralizată cu amoniac sau cu o

soluție diluată de hidroxid de sodiu, cînd are loc cristalizarea enantiomerului în chestiune.

(+)-Benziliden-1,5-guanil-ureea se poate obține din soluția apoasă a diastereoizomerului 34, prin neutralizarea cu o soluție de hidroxid de sodiu, urmată de cristalizarea enantiomerului. Cristalele enantiomerului și într-un caz și în altul, după separare se spală bine cu apă rece.

Ambii enantiomeri cristalizează cu un mol de apă de cristalizare. Puterea rotatorie a acestora s-a determinat în soluție, folosind N,N-dimetilformamida ( DMF ), ca solvent, iar citirea s-a făcut la un polarimetru Carl Zeiss Jena.

Proprietățile enantiomerilor sunt redate în tabela 12.

T a b e l a 12

Proprietățile enantiomerilor

Nr. crt.	Azot , % găsit/calculat	$/ \alpha / ^{20}_D$ în DMF	P.t. °C	Randa- ment, %
35.	26,6/26,92	-37,5	151-2	81,6
36.	26,8/26,92	+37,5	151-2	77,5

35 = (-)-benziliden-1,5-guanil-uree.H<sub>2</sub>O

36 = (+)-benziliden-1,5-guanil-uree.H<sub>2</sub>O

Faptul că ambii enantiomeri ai benziliden-1,5-guanil-ureei obținuți au putere rotatorie egală, dar de semn contrar, confirmă puritatea acestora.

Studiul comparativ al spectrelor în infraroșu în stare solidă al enantiomerilor benziliden-1,5-guanil-

ureei, a dus la o concluzie ambiguă. Aceste spectre nu se suprapun ca în cazul unui amestec racemic ( conglomerat ), dar nici nu prezintă o diferență netă ca în cazul unui compus racemic ( racem ). <sup>116</sup> Din această cauză, s-a apelat la diagrama punctelor de topire . <sup>115 b</sup> In acest caz, diagrama punctelor de topire cu un maxim, fără eutectic (figura 4) , demonstrează existența unei soluții solide "pseudoracem" a celor doi enantiomeri.

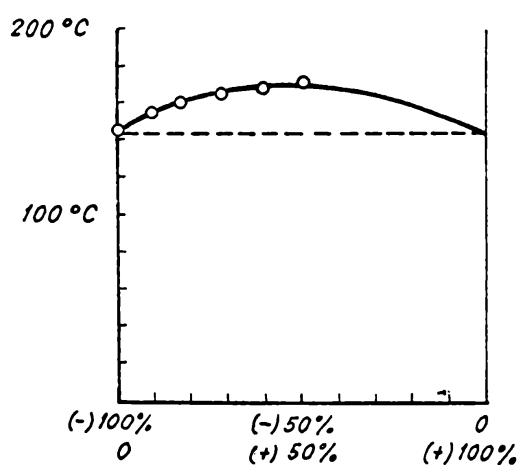


Fig. 4 - Diagrama punctelor de topire

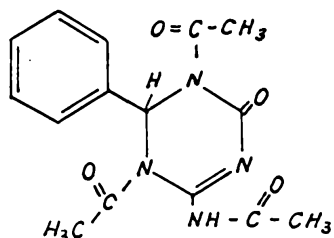
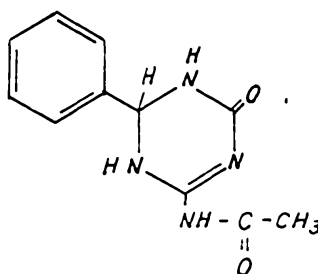
### 3.1.5.- Acetilarea benziliden-1,5-guanil-ureei <sup>85</sup>

Considerind interesant din punct de vedere teoretic, obținerea unei combinații care să prezinte un sistem mixt de izomerie și anume doi izomeri optic activi datorită atomului de carbon asimetric și alți doi atropizomeri, s-a efectuat acetilarea benziliden-1,5-

-guanilureei .

In literatură sunt descrise unele acetilări asupra unor compuși cu structură apropiată, ca de exemplu acetilarea 4,6-dioxo-1H,3H,5H-1,3,5-triazine, în care caz s-a obținut diacetil-derivatul ( 1,5-diacetil-4,6-dioxo-2H,3H-1,3,5-triazine ),<sup>117</sup> precum și asupra acetoguanidei , în care caz s-a obținut 4-metil-2-acetil-amino-6-oxo-1H-1,3,5-triazina.<sup>118</sup>

In acetilarea benziliden-1,5-guanil-urcei s-a folosit anhidridă acetică ca agent de acetilare și piridină drept catalizator . Lucrindu-se în condiții diferite de temperatură și cu diferite raporturi molare între reactanți, s-au obținut doi produși de acetilare, anume un monoacetyl și un triacetil-derivat .



37 Monoacetyl-derivatul, pre-  
zumtiv(2-fenil-4-acetila-  
mino-6-oxo-1H,3H-1,3,5-  
triazina)

38 1,3-diacetyl-2-  
fenil-4-acetil-  
amino-6-oxo-  
-1,3,5-triazina.

Un amestec de anhidridă acetică și benziliden-1,5-guanil-uree, în raport molar 4:1 , s-a încălzit la 50°C cînd s-a adăugat piridină. Încălzirea la aceeași temperatură ( 50°C ) , a continuat apoi încă două ore. Cristalele formate după răcire, au fost separate și spălate cu acetat de ctil . După o recristalizare din apă se

obțin cristale aciculare incolore de monoacetil-derivat

37 .

Un amestec de benzilden-1,5-guanil-ură și anhidridă acetică în raport molar 1:8 ; s-a încălzit pe baia de apă la fierbere, cu o picătură de piridină, timp de 6 ore. După filtrare și spălare a cristalelor formate după răcire, s-a făcut o recristalizare din benzen . A rezultat în stare pură triacetil-derivatul

38 .

Deoarece nu se obține un diacetil-derivat aşa după cum a fost verificat și cromatografic (nu apare un produs intermediar între mono- și triacetil-derivat) , se deduce că vitezele de acetilare în pozițiile 1, 3, conform cu structurile propuse de noi, sănt foarte apropiate .

Caracterizarea produșilor de acetilare este redată în tabela 13 .

T a b e l a 13

A c e t i l - d e r i v a t i

Com-	Azot %	Acetil %	P.t.	Randa-
pus	găsit/calculat	găsit/calculat	%	ment %
37.	24,3/24,13	1,02/1	230-1	77
38.	17,7/17,78	2,7/3	110-1	50

37 = monoacetil-derivat

38 = triacetil-derivat

Pînă în prezent nu s-au efectuat încercări de separare a izomerilor optic activi asupra triacetil-derivatului.

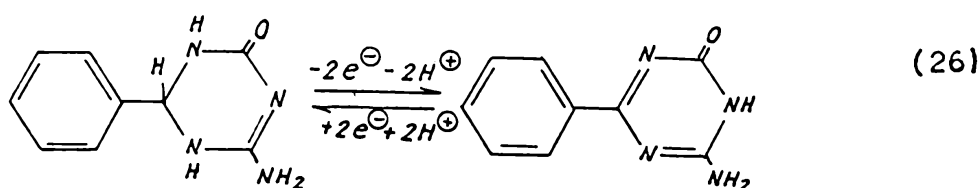
3.1.6.- Oxidarea benziliden-1,5-guanil-ureei <sup>85</sup>

Tot din punct de vedere teoretic, s-a considerat interesant de a se încerca posibilitatea oxidării benziliden-1,5-guanil-ureei la benzoguanidă.

In acest scop, o soluție apoasă de benziliden-1,5-guanil-uree acidulată cu acid sulfuric, s-a tratat cu o soluție de permanganat de potasiu la temperatura de aproximativ  $80^{\circ}\text{C}$ . Amestecul s-a menținut la această temperatură pînă ce soluția a devenit incoloră. Apoi, s-a filtrat întreaga soluție, iar prin răcirea acesteia s-au obținut cristale aciculare perfect incolore de benzoguanidă foarte pură (randament 63,7 %).

Procesul contrar, al reducerii benzoguanidei la benziliden-1,5-guanil-uree, a fost studiat în această teză pe cale polarografică. <sup>119</sup>

Cele două procese se prezintă astfel :



3.1.7.- Metodă cromatografică în strat subțire,  
de separare, recunoaștere și dozare a  
benziliden-1,5-guanil-ureelor și benzo-  
guanidelor 120

Studiul celor două procese contrare (26), al oxido-reducerii a benziliden-1,5-guanil-ureei la benzo-guanidă<sup>85</sup> și invers,<sup>119</sup> a ridicat inevitabil problema analizei amestecurilor de reacție. În acest scop, s-a folosit tehnica cromatografiei în strat subțire.

În vasta literatură privind compușii 1,3,5-triazinici, sănt cuprinse unele lucrări de analiză cromatografică fie în strat subțire, fie pe hîrtie, cum sănt cele referitoare la unele ierbicide 1,3,5-triazinice,<sup>121-127</sup> acidul cianuric și melamina,<sup>128,129</sup> sau trifenil-1,3,5-triazina,<sup>130</sup> dar pînă în prezent nu se indică nici o metodă de analiză pentru compușii de tipul celor din prezenta teză.

Experiențele preliminare au avut drept scop găsirea unui reactiv sensibil de recunoaștere pentru acești compuși. Astfel, au fost încercăți reactivii cei mai sensibili folosiți pentru identificarea triazinelor în metoda cromatografică. Cele mai bune rezultate ale acestor încercări sănt rezumate în tabela 14.

T a b e l a 14

Sensibilitatea reacției de identificare a benziliden-  
-1,5-guanil-ureelor și benzoguanidelor, față de  
reactivii folosiți

Nr. crt.	Reacțivul	Sensibilitatea compușilor:	Ref.
		IV A      III A	
1.	Acetat mercuric + difenil-carbazona	0,4	0,3      129
2.	Briliant verde* + brom gazos	1,2	1,2      121
3.	Clor gazos + IK 1% + amidon solubil 5% (1:1)	0,1	0,1      131

\*Briliant verde = (4,4'-bis-(dimetilamino)-  
-trifenilmetan) în acetonă (0,5 %)

Metoda de identificare cu ajutorul clorului sub formă gazoasă și a amestecului de iodură de potasiu 1% cu amidon solubil 5% , a fost indicată pentru compușii cu hidrogen activ la atomul de azot.<sup>131</sup> Aplicarea acestui procedeu la compușii de tipul III A și IV A , a dat rezultate bune, spoturi violet-brune pe un fond alb.

Dintre toți developanții încercați, unul a dat cele mai bune rezultate anume amestecul de benzen : acetonă : metanol ( 8 : 2,5 : 2,5 ) .

S-au folosit plăci 20x20 cm , cu un strat de 0,250 mm (Silica Gel G, to Stahl for TLC, E. Merck A. Darmstadt ) și

metoda ascendentă de developare . Valorile aproximative ale  $R_F$  sănt cuprinse în tabelele 15 și 16 . Separarea benziliden-1,5-guanil-ureei și benzoguanidei, este arătată în figura 5 :

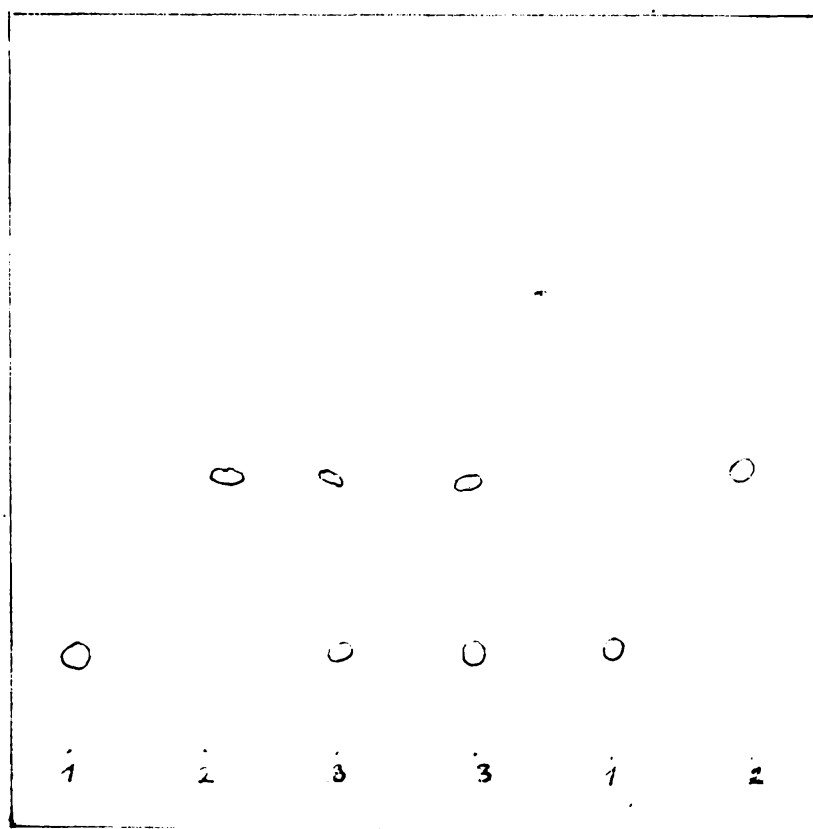
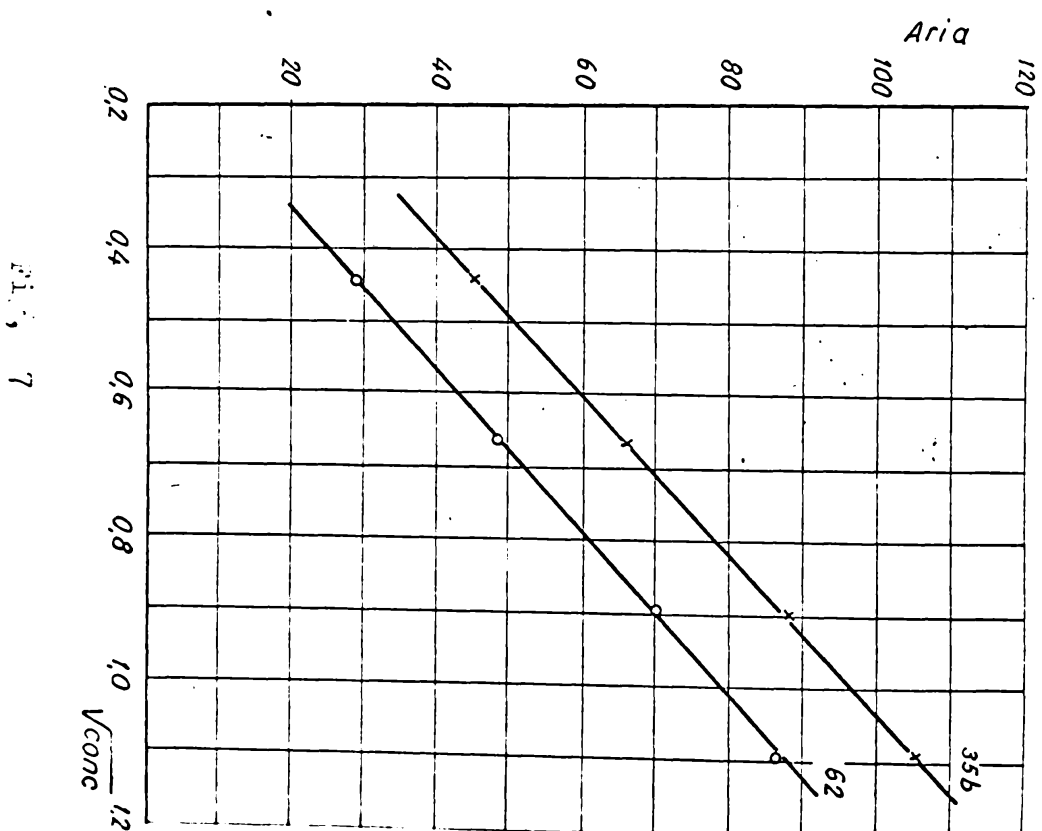
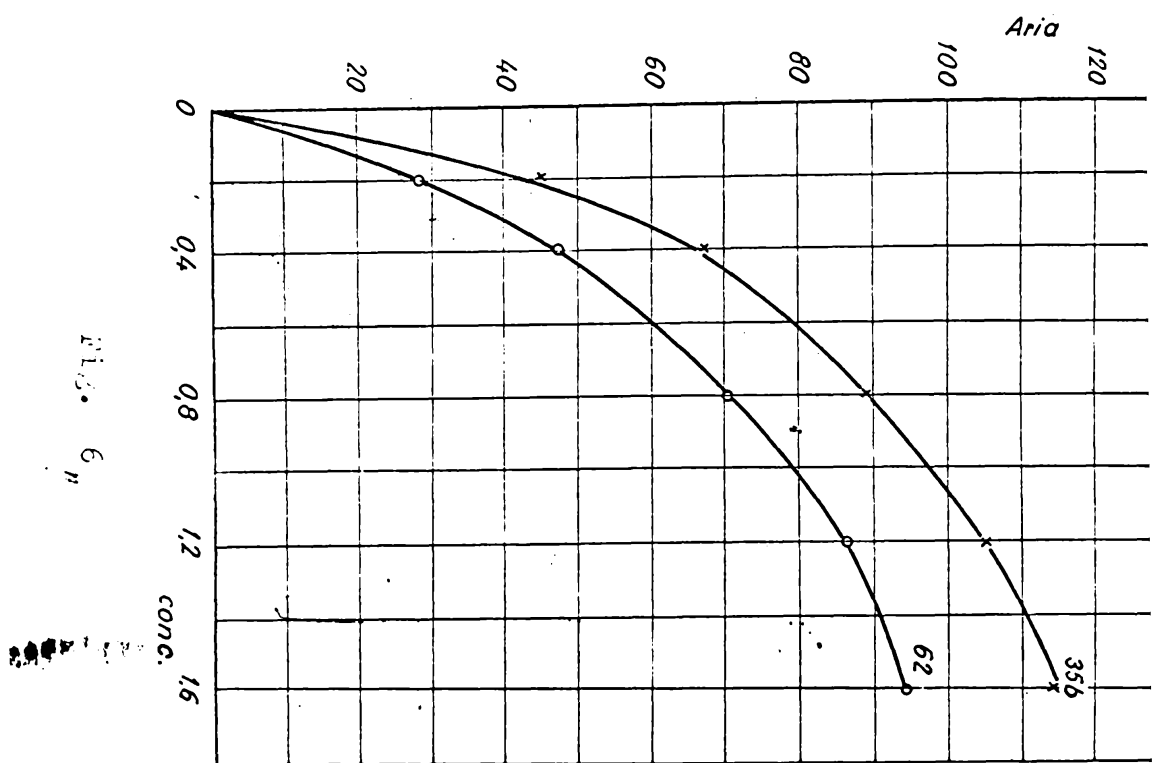


Fig. 5 - 1 = Benziliden-1,5-guanil-uree ( $IV A_1^O$ )  
2 = Benzoguanidă ( $III A_1$ )  
3 = Amestec sintetic de  $IV A_1^O$  și  $III A_1$

Curbele de calibrare privind dozarea cantitativă prin densitometrie optică folosind un aparat "Cromoscan" de tip Joece Loebel , sănt prezentate în figurile 6 și 7.



Rezultatele calculelor,  $^{132}$  obținute cu ajutorul acestor curbe de calibrare, sunt prezentate în tabela 15.

T a b e l a 15

Dozarea compușilor IV  $A_1^1$  și III  $A_1$  prin metoda densitometrică. Sistemul chromatografic : silicagel/benzen-acetonă-metanol (8 : 2,5 : 2,5).

Filtru 575 . Apertura 1005 . Metoda : reflectanță.

Com- pusul	Valoarea $R_F$ aprox.	Adăugat g	Găsit g	Eroare relativă %
IV $A_1^1$	0,12	0,8	0,75	-5,5
		0,8	0,71	-11,2
		1,0	0,92	-8,0
		1,0	1,04	+4,0
		1,2	1,10	-8,3
		1,2	1,25	+4,0
III $A_1$	0,33	0,8	0,72	-10,0
		0,8	0,85	+6,2
		1,0	1,04	+4,0
		1,0	0,94	-6,0
		1,2	1,12	-6,7
		1,2	1,03	-11,6

In același timp au fost efectuate determinări în conformitate cu relația Purdy și Truter.  $^{133}$  Curbele de calibrare după această metodă sunt arătate în

figura 8 . Rezultatele calculelor obținute cu ajutorul  
acestei curbe sunt cuprinse în tabela 16 .

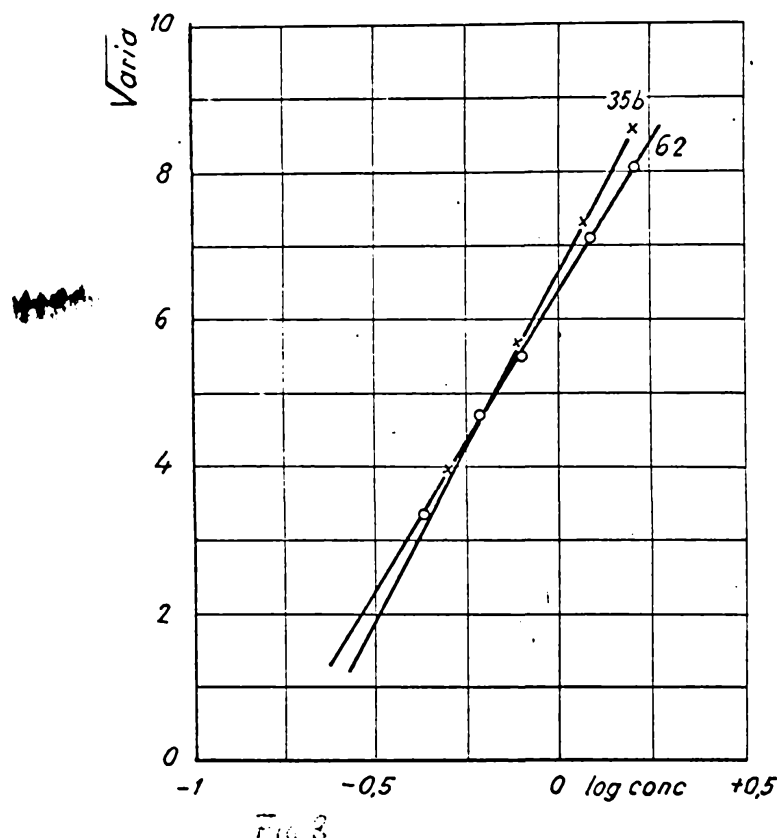


Fig. 3

Fig. 8

Se constată că ambele metode dă rezultate satisfăcătoare , în domeniul  $0,6 - 1,4 \mu\text{g/spot}$  și pot fi folosite pentru dozări semicantitative .

T a b e l a 16

Dozarea compușilor IV A<sub>1</sub><sup>1</sup> și III A<sub>1</sub> prin  
metoda Purdy și Truter. Sistemul cromato-  
grafic : silica-gel/benzen-acetonă-metanol  
(8 : 2,5 : 2,5 )

Com- pusul	Valoarea $R_F$ aprox.	Adăugat g	Găsit g	Eroare relativă %
IV A <sub>1</sub> <sup>1</sup>	0,12	0,8	0,88	+10,0
		0,8	0,72	-10,0
		1,0	0,89	-11,0
		1,0	0,91	-9,0
		1,2	1,11	-7,5
		1,2	1,09	-9,1
III A <sub>1</sub>	0,33	0,8	0,71	-11,2
		0,8	0,86	+7,5
		1,0	0,91	-9,1
		1,0	0,89	-11,0
		1,2	1,08	-10,0
		1,2	1,07	-10,8

3.2.- Studii în domeniul guanidelor (2-amino-  
-4-R-6-oxo-1H-1,3,5-triazinelcr). III

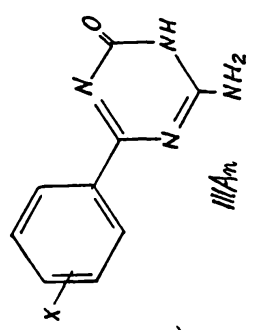
3.2.1.- Sinteza unor benzoguanide (2-amino-4-azil-  
-6-oxo-1H-1,3,5-triazine ) , III A

S-a sintetizat o serie de 2-amino-4-aryl-6-oxo-1H-1,3,5-triazine, în scopul precizării structurii, inclusiv a tautomeriei acestora, prin determinări spectroscopică în infraroșu și ultraviolet, precum și calcule de orbitali moleculari prin metoda Hückel. Un alt scop a fost elucidarea mecanismului reducerii polarografice la electrodul de mercur picurător și exprimarea sub o formă cantitativă a efectelor de substituent pe această cale a compușilor meta și para substituiți. Sinteza acestor compuși se bazează fie pe reacția cianguanidinei cu acid benzoic variat substituit,<sup>46</sup> fie pe reacția de oxidare a benziliden-1,5-guanil-ureelor,<sup>85</sup> (26).

Un mol cianguanidină se adaugă treptat și sub agitare puternică, unei soluții de acid benzoic substituit (0,88 moli), în 9,1 moli oleum 3%. Temperatura se menține prin răcire cu gheată între 20 - 30°C. Prin turărarea masei de reacție peste gheată, se obțin sărurile acil-guanil-ureelor sub formă de precipitat, care ciclizează ușor la benzoguanide, prin neutralizare și încălzire în soluție apoasă.<sup>46</sup>

Oxidarea benziliden-1,5-guanil-ureelor are loc în soluție apoasă acidulată cu acid sulfuric, prin tratare cu o soluție de permanganat de potasiu, la aproximativ 80°C. Din soluția incoloră obținută după reacție și filtrare, cristalizează benzoguanidele într-o stare foarte pură.<sup>85</sup>

Compușii sintetizați și caracterizarea lor, sunt cuprinși în tabola 17.



Benzoguanidine substituție în nucleul benzenic

Compus	<i>X</i>	Formula moleculară gr.	n.c.	molar	Găsit/calculeat	N %	P.t. *	metodă, prep.	Ref.
I11	<i>K<sub>n</sub></i>	<i>n</i> = 1	H	C <sub>9</sub> H <sub>8</sub> N <sub>4</sub> O·H <sub>2</sub> O	206	27,5/27,19	327-8	85	
-"	" 4	phie	C <sub>10</sub> H <sub>10</sub> N <sub>4</sub> O·H <sub>2</sub> O	220	25,6/25,46	329-30	46		
-"	" 3	male	C <sub>11</sub> H <sub>11</sub> CN <sub>4</sub>	202	27,6/27,73	323-4	46	*	
-"	" 13	pF	C <sub>9</sub> H <sub>7</sub> FN <sub>4</sub> O	206	27,1/27,19	341-2	46	*	
-"	" 12	mF	C <sub>9</sub> H <sub>7</sub> FN <sub>4</sub> O	206	27,3/27,19	330-1	46	*	
-"	" 6	pCl	C <sub>9</sub> H <sub>7</sub> ClN <sub>4</sub> O·H <sub>2</sub> O	240,5	23,2/23,28	349-50	46		
-"	" 14	mCl	C <sub>9</sub> H <sub>7</sub> ClN <sub>4</sub> O	222,5	25,3/25,17	340,1	46		
-"	" 16	pBr	C <sub>9</sub> H <sub>7</sub> BrN <sub>4</sub> O·H <sub>2</sub> O	264,9	19,3/19,64	354-5	46	*	
-"	" 15	mBr	C <sub>9</sub> H <sub>7</sub> BrN <sub>4</sub> O	266,9	21,1/20,98	326-7	46	*	
-"	" 5	phesO	C <sub>11</sub> H <sub>11</sub> CN <sub>4</sub> O <sub>2</sub>	218	25,6/25,69	356-7	46	*	
-"	" 17	phes <sub>2</sub> N	C <sub>11</sub> H <sub>11</sub> N <sub>3</sub> O <sub>2</sub>	231	30,2/30,20	**)	46	*	
-"	" 7	phes <sub>2</sub>	C <sub>11</sub> H <sub>11</sub> N <sub>3</sub> O <sub>2</sub>	233	29,9/29,04	355-4	85		

y) Compușii se loveste cu decompunere

x) Compuși necompatibili pînă în prezent în literatură  
(\*) Nu se boilează <360°C

Puritatea acestor compuși a fost urmărită în prealabil la microscop și prin cromatografie în strat subțire, conform 3.1.7., apoi prin puncte de topire și determinarea conținutului de azot.

### 3.2.2.- Spectrele în infraroșu ale benzoguanidelor<sup>134</sup>

Spectrele în infraroșu ale benzoguanidelor au fost executate în pastile de bromură de potasiu, folosind un spectrofotometru de tip UR-10, Carl Zeiss Jena, iar interpretarea benzilor mai semnificative, sunt prezentate în tabela 18.

Luând în considerare structura relativ complicată a compușilor studiați, o atribuire exhaustivă a benzilor nu este posibilă.

În spectrul tuturor compușilor există o absorbție largă, intensă, în regiunea dublei legături (1640 - 1690 cm<sup>-1</sup>), obișnuit despărțită în două benzi distințe una între 1635 - 1640 cm<sup>-1</sup> și cealaltă între 1670 - 1690 cm<sup>-1</sup>.

În citosină (4-amino-6-oxo-1H,3H-pirimidină) și 1-metil derivații acesteia există de asemenea, două benzi la 1626 și 1667 cm<sup>-1</sup>, a doua fiind deplasată prin deuterare (deutero citosina 1637 cm<sup>-1</sup>), sau prin substituirea grupei amino (ca exemplu 6-oxo-1H,3H-pirimidină 1644 cm<sup>-1</sup>, 1-metil-4-dimetilamino-6-oxo-3H-pirimidina 1645 cm<sup>-1</sup>). Aceasta a fost interpretată,<sup>135</sup> atribuind carbonilului banda la aproximativ 1640 cm<sup>-1</sup> și vibrației de deformare NH<sub>2</sub> o frecvență

mai înaltă. Într-o serie de 2,4-diamino-1,3,5-triazine cu substituenți diferiți în poziția 6 (H, NH<sub>2</sub>, CH<sub>3</sub>, OCH<sub>3</sub>, C<sub>6</sub>H<sub>5</sub> și OH), G. Morimoto <sup>109</sup> a atribuit pentru vibrația de deformare NH<sub>2</sub> o bandă între 1615 și 1670 cm<sup>-1</sup>. În melamină (2,4,6-triamino-1,3,5-triazină) și unele 2-alcoxi-4,6-diamino-1,3,5-triazine, vibrațiile de deformare NH<sub>2</sub> sunt între 1640 și 1695 cm<sup>-1</sup>. <sup>100</sup> O analiză completă, <sup>110</sup> a spectrului melaminei a permis atribuirea benzilor de la 1653 și 1627 cm<sup>-1</sup>, vibrației de deformare NH<sub>2</sub>.

Noi, de asemenea, am atribuit banda 1670 - 1690 cm<sup>-1</sup> vibrației de deformare NH<sub>2</sub>, astfel încât banda de la 1635 - 1640 cm<sup>-1</sup> rămîne pentru vibrația de valență CO. Pentru aceste vibrații de obicei este atribuit un domeniu mai înalt (1690 - 1780 cm<sup>-1</sup>). Ca exemplu pot fi considerate 2,4-dioxo-1H,3H-1,3,5-triazinele (1680 - 1740 cm<sup>-1</sup>), <sup>71,73</sup> 2,4-dioxo-1H,3H,5H-1,3,5-triazinele (1680 - 1740 cm<sup>-1</sup>) <sup>71</sup> acidul cianuric și tri-N-metil-derivatul său, <sup>71,96,98,99</sup> amelida și amelina (1710 - 1740 cm<sup>-1</sup>), de asemenea și 4-amino-2-aryl-6-oxo-1H,3H-1,3,5-triazinele (1630 - 1720 cm<sup>-1</sup>). <sup>92</sup> Frecvențele relativ joase pentru vibrația de valență a carbonilului în acești compuși, pot fi explicate printr-o importantă conjugare cu restul moleculei, la fel ca și printr-o asociere puternică prin legături de hidrogen în rețeaua cristalină.

În regiunea 1600 cm<sup>-1</sup>, toți compușii triazinici incluzând derivații lor carbonilici, prezintă o bandă

Tabel 16

Benzile și înzătorile caracteristice 2-aminoo-4-uril-6-oxo-1H,2,5-triazinelor  
 Compoziția IIIA n: 1 4 3 13 12 6 4 16 15 5 17 7  
 Distructoare H pBr mF pCl Cl pBr mBr pBr mBr pBr mBr pNO<sub>2</sub>

Atribuire benzii

Nuvelență	3400	3350	3330	3320	3320	3320	3320	3320	3320	3320	3320	3320
NH <sub>2</sub> aximetrică												
NH <sub>2</sub> simetrică	3150	3160	3180	3070	3140	3130	3140	3150	3140	3170	3120	3120
NH	2880	2850	2860	2870	2900	2850	2980	2850	2920	2860	2900	2900
C=O valență	1640	1642	1635	1635	1635	1640	1630	1640	1635	1640	1640	1630
NH <sub>2</sub> deformată	1680	1680	1690	1680	1695	1680	1690	1670	1620	1690	1690	1630
C=N valență (nucleu triazinic schelet)	1600	1595	1595	1580	1590	1585	1590	1595	1595	1585	1600	1600
nucleu benzenic	1600	1595	1610	1605	1505	1600	1600	1595	1605	1595	1610	1615
(quadrat)	1600	1595	1575	1580	1580	1585	1570	1580	1585	1595	1590	1585
NH deformată în plan	1545	1550	1555	1550	1555	1550	1550	1550	1550	1552	1540	1570
nucleu benzenic (nucleu s-triazinic)	1480	1480	1497	1510	1495	1470	1480	1470	1480	1482	1480	1490

(valență semicerc)	1430	1430	1420	1465	1430	1440	1420	1440	1450	1410	1410	1435
deformări CH în plan la nucleul benzenic	1027	1020	1050	1015	1080	1015	1080	1011	1075	1030	1010	1010
	1090	1115	1090	1130	1120	1090	1157	1070	1160	1170	1125	1110
	1156	1180	1165	1170	1200	1170	1270	1175	1270	1260	1160	1175
	1180	1270	1275	1300	1275	1220		1270		1270	1270	1275
deformări CH în afara plan. la nucleul benzenic	785	800	795	810	790	805	790	810	790	800	805	810
			680		735			730		730		
deformări NH în afara planului	820	840	825	860	830	850	830	850.	830	830	830	830

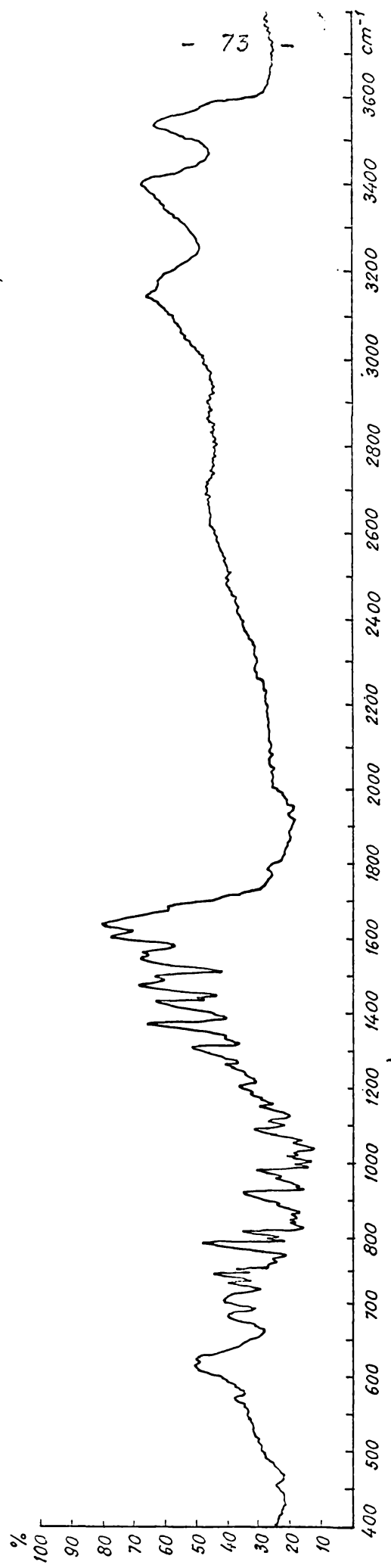


Fig. 2 - Espectro en infrarrojo del benzoguanidina (partida de bromada a 200°C).

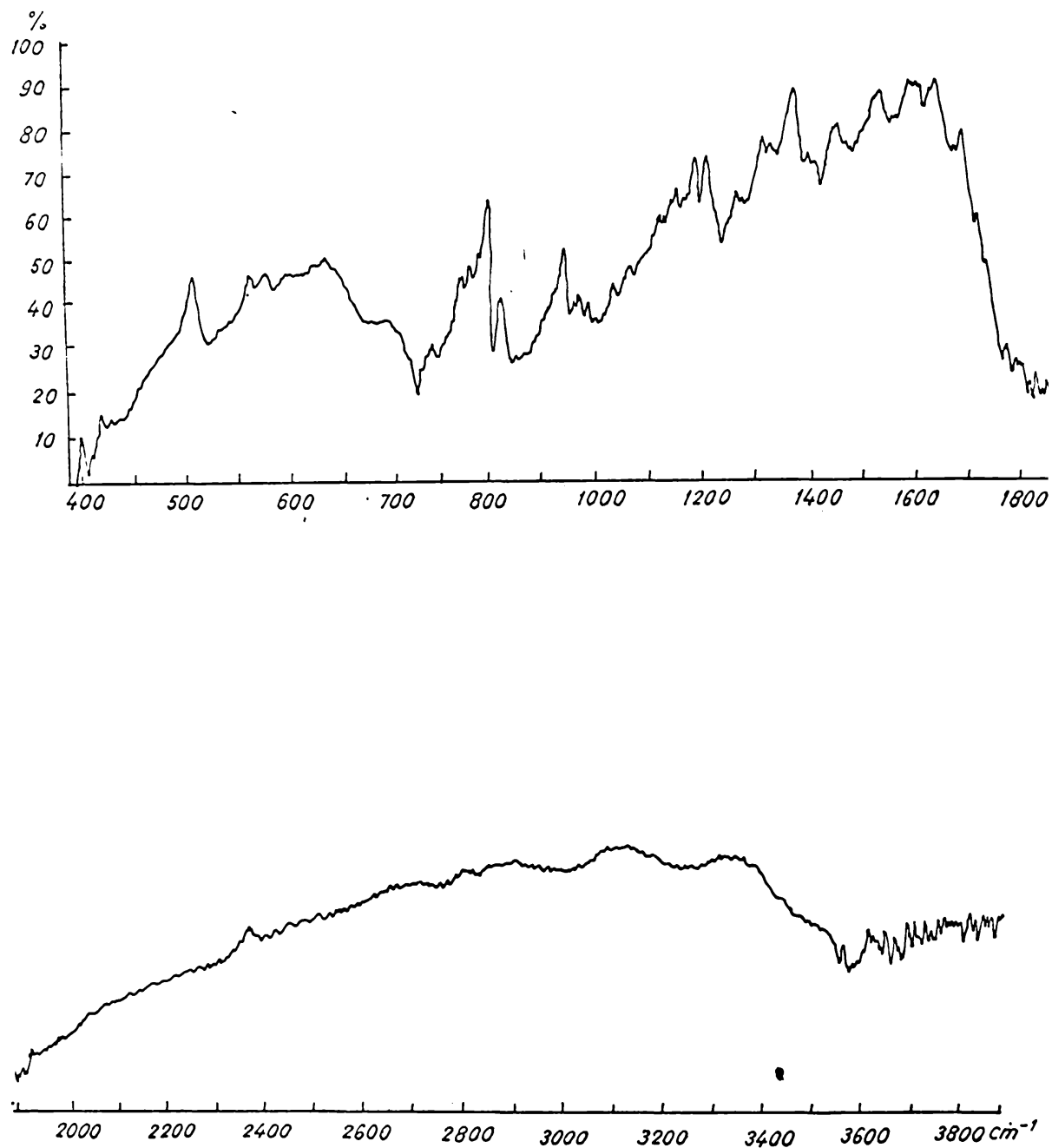


Fig. 10 - Spectrul în infraroșu al  
p-dimetileamino-benzoguanidei  
(pastilă de bromură de potasiu)

care obișnuit este atribuită unei vibrații de schelet (probabil cuplată cu C=N). Ca exemplu pot fi considerate 2,4-dioxo-1,3,5-triazinele și derivații acestora ( $1620 - 1635 \text{ cm}^{-1}$ ),<sup>73</sup> melamina și derivații substituți ( $1560 - 1590 \text{ cm}^{-1}$ ),<sup>100</sup> 2,4-diamino-1,3,5-triazine cu substituenți variați în poziția 6 ( $1537 - 1592 \text{ cm}^{-1}$ ),<sup>109</sup> sau citosina și derivații ei ( $1600 - 1640 \text{ cm}^{-1}$ ).<sup>135</sup>

In cazul compușilor studiați de noi, aceste benzi sunt suprapuse cu benzile datorită vibrațiilor de schelet în quadrat al inelului benzenic.<sup>136</sup>

In regiunea  $1540 - 1570 \text{ cm}^{-1}$ , compușii noștri arată o bandă intensă. Această bandă pare să fie caracteristică structurii oxo-pirimidinei, apărind în cei mai mulți compuși de acest tip, ca 2,4-dioxo-1H,3H-pirimidine ( $1541 - 1545 \text{ cm}^{-1}$ ),<sup>135</sup> sau derivații citosinei ( $1535 - 1550 \text{ cm}^{-1}$ ).<sup>135</sup> Această bandă este deplasată din spectrul citosinei prin deuterare sau substituția hidrogenului la N-1 și a fost atribuită unei vibrații de deformare NH în plan.<sup>135</sup>

In regiunea  $820 - 850 \text{ cm}^{-1}$ , banda intensă a fost atribuită unei vibrații de deformare în afara planului. Ea apare în regiunea  $780 - 800 \text{ cm}^{-1}$ , pentru derivații citosinei și poate fi deplasată prin deuterare sau metil-substituire.<sup>135</sup>

Vibrațiile  $\text{NH}_2$  de valență simetrice și asimetrice, care apar în spectrul infraroșu al amino-1,3,5-triazinelor între  $3000 - 3400 \text{ cm}^{-1}$ ,<sup>100,109,110</sup> citosinei

și derivaților ei între  $3100 - 3370 \text{ cm}^{-1}$ <sup>135</sup> sau 4-amino-2-aryl-6-oxo-1H,3H-1,3,5-triazinelor între  $3100 - 3370 \text{ cm}^{-1}$  au fost atribuite două benzi în regiunile  $3310 - 3400 \text{ cm}^{-1}$  și  $3070 - 3180 \text{ cm}^{-1}$ .

Vibratiile de valență NH apar la amidine între  $3100 - 3250 \text{ cm}^{-1}$  106,107,111 și la acidul cianuric și bazele cianurice între  $3000 - 3200 \text{ cm}^{-1}$ . 96,98,99,100 Domenii mai joase pentru aceste vibratii au fost propuse pentru grupe NH puternic asociate prin legături de hidrogen ( $2810 - 3100 \text{ cm}^{-1}$ ), pentru 4-amino-2-aryl-6-oxo-1H,3H-1,3,5-triazine<sup>92</sup> sau derivații citosinei.<sup>135</sup>

In baza celor discutate, noi putem admite că în rețeaua cristalină compusii studiați sunt în forma unui amino-oxo-tautomer puternic asociat prin legături de hidrogen .

### 3.2.3.- Calcule de orbitali moleculari prin metoda Hückel <sup>134</sup>

Structurile electronice a heterociclicilor cu azot cu caracter aromatic au fost studiate de mai mulți autori folosind fie metode de orbitali moleculari simple, fie unele metode mai sofisticate. Aceste studii sunt fără

doar și poate datorate importanței teoretice a problemei precum și faptului că heterociclii cu azot sunt cunoscuți ca molecule de un interes biochimic special.<sup>137-140</sup>

Este unanim recunoscut, că calculele de orbitali moleculari prin metoda Hückel (HMO), furnizează informații teoretice foarte folositoare pentru precizarea proprietăților stării fundamentale ale unor variante molecule conjugate, în ciuda simplificărilor ei drastice.

Au fost obținute corelații bune între energiile orbitalilor moleculari prin metoda Hückel și lungimile de undă ale benzilor de absorbție în ultraviolet-vizibil, pentru hidrocarburi aromatice și azine<sup>141,142</sup>, deși această teorie nu ia în considerație explicit ci numai implicit, repulsiile electronice. Potențialele de semiundă ale azinelor au fost cu succes corelate cu energiile primilor orbitali liberi.<sup>143</sup> Lungimile legăturilor pot fi calculate folosind relațiile Coulson între lungimile de legătură și ordinul de legătură pentru hidrocarburi și azine.<sup>144</sup>

O simplă parametrizare a energiilor orbitalilor, bazate pe modele de tip HMO pentru combinațiile liniare de orbitali și electronii neparticipanți este în excelentă concordanță cu pozițiile benzilor în spectrele fotoelectronice al unor azabenzeni și azenaftalene.<sup>145</sup>

Factorii care afectează echilibrul tautomer al hidroxi-azo-derivațiilor aromatici,<sup>146</sup> ca și al hidroxi- și amino-azinelor,<sup>147,148</sup> au fost tratați

prin metoda HMO folosind diferența energiilor de legătură ca un criteriu al stabilității tautomerilor. Rezultatele sunt în bună concordanță cu datele experimentale pentru toți compușii studiați.

In prezentă teză calculele de orbitali moleculari prin metoda Hückel, au fost făcute pentru cei mai probabili tautomeri ai 2-amino-4-aryl-6-oxo-1H-1,3,5-triazinelor în vederea discuției echilibrelor tautomere, interpretării spectrelor de absorbție în UV și a stabilirii unor corelații cu potențialele de semiundă.

Calculele Hückel înlătăruiesc includerea formală a repulsiilor interelectronice în hamiltonienii din metoda SCF cu valori empirice pentru integralele Coulombiene și de rezonanță.<sup>137-140</sup> Astfel valorile empirice sunt exprimate ca funcții ale lui  $\alpha_0$  și respectiv  $\beta_0$  (integrala coulombiană și integrala de rezonanță a unui carbon  $sp^2$  în benzen pentru o legătură aromatică C-C de o lungime aproximativă de 1,39 Å).

Funcțiile sunt date ca :

$$\alpha_x = \alpha_0 + h_x \beta_0 \quad /1/$$

$$\beta_{cx} = k_{cx} \beta_0 \quad /2/$$

unde  $h_x$  și  $k_{cx}$  sunt parametrii determinați empiric ai atomului și respectiv legăturii.

In calculele prezente au fost folosiți parametrii empirici  $h_x$  și  $k_{cx}$  a lui G. Derflinger și H. Lischka.<sup>149</sup>

Acești parametrii au fost obținuți prin procedeul iterativ al celor mai mici patrate din spectrele ultraviolete a 88 compuși aromatici monociclici cu toate cele 146 de benzi electronice, iar valorile lor sunt prezentate în tabela 19 .

T a b e l a 19

Parametrii folosiți  $h_x$  și  $k_{C-X}$  determinați empiric

$h_x$		$k_{C-X}$	
$h_F$	2,84	$k_{C-F}$	0,68
$h_{Cl}$	1,45	$k_{C-Cl}$	0,57
$h_{Br}$	1,16	$k_{C-Br}$	0,58
$h_O$	1,20	$k_{C=O}$	1,93
$h_{O-CH}$	1,96	$k_{C-O}$	1,31
$h_N$	0,83	$k_{C=N}$	1,06
$h_N$	1,47	$k_{C-N}$	1,30
$h_{CH_3}^*$	0,88	$k_{C-CH_3}$	0,18
		$k_{N-O}$	1,95

\*<sup>1</sup>  $CH_3$  este efectiv înlocuit de un singur heteroatom care donează doi electroni sistemului  $\pi$  .

Soluții ale matricelor Hückel, care neglijeaază între-pătrunderea, au fost obținute cu ajutorul unui calculator numeric, folosind un program scris în fortran 63 (QCPE - 110). Acest program efectuează calcule Hückel standard cum sunt energiile orbitalilor, funcțiile proprii, energia totală, energia de delocalizare, ordinele de legătură, lungimile de legătură și densitățile electronice. Programul mai calculează și noi integrale Coulombiene  $\propto$  din densitățile de electroni prin tehnica  $\omega$  folosind relația:

$$\alpha_r = \alpha_0 + (1 - g_r) 1,4 \beta_0 \quad /3/$$

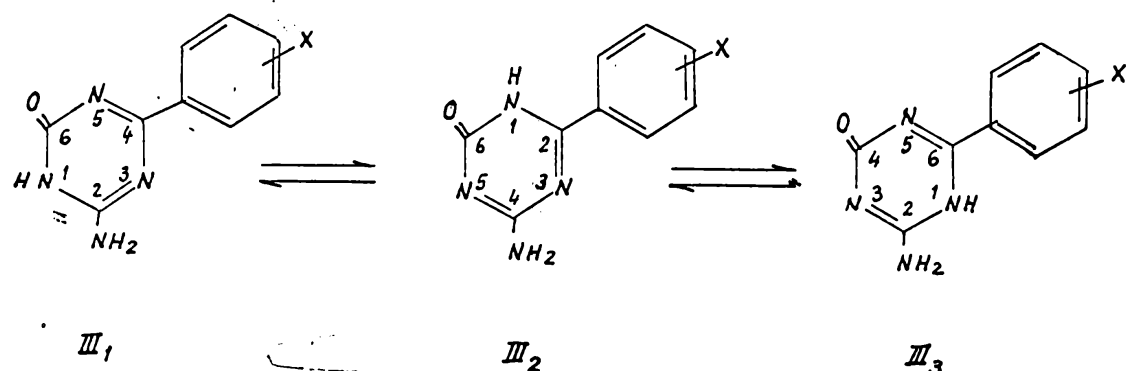
unde  $g_r$  sunt densitățile de electroni.

Mărurile de mai sus pot fi apoi calculate din nou prin iteratii pînă se ajunge la o self-consistență.

### 3.2.3.1.- Energia $\tilde{\pi}$ totală. Energia de legătură și tautomeria. 134

Așa cum a fost arătat la interpretarea spectrelor în infraroșu, compușii studiați adoptă în rețeaua cristalină structura amino-oxo- .

In soluție există probabil un echilibru între următorii tautomeri :



Pentru a preciza stabilitatea relativă a formelor tautomerice în cadrul metodei HMO, s-a făcut uz de noțiunea energiei de legătură, definită prin ecuația /4/ 150 :

$$E_B = E_{\pi} - E'_{\pi} \quad /4/$$

unde  $E_{\pi}$  este energia totală a electronilor  $\pi$  calculată de program și  $E'_{\pi}$  este energia electronilor  $\pi$  localizati pe orbitalii p atomici. Aceasta este :

$$E'_{\pi} = \sum_i^n S_i \alpha_i \quad /5/$$

unde n este numărul atomilor,  $S_i$  este numărul electronilor dați de atomul i sistemului  $\pi$  și  $\alpha_i$  este integrala Coulomb pentru atomul i.

Energia de legătură apare mai bine justificată 146, 150-152, decât energia de delocalizare folosită frecvent <sup>137</sup> pentru caracterizarea tautomerilor, dată fiind neșiguranță în definirea structurilor corecte de rezonanță. Pentru o pereche dată de tautomeri, este suficient

să se compare energiile de legătură a celor doi tautomeri pentru a stabili care dintre ei este mai stabil.

Tabela 20 prezintă energiile  $\overline{H}$  totale, energiile localizate și energiile de legătură, precum și diferențele dintre energiile de legătură a tautomerilor calculați prin metoda HMO simplă și HMO  $\omega$ .

Așa cum poate fi văzut, diferențele dintre energiile  $\overline{H}$  totale, calculate prin metodele HMO simple și HMO sunt destul de mici ( $\sim 0,1 + 0,3 \beta_0$ ).

Conform ambelor metode, HMO simplă și HMO  $\omega$ , tautomerul III<sub>1</sub> este cel mai stabil. Diferențele de energie sunt mai mici prin calculele HMO (III<sub>1</sub> - III<sub>2</sub>  $\sim 0,015 \beta_0 \sim 0,45$  kcal/mol, III<sub>1</sub> - III<sub>3</sub>  $\sim 0,005 \beta_0 \sim 0,15$  kcal/mol \*) decât prin cele HMO  $\omega$  (III<sub>1</sub> - III<sub>2</sub>  $\sim 0,066 \beta_0$  \*) se ia  $\beta_0 = -30$  kcal/mol (vezi discuția de la 3.2.5.1)  $\sim 1,98$  kcal/mol, III<sub>1</sub> - III<sub>3</sub>  $\sim 0,092 \beta_0 \sim 2,76$  kcal/mol). Bineînțeles, tautomerii III<sub>1</sub> sunt, de asemenea, mai apti să dea asociatii moleculare (vezi spectrele infraroșii), precum și asociatii cu moleculele de solvent prin legături de hidrogen decât ceilalți tautomeri (energia legăturii de hidrogen fiind de 1 + 2 kcal/mol pentru legătura N-H...O, respectiv 5 + 6 kcal/mol pentru legături de hidrogen chelatice duble în acizii carboxilici). <sup>153</sup> Este evident că în soluție tautomerul III<sub>1</sub> predomină net.

Tableau 20

Energile de legătură a celor mai probabili tautomeri

Compus	Nr.	H	pMe	Me	pF	Flu	pCl	pCl	pBr	pBr	pI	pI	pOC <sub>2</sub>	
subst.	n	16	18	18	18	18	18	18	18	18	18	18	20	
Tautomer	*	29,165	30,941	3,940	34,964	34,957	32,193	32,184	31,549	31,544	33,658	32,766	40,142	
III <sub>1</sub> H <sub>2</sub> O	E <sub>F</sub> *)	8,72	10,48	10,48	14,40	14,40	11,60	11,62	11,04	11,04	12,64	11,66	14,02	
E <sub>B</sub>	20,445	20,461	20,460	20,564	20,557	20,573	20,564	20,509	20,504	21,018	21,106	26,122		
ω H <sub>2</sub> O	E <sub>F</sub> *)	28,922	30,709	30,707	34,754	34,751	32,004	31,998	31,359	31,335	33,543	32,677	39,415	
E <sub>F</sub> **)	9,482	11,246	11,253	15,205	15,202	12,449	12,443	11,844	11,839	13,603	12,682	15,675		
E <sub>B</sub> **)	19,440	19,463	19,454	19,549	19,555	19,555	19,549	19,495	19,496	19,940	19,995	23,790		
Tautomer														
III <sub>2</sub>	H <sub>2</sub> O	E <sub>F</sub>	29,150	30,927	30,925	34,950	34,943	32,180	32,169	31,505	31,530	33,645	32,753	40,127
E <sub>F</sub>	8,72	10,48	10,48	14,40	14,40	11,62	11,62	11,04	11,04	12,64	11,66	14,C2		
E <sub>B</sub>	20,430	20,447	20,445	20,550	20,543	20,560	20,549	20,495	20,490	21,005	21,023	26,107		
ω H <sub>2</sub> O	E <sub>F</sub>	23,850	30,638	30,636	34,634	34,630	31,936	31,928	31,270	31,264	33,480	32,616	39,545	
E <sub>F</sub> **)	9,476	11,248	11,245	15,195	15,196	12,439	12,440	11,838	11,831	13,597	12,671	15,624		
E <sub>B</sub>	19,374	19,390	19,391	19,482	19,482	19,487	19,487	19,432	19,433	19,683	19,683	23,721		

Tabel 20

( continutul)

Concurs nr.	H	pH <sub>e</sub>	mN <sub>e</sub>	pI <sup>1</sup>	mI <sup>1</sup>	PCl	mCl	pBr	mBr	pMe <sub>2</sub> O	pMe <sub>2</sub> C <sub>2</sub>
subet.	16	18	18	18	18	18	18	18	18	18	20
n											
Tensiunea											
III <sub>2</sub>	E <sub>III</sub> O	E <sub>J</sub>	29,160-30,937	30,936	34,960	34,953	32,90	32,180	31,545	31,540	33,655
	E <sub>I</sub>	E <sub>J</sub>	8,72	10,48	10,48	14,40	14,40	11,62	11,62	11,04	11,04
	E <sub>II</sub>	E <sub>J</sub>	20,440	20,457	20,456	20,560	20,553	20,570	20,560	20,500	21,015
ω <sub>III</sub> O	E <sub>III</sub> O	E <sub>J</sub>	28,864	30,652	30,650	34,696	34,691	31,941	31,283	31,278	33,490
	E <sub>J</sub> <sup>**</sup> )	E <sub>J</sub>	9,516	11,286	11,287	15,235	15,232	12,476	12,471	11,870	13,634
	E <sub>B</sub>	E <sub>B</sub> · 10 <sup>-3</sup>	19,343	19,366	19,363	19,461	19,462	19,471	19,470	19,408	19,856
H <sub>NO</sub> III <sub>1</sub> -III <sub>2</sub>		15	14	15	14	14	13	15	14	14	15
III <sub>1</sub> -III <sub>3</sub>		5	4	5	4	4	3	5	4	4	5
ω H <sub>NO</sub> III <sub>1</sub> -III <sub>2</sub>		66	73	63	60	67	58	67	63	63	69
III <sub>1</sub> -III <sub>3</sub>		92	97	91	88	97	94	85	81	88	71

\*) E<sub>J</sub>, E<sub>B</sub> și E<sub>B</sub> sunt exprimate în velori  $\beta_0$ .

\*\*) E<sub>J</sub> au fost constante după 6 iteratii cu valori  $\beta_0 = 0,0002$ .

3.2.3.2.- Energiile de tranziție și spectrele  
în ultraviolet <sup>134</sup>

Spectrele în ultraviolet a 2-amino-4-aryl-6-oxo-  
-1H-1,3,5-triazinelor substituite, au fost obținute în  
metanol ( $1 \cdot 10^{-4}$  mol/l), cu un spectrograf UV Unicam  
SP 800 , de la 200 la 800 nm . Tabela 21 cuprinde  
frecvențele de absorbție pentru toți compușii studiați.  
Nivelele de energie, în unități  $\beta_0$  , calculate prin me-  
toda Hückel pentru orbitalul ocupat de energia cea mai  
înaltă ( Nr 0 ), orbitalul penultim ocupat (Nr 1 ) și  
orbitalul liber de cea mai joasă energie (Nr.-1), sînt  
de asemenea, date în tabela 21 .

Tranziția  $\pi - \pi^*$  cea mai joasă, este considerată  
a corespunde trecerii unui electron al orbitalului ocu-  
pat de energia cea mai înaltă, la orbitalul liber de  
energia cea mai joasă (  $0 \rightarrow -1$  ) și se presupune că  
reprezintă banda p . <sup>137,142,154</sup> Similar, o trecere a  
unui electron de pe orbitalul penultim ocupat pe orbita-  
lul liber de energie cea mai joasă (  $1 \rightarrow -1$  ) , se  
presupune că reprezintă banda  $\beta$  . <sup>137,142</sup> Energiile  
în eV au fost calculate folosind relația Wohl <sup>142</sup> :

$$\Delta E_{\beta} = 2,5550 \Delta \beta (1 \rightarrow -1) + 1,4111 \text{ pentru banda } \beta / 6 /$$

$$\Delta E_p = 2,6582 \Delta \beta (0 \rightarrow -1) + 0,9062 \text{ pentru banda p } / 7 /$$

și lungimea de undă a absorbției :

Dividele empirice (in nm)		Valori experimentale pentru tranzisiile electronice (in nm)						
Compoz.	Subst.	1	2	3	4	5	6	7
Compoz.	H	plate	mac	PF	MF	PCl	MnCl	PdCl <sub>2</sub>
Tautomer III <sub>1</sub>	Nivel +1	-0,572	-0,575	-0,572	-0,593	-0,574	-0,597	-0,573
	0	0,954	0,825	0,823	0,915	0,919	0,844	0,834
	-1	0,994	0,959	0,955	0,966	0,957	0,963	0,955
Tautomer III <sub>2</sub>	Nivel +1	-0,575	-0,578	-0,575	-0,596	-0,576	-0,577	-0,583
	0	0,940	0,826	0,823	0,901	0,913	0,840	0,834
	-1	1,000	0,970	0,944	1,000	0,955	1,000	0,947
Tautomer III <sub>3</sub>	Nivel +1	-0,573	-0,576	-0,573	-0,594	-0,574	-0,598	-0,575
	0	0,968	0,825	0,822	0,918	0,918	0,841	0,834
	-1	1,000	1,000	0,973	1,000	0,976	1,000	0,974
Tranzitii $\alpha$	Experimental	252	267	257	270	256	268	273
	Tautomer III <sub>1</sub>	250	269	269	267	255	264	262
	Tautomer III <sub>2</sub>	252	267	269	254	255	262	268
	Tautomer III <sub>3</sub>	249	269	269	253	255	264	263
Tranzitii $\beta$	Experimental	(211)*	(212)*	(219)*	(212)*	248	(208)*	250
	Tautomer III <sub>1</sub>	230	233	235	230	233	230	235
	Tautomer III <sub>2</sub>	229	232	235	226	232	226	228
	Tautomer III <sub>3</sub>	229	228	231	226	231	226	231

\* Nu este sigur din cauza absorbției solventului

$$\lambda = \frac{1242}{\Delta E} / 8 /$$

Toate aceste rezultate calculate prin metoda HMO simplă, sunt prezentate în tabela 21 pentru cei trei tautomori studiați. Rezultatele similare obținute prin tehnica HMO ω nu sunt într-o astfel de bună concordanță cu valorile experimentale, așa că ele nu sunt date.

Intre cei trei tautomeri nu sunt diferențe importante privind tranzitiiile UV calculate, toți fiind în foarte bună concordanță cu rezultatele experimentale, cel puțin pentru tranzitiiile p. O excepție o constituie 2-amino-4-(4'-dimetilamino-fenil)-6-oxo-1H-1,3,5-triazina, care pare să aibă o structură diferită de a celorlalte.

Pentru exemplificare, redăm mai jos spectrul de absorbție în ultra violet a 2-amino-4-fenil-6-oxo-1H-1,3,5-triazinei, în mediu acid, neutru și bazic , figura 11 .

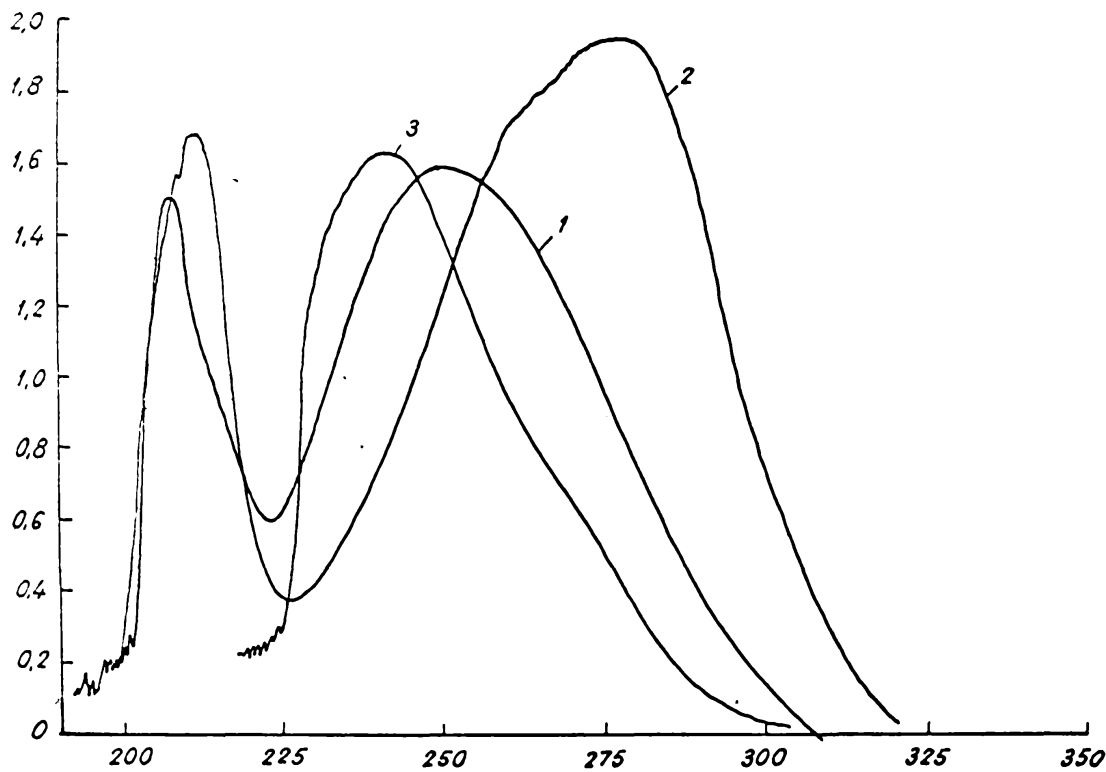
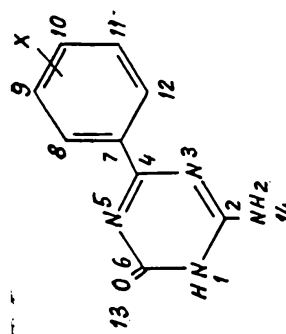


Fig. 11 - Spectrele de absorbție în ultra violet a 2-amino-4-fenil-6-oxo-1,3,5-triazinei :  
1 - în soluție metanolică ; 2 - în soluție metanolică de acid clorhidric 2 N ;  
3 - în soluție metanolică cu 40% apă și hidroxid de sodiu 2N .

3.2.3.3.- Densitățile electronice și ordinul de legătură 134

Tabela 22 prezintă densitățile electronice pentru 2-amino-4-aryl-6-oxo-1H-1,3,5-triazine și tabela 23 ordinul de legătură pentru unii din acești compuși.

T a b e l a 22

Densitățile de sarcină pentru 2-aminio-4-aryl-6-oxo-1H-1,3,5-triazine calculate prin metoda Mückel

Compus nr.	1	4	3	12	6	14	16	15	5	17	7
Substituent H	pMe	Me	pF	uF	pCl	mCl	pBr	mBr	pIeO	pIe <sub>2</sub> N	pNO <sub>2</sub>
Densitățile de sarcină pe atom											
1	1,621	1,621	1,622	1,622	1,623	1,622	1,622	1,622	1,624	1,625	1,621
2	0,697	0,697	0,697	0,697	0,697	0,697	0,697	0,697	0,698	0,698	0,696
3	1,498	1,499	1,499	1,501	1,498	1,501	1,498	1,500	1,498	1,509	1,54
4	0,740	0,741	0,740	0,742	0,740	0,743	0,740	0,742	0,740	0,750	0,740
5	1,515	1,516	1,515	1,518	1,515	1,519	1,515	1,517	1,515	1,529	1,533
6	0,769	0,769	0,769	0,769	0,769	0,769	0,769	0,769	0,769	0,769	0,768
7	1,021	1,024	1,021	1,035	1,020	1,039	1,020	1,031	1,020	1,085	1,037
8	0,959	0,959	0,963	0,958	0,932	0,958	0,986	0,959	0,973	0,955	0,956
9	1,001	1,005	0,999	1,023	0,971	1,027	0,976	1,015	0,990	1,093	1,105
10	0,965	0,963	0,963	0,969	0,934	0,937	0,940	0,991	0,954	0,879	0,982
11	1,051	1,055	1,001	1,023	1,030	1,027	1,030	1,015	1,001	1,092	1,105
12	0,957	0,959	0,962	0,958	0,958	0,974	0,958	0,958	0,970	0,955	0,958

$$(c_0 \frac{a}{n} b \frac{c}{t} i \frac{1}{n} u \frac{22}{r} e )$$

Compozit. rez. H prie mide pBr mif pCl pBr mifr prieU prieZM prieU2

Substanță densitate  
de sarcină

pe atom.

13	1,514	1,514	1,514	1,515	1,514	1,515	1,514	1,515	1,515	1,515	1,515
14	1,737	1,737	1,737	1,737	1,737	1,737	1,737	1,737	1,737	1,738	1,737
Total 1-5	6,840	6,843	6,842	6,849	6,841	6,852	6,841	6,847	6,841	6,879	6,832
Total 7-12	5,906	5,915	5,915	5,931	5,934	5,249	5,951	5,932	5,953	6,042	6,083
Total 1-14	15,994	16,099	16,008	16,032	16,026	16,053	16,043	16,031	16,025	16,173	15,930
$\Delta q^*)$	0	+0,015	+0,014	+0,038	+0,032	0,069	+0,037	+0,031	+0,179	+0,236	-0,064

\*  $\Delta q$  este diferența dintre densitatea de sarcină totală a compusilor substituiți și compusul nesubstituit.

T a b e l a 23

Ordinul de legătură pentru unele 2-amino-4-  
-fenil-6-oxo-1H-1,3,5-triazine calculat prin metoda

Hückel

Compusul nr. IIIA <sub>n</sub> n: 1		5	7
Substituent	H	pMeO	pNO <sub>2</sub>
<b>Legătura</b>			
1 - 2	0,533	0,532	0,533
2 - 3	0,493	0,496	0,493
3 - 4	0,578	0,567	0,579
4 - 5	0,619	0,607	0,622
5 - 6	0,400	0,403	0,400
6 - 1	0,423	0,423	0,424
4 - 7	0,373	0,403	0,368
7 - 8	0,617	0,597	0,615
8 - 9	0,677	0,705	0,683
9 - 10	0,659	0,584	0,619
10 - 11	0,659	0,584	0,619
11 - 12	0,677	0,705	0,683
12 - 7	0,617	0,597	0,615
6 - 13	1,765	1,764	1,765
2 - 14	0,580	0,579	0,580

Simetria repartiției electronice și caracterul de dublă legătură al tuturor legăturilor în sistemul triazinic, dovedește un caracter aromatic important în ciuda

asimetriei sale structurale a întregului sistem, datorită diversității resturilor atașate atomilor de carbon 2, 4 și 6 .

Densitatea totală de electroni a inelului benzenic este mai mică decât 6 și a inelelor 1,3,5-triazinice este 6,8 - 6,9 . Sistemul 1,3,5-triazinic este atrăgător de electroni, față de cel benzenic, deși transferul de electroni nu poate să fie prea important, având în vedere slabul caracter de dublă legătură al legăturii dintre cele două inele ( $C^4 - C^7$ ) .

Densitatea de electroni la atomul de oxigen (atomul 13) și ordinul de legătură al grupului carbonilic (legătura 6 - 13) sunt foarte importante . Densitatea electronică a grupului amino (atomul 14) este mai mică decât 2 și legătura C-N (legătura 2 - 14) are un ordin de legătură corespunzînd unei importante rezonanțe între acest grup și sistemul triazinic .

In consecință, poate fi admis că densitatea de electroni în sistemul 1,3,5-triazinic, este determinată, în principal, de efectul atrăgător al oxigenului carbonilic și de cel respingător al azotului aminic și numai în subsidiar de inelul benzenic și de substituenții lui .

Cele mai mici densități electronice sunt la atomii de carbon de la sistemul 1,3,5-triazinic , în special la atomii 2 și 4 , ceea ce presupune că acești atomi ar accepta primul electron în procesul de reducere .

3.2.4.- Reducerea polarografică în clasa benzoguanidelor (III A)

3.2.4.1.- Reducerea polarografică a compusului fundamental, ne substituit (benzoguanida III A<sub>1</sub>) : mecanismul de reacție <sup>119</sup>

Deși se cunosc din literatură foarte multe lucrări de electrochimie, privind compușii heterociclici cu azot,<sup>155-160</sup> 1,3,5-triazinele sub acest aspect au fost mult prea puțin studiate în contrast cu interesul mare pe care îñ mod notoriu, îñ prezintă acest tip de compuși heterocyclici sub ambele raporturi, teoretic și aplicativ.<sup>7-34</sup> Astfel, sînt descrise doar unele lucrări analitice<sup>161-166</sup> sau fenomene de adsorbție pe electrod a unor 1,3,5-triazine, fie cu structură mai simplă,<sup>167</sup> fie cu una mai complexă<sup>168-173</sup> sau studiul unor izomeri cis-trans din acestă clasă.<sup>174</sup> Doar unele lucrări privind studii de mecanisme de reacție sau corelări ale proprietăților electrochimice cu structura și reactivitatea, au folosit, printre diverse alte azine și 1,3,5-triazina nesubstituită.<sup>143,175,176</sup> În sfîrșit, o singură lucrare tratată, foarte îñ treacăt și sumar, reducerea electrochimică a 5-azauracilului (formoguanamidei) și a 5-aza-citosinei (formoguanidei), pe lîngă studiul comportării polarografice a unei serii de 6- și 5-aza-analogi ai

pirimidinelor.<sup>177</sup> La pH = 7 față de electrodul de KCl 1 N la 25°C autorul constată pentru aceasta o reducere bielectronică în primul caz și una tetraelectronică (cu eliminare de NH<sub>3</sub>), în cel de al doilea.

In prezența teză s-a studiat reducerea polarografică a benzoguanidei la electrodul de mercur picurător, în soluție tampon după Britton și Robinson (current folosită în astfel de studii) cu adăugare de 10% N,N-dimetil-formamidă pentru dizolvarea substanței. S-a operat de regulă la temperatura camerei. Când a fost necesar (vezi mai departe), s-a recurs la termostatare (25,0 ± 0,1°C).

In vederea elucidării mecanismului de reacție, s-au executat, de asemenea, determinări culoximetrice, electroliză la potențial de electrod controlat, suplimentate de analiza cromatografică în strat subțire a soluției electrolizate, precum și de studiul spectroscopic în ultraviolet a soluției inițiale.

### 3.2.4.1.1.- Fenomenele de adsorbție

Fenomenele de adsorbție ce au loc pe suprafața electrodului, pot fi studiate calitativ și cantitativ prin măsurarea tensiunii superficiale între electrodul de mercur picurător și electrolitul suport.<sup>178</sup> Metoda ușoară adecvată pentru urmărirea schimbării tensiunii superficiale, constă în examinarea curbei electrocapilare

a mercurului în prezență substanței superficiale active  $^{178}-180$ . S-a demonstrat că filmul de adsorbție format pe suprafața electrodului din moleculele adsorbite ale formei oxidate sau reduse ale depolarizantului, poate să exerce diferențiate efecte asupra desfășurării normale a procesului de electrod. $^{181}-187$

Pentru a urmări și interpreta fenomenele de adsorbție, în cazul benzoguanidei, s-au trase curbele electrocapilare la valori ale pH-ului de 2,12 și 9,7, figurile 12 și 13.

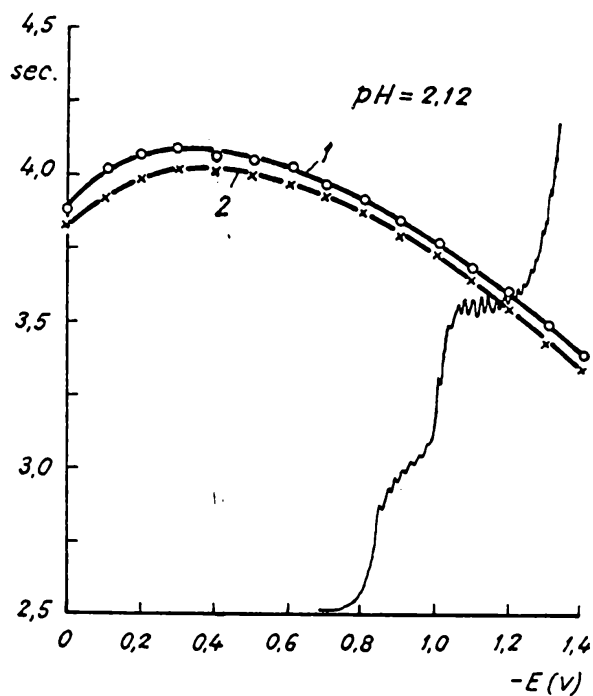


Fig. 12 - Adsorbția la  $pH = 2,12$  ( $C = 5 \cdot 10^{-4} M \cdot l^{-1}$ )

Curba 1 - fără depolarizant ,

Curba 2 - cu depolarizant .

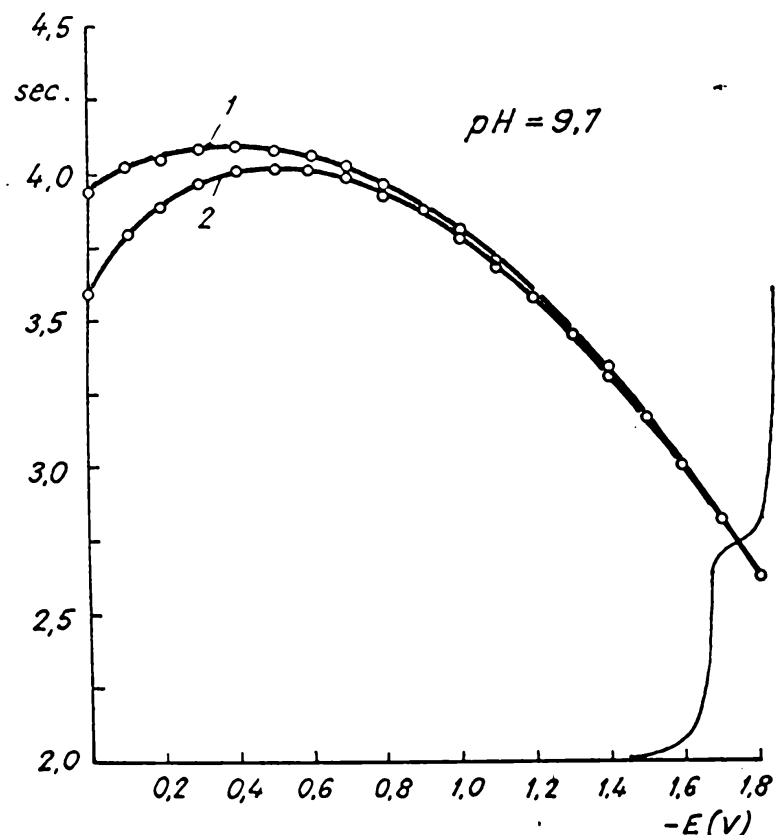


Fig. 13 - Adsorbția la  $pH = 9,7$

( $C = 5 \cdot 10^{-4}$  Mol.l $^{-1}$  )

Curba 1 - fără depolarizant

Curba 2 - cu depolarizant

Pentru a se oferi posibilitatea unei comparări pe aceste figuri, lîngă curbele electrocapilare sunt reprezentate și polarogramele obținute în aceleasi condiții .

Din examinarea comparativă a curbelor electrocapilare cu (2) și fără depolarizant (1), la cele două valori de pH , reiese că o adsorbție sesizabilă se constată doar în mediu acid, la concentrații egale sau mai mari decât  $5 \cdot 10^{-4}$  mol.l<sup>-1</sup> . Dar nici această adsorbție la pH = 2,12 , nu joacă nici un rol în ceea ce privește natura undelor polarografice, deoarece curba electrocapilară cu depolarizant (2) nu prezintă nici un salt.<sup>179,187</sup> Pe de altă parte și la concentrații mai mici ( exemplu  $2 \cdot 10^{-4}$  mol.l<sup>-1</sup> ) forma polarogramei este aceeași ( două unde la pH = 2,12 ) , deși la această concentrație nu apar fenomene de adsorbție pe curba electrocapilară.

### 3.2.4.1.2.- Dependența curentului de concentrația depolarizantului

Din ecuația lui Ilkovic , care exprimă mărimea curentului de difuziune  $\bar{i}_d /A/$  :

$$\bar{i}_d = 0,627 \cdot n \cdot F \cdot c \cdot D^{1/2} \cdot m^{2/3} \cdot t_1^{1/6} \quad /9/$$

în funcție de :

n = numărul de electroni participanți la reacție

F = constanta Faraday

c = concentrația/mol.cm<sup>-3</sup>/

D = coeficientul de difuziune /cm<sup>2</sup>.sec<sup>-1</sup>/

m = viteza de scurgere /g.sec<sup>-1</sup>/

t<sub>1</sub> = timpul de picurare /sec/

se constată că lucrînd cu aceeași capilară și folosind aceeași înălțime a rezervorului de mercur, toți factorii din mebrul drept sunt constanți în afară de concentrație.  
In acest caz relația /9/ , devine :

$$\bar{i}_d = \bar{K} \cdot c \quad /10/$$

unde :

$$\bar{K} = 0,627 \cdot n \cdot F \cdot D^{1/2} \cdot m^{2/3} \cdot t_1^{1/6}$$

cste constanta lui Ilkovič ; sau cu alte cuvinte, curentul de difuziune este direct proporțional cu concentrația pentru un compus dat. 184 b

In cadrul lucrării am studiat dependența curentului limită, față de concentrația benzoguanidei ( $5 \cdot 10^{-5}$  +  $5 \cdot 10^{-4}$  mol.l<sup>-1</sup> ), la pH = 2,25 , 6,75 și 9,90 .

In mediu acid , pH = 2,25 , reducerea benzoguanidei are loc în două trepte . Intensitatea curentului limită pentru fiecare undă luată în parte, este funcție liniară de concentrația depolarizantului, aşa după cum se vede

din figura 14 .

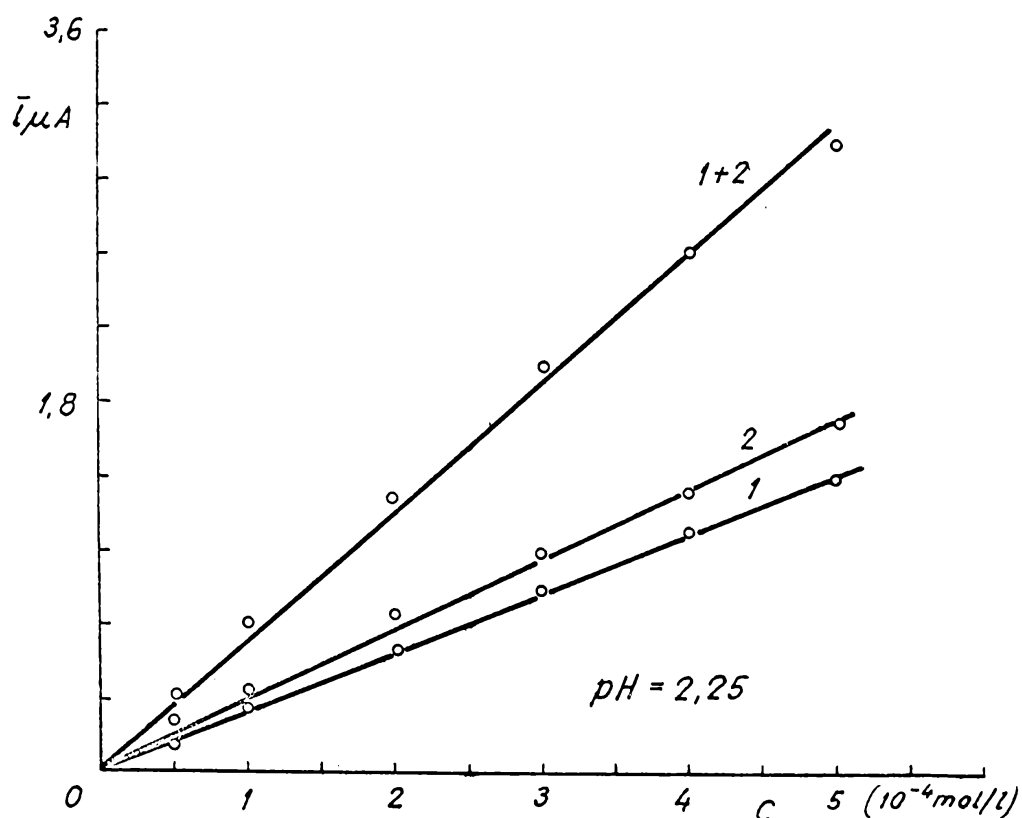


Fig. 14 - Dependența curentului de difuziune  
de concentrația depolarizantului

La celelalte valori de  $pH = 6,75$  și  $9,90$  reducerea polarografică are loc într-o singură treaptă. Si în aceste cazuri valorile curenților limită luate separat pentru fiecare polarogramă, se înscriu pe o dreaptă în funcție de concentrația depolarizantului

conform figurii 15 :

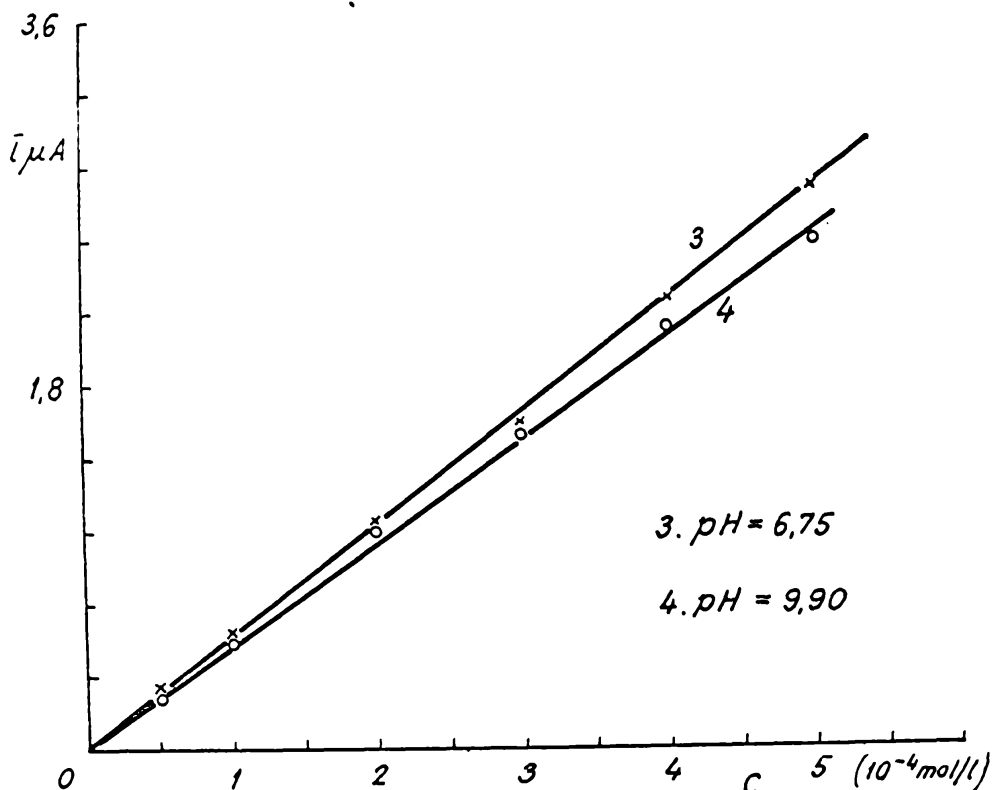


Fig. 15 - Dependența curentului de difuziune de concentrația depolarizantului

Se constată deci, că în toate cele trei medii, acid, neutru și alcalin, ecuația lui Ilkovič în forma /10/ se verifică ; cu alte cuvinte, curentul la reducerea benzo-guanidei este controlat sau reglat de difuziune, este un curent de difuziune .

### 3.2.4.1.3.- Dependența curentului de înălțimea coloanei de mercur

Dacă menținem constantă concentrația substanței și variăm înălțimea coloanei de mercur, în mod simultan se schimbă valoarea constantelor  $m$  și  $t_1$  ale capilarei. Însemnând cu  $h$  înălțimea coloanei,  $m$  este direct proporțional, iar  $t_1$  invers proporțional cu  $h$  :

$$m = k' \cdot h \quad /11/$$

$$t_1 = k'' \cdot \frac{1}{h} \quad /12/$$

Făcind substituțiile cuvenite, ecuația lui Ilkovič devine 184 c :

$$\bar{i}_d = k \sqrt{h} \quad /13/$$

Această relație a stat la baza studiului influenței înălțimii coloanei de mercur asupra curentului limită în cazul reducerii benzoguanidei.

Așa după cum rezultă din figura 16 ( $pH = 2,25$ ) și din figura 17 (pentru  $pH = 6,75$  și  $9,9$ ), curentul limită este direct proporțional cu rădăcina patrată a înălțimii coloanei de mercur. Astfel din nou se verifică valabilitatea ecuației lui Ilkovic în cazul

reducerii benzoguanidei și implicit caracterul de difuziune al curentului .

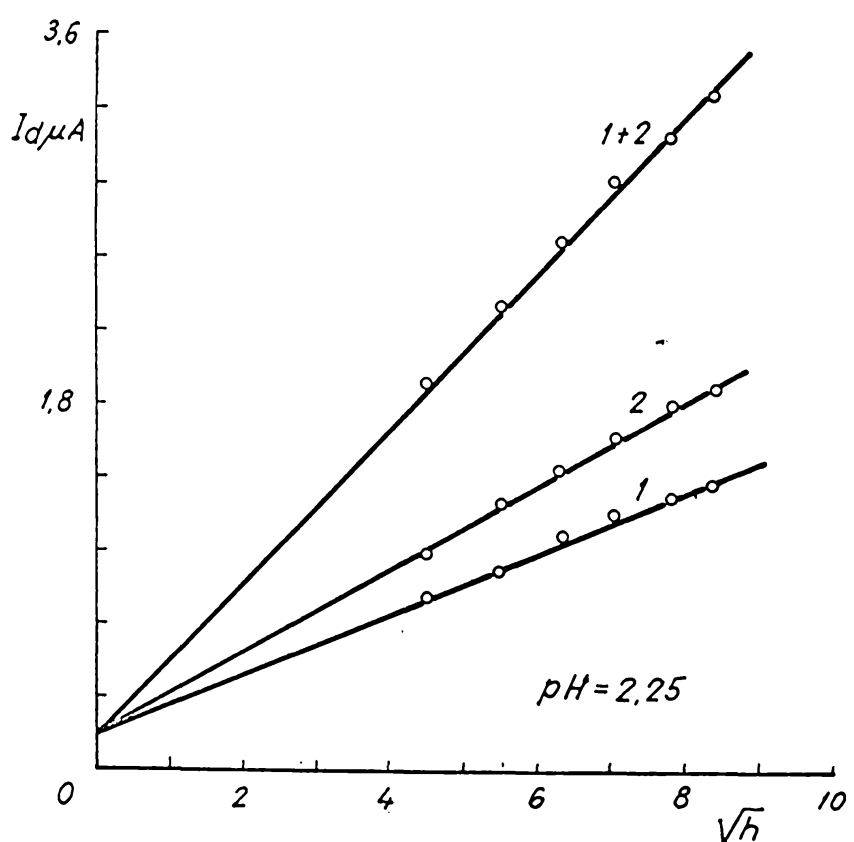


Fig. 16 - Dependența curentului de difuziune  
de înălțimea coloanei de mercur

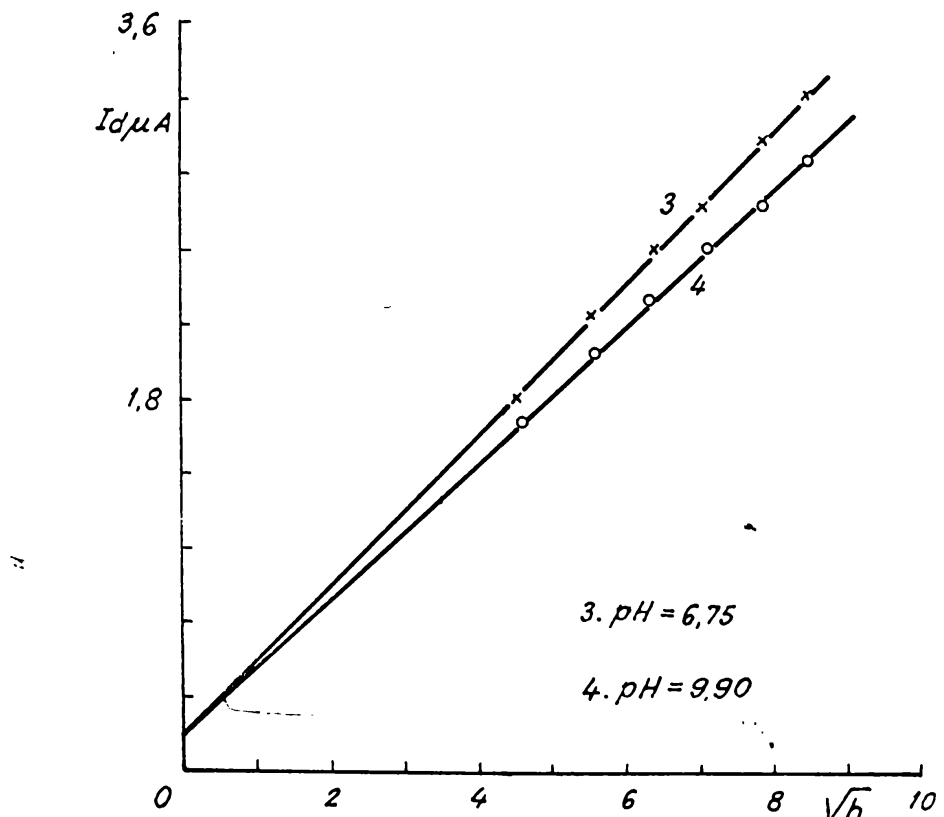


Fig. 17 - Dependența curentului de difuziune  
de înălțimea coloanei de mercur

#### 3.2.4.1.4.- Influența temperaturii asupra curentului de difuziune

Studiul influenței temperaturii asupra curentului limită, în cazul reducerii benzoguanidei, se bazează pe următoarea relație 184 b :

$$\omega = \frac{2,303}{\Delta T} \log \frac{i_2}{i_1} \quad /14/$$

unde :  $\omega$  - este coeficientul de temperatură / %/ $^{\circ}\text{C}$  /

$i_1$  - este curentul la temperatura inițială

$i_2$  - este curentul la temperatura mărită

Din figurile 18 și 19 se poate vedea dependența curentului limită față de temperatură .

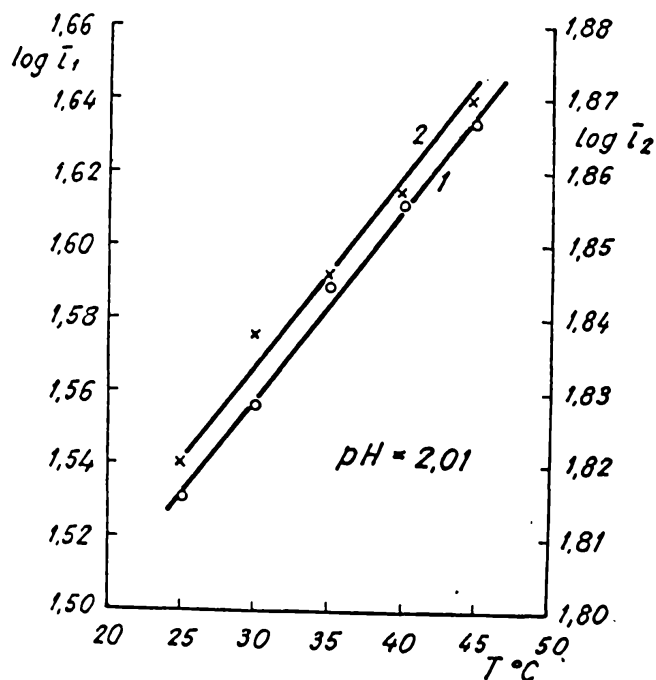


Fig. 18 - Dependența curentului de difuziune  
față de temperatură .

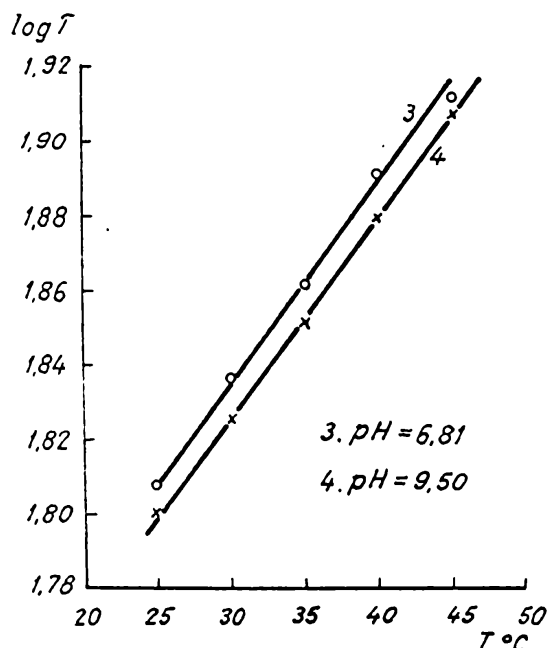


Fig. 19 - Dependența curentului de difuziune  
față de temperatură .

Valorile coeficienților de temperatură în cele  
trei medii sunt următoarele :

$$pH = 2,01 \quad \omega_{d_1} = 1,17 \text{ \%}/^{\circ}\text{C} ;$$

$$\omega_{d_2} = 0,56 \text{ \%}/^{\circ}\text{C} ; \quad pH = 6,81 \quad \omega_{d_3} = 1,17 \text{ \%}/^{\circ}\text{C} ;$$

$$\text{iar pentru } pH = 9,50 \quad \omega_{d_4} = 1,25 \text{ \%}/^{\circ}\text{C} .$$

Se observă că la cea de a doua undă polarografică ( $\text{pH} = 2,01$ ) , curentul limită depinde doar puțin de temperatură ( coeficientul de temperatură este  $+0,56 \text{ \%}/^\circ\text{C}$  ) . În literatură se mai cunosc cazuri similare de coeficient de temperatură subunitar și la alți heterociclii cu azot.<sup>188</sup> În toate celelalte cazuri ( $\text{pH} = 6,81$  și  $9,5$ ) , valorile coeficientilor de temperatură variază între  $1,17 - 1,25 \text{ \%}/^\circ\text{C}$  .

Prin aceste determinări avem o dovadă în plus a caracterului de difuziune al curentului limită în cazul reducerii polarografice a benzoguanidei .

#### 3.2.4.1.5.- Determinarea numărului de electroni ( n )

Determinarea numărului de electroni ( n ) , participanți la procesul de reducere al benzoguanidei s-a făcut prin metoda culometrică, folosind un electrod de mercur cu suprafață mare, la potențial controlat . Formula de calcul are la bază legea lui Faraday<sup>184 d</sup> :

$$n = \frac{c_s - c_e}{(1 - \frac{h_2}{h_1}) c_1 V F} /15/$$

- 107 -

unde :

$C_s$  = coulombi , pentru soluția cu depolarizant

$C_E$  = coulombi , pentru electrolitul de bază

$C_l$  = concentrația soluției /mol.l<sup>-1</sup>/

$i_l$  = curentul limită după electroliză /mA /

V = volumul soluției (în litri)

Pentru electroliză s-a folosit cîte 1 ml soluție de benzoguanidă  $5 \cdot 10^{-4}$  mol.l<sup>-1</sup> în tampon , după Britton și Robinson , cu 10 % DMF .

La pH = 2,25 , valorile curentilor limită au fost măsurate după polarogramele din figura 20 .

$$n = \frac{0,050 - 0,012}{(1 - \frac{69}{128}) 5 \cdot 10^{-4} \cdot 10^{-3} \cdot 9,65 \cdot 10^4}$$

$$n = 1,71$$

adică pentru fiecare undă un electron .

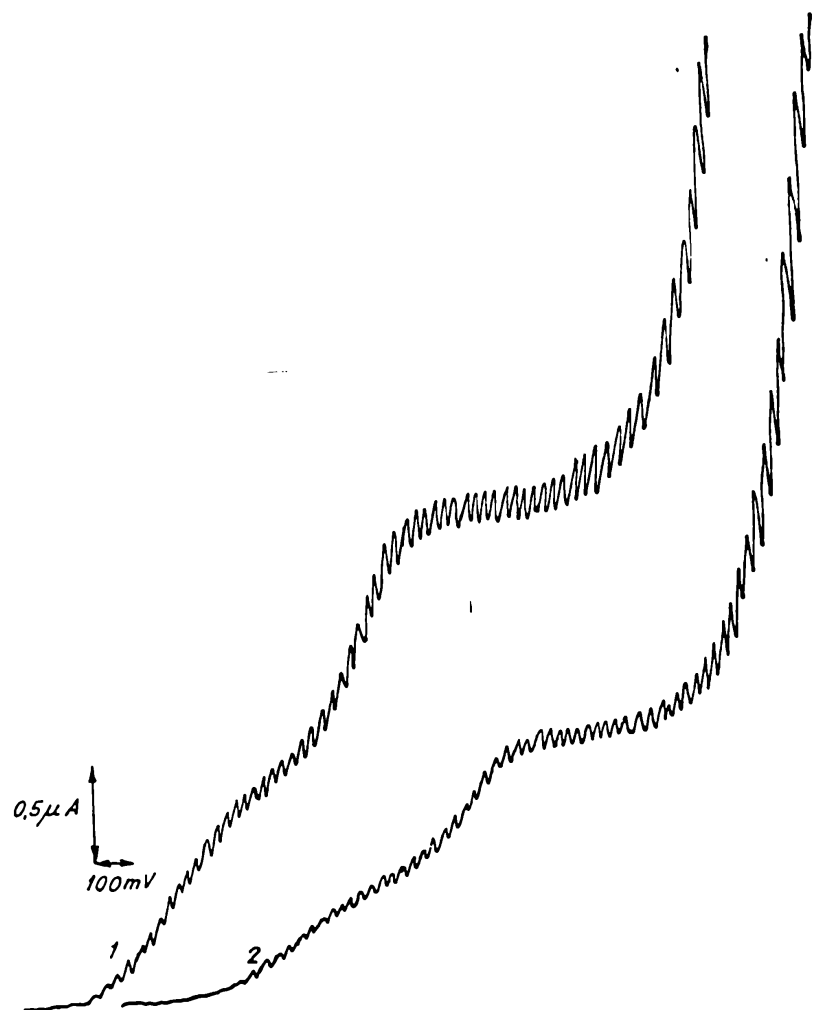


Fig. 20 - 1. Polarograma înainte de electroliză .  
2. Polarograma după electroliză .

La valoarea  $pH = 9,9$  măsurarea curentilor limită a fost făcută după polarogramele din figura 21 .

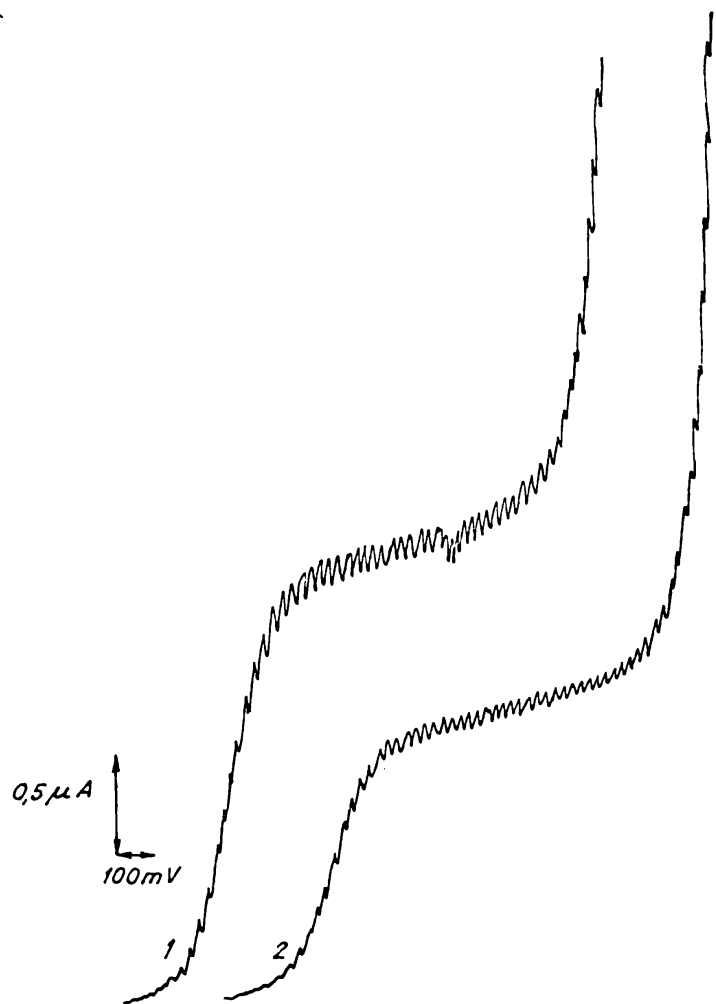


Fig. 21 - 1. Polarogramele înainte de electroliză.

2. Polarogramele după electroliză .

$$n = \frac{0,050 - 0,013}{(1 - \frac{67}{114}) \cdot 5 \cdot 10^{-4} \cdot 10^{-3} \cdot 9,65 \cdot 10^4}$$

$$n = 1,82$$

deci, doi electroni pentru această unică undă polarografică la pH = 9,9 .

### 3.2.4.1.6.- Electroliza la potențial controlat

Electroliza la potențial controlat furnizează informații valoroase pentru elucidarea mecanismului procesului de electrod. 189,190

Electroliza benzoguanidei la potențial controlat s-a efectuat cu ajutorul unui electrod de mercur picurător.

Electroliza în mediu de acid sulfuric 0,1 M cu 10% DMF , la potențial corespunzător curentului limită al primei unde ,  $i_I$  , duce la descreșterea în același timp și a curentului limită a celei de a doua unde polarografice ,  $i_{II}$  , figura 22 .

Din figura 23 se constată că logaritmul curentului limită al primei unde, este funcție liniară de timp și că descreșterea curentului limită a celei de a doua unde este paralelă cu descreșterea curentului limită al primei ; cu alte cuvinte, că raportul  $i_{II}/i_I$  rămâne constant pe tot timpul electrolizei .

ii

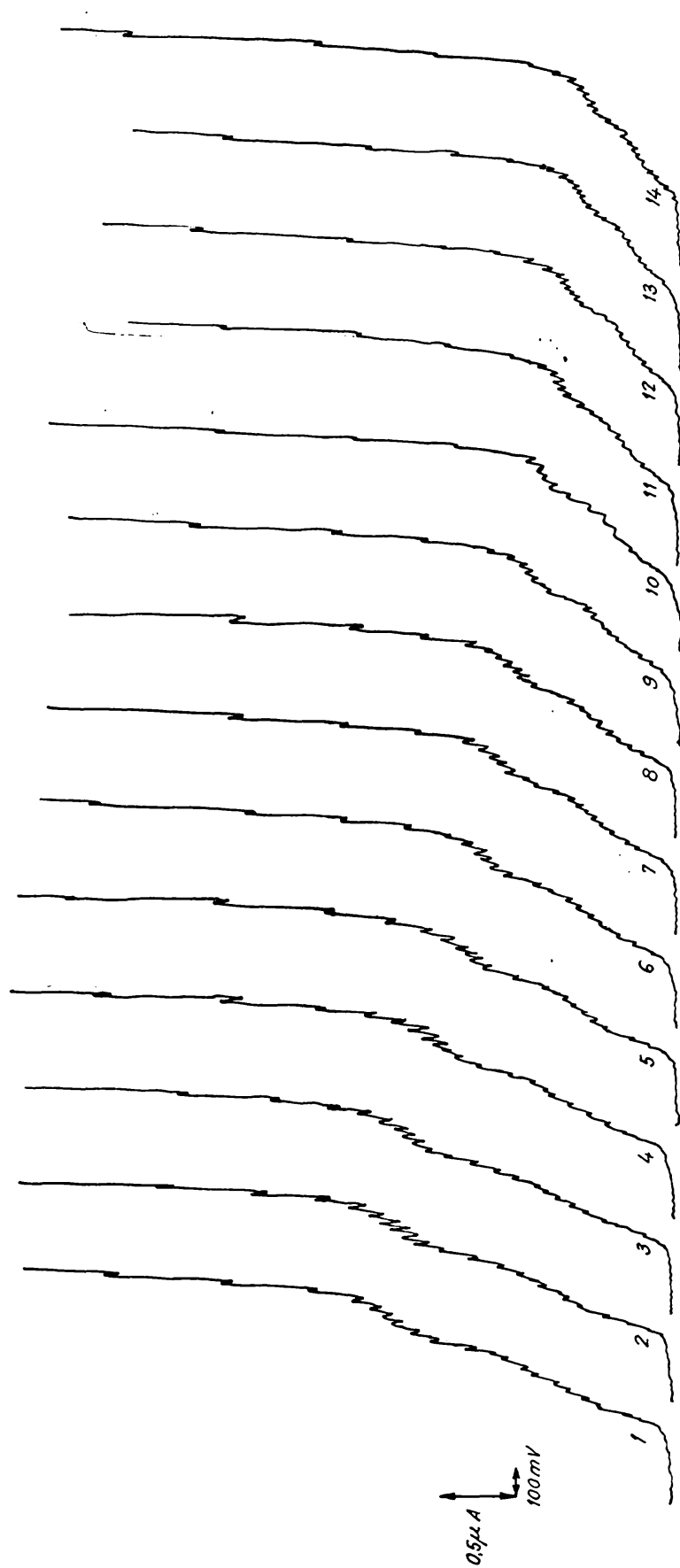


Fig. 22 Variatia inintimii undchlor in timpul electrolizei.  $1 \text{ ml } 2 \cdot 10^{-4} \text{M benzoguanidină în acid sulfuric } 0,1 \text{ M cu } 10\% \text{ DMF. Electroliza a fost efectuată la } -0,9 \text{ V, care este potențialul corespunzător curentului limită al primei unde (1). Timpul de electroliză în ore: } 1(0); 2(0,5); 3(1); 4(2); 5(3); 6(4); 7(5); 8(6); 9(7); 10(8); 11(9); 12(10); 13(11) \text{ și } 14(12). Start } -0,5 \text{ V față de electrodul saturat de calomel, capilară 2 (v. partea experimentală).}$

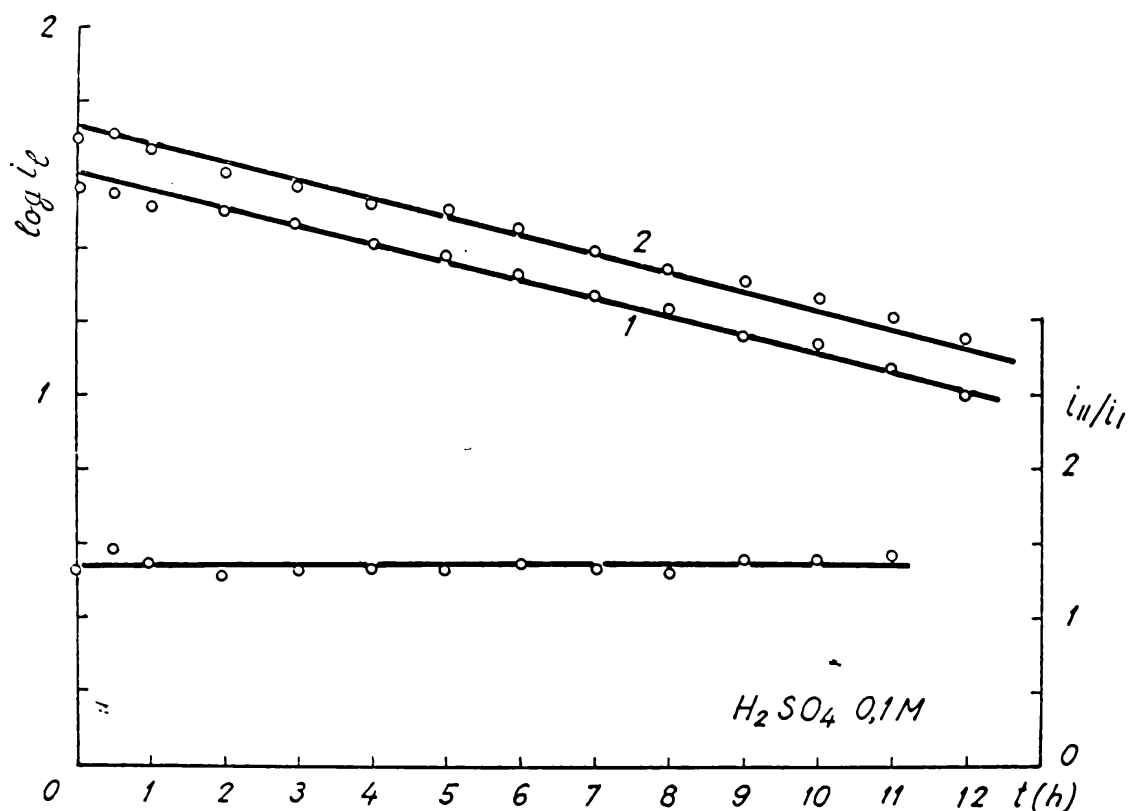
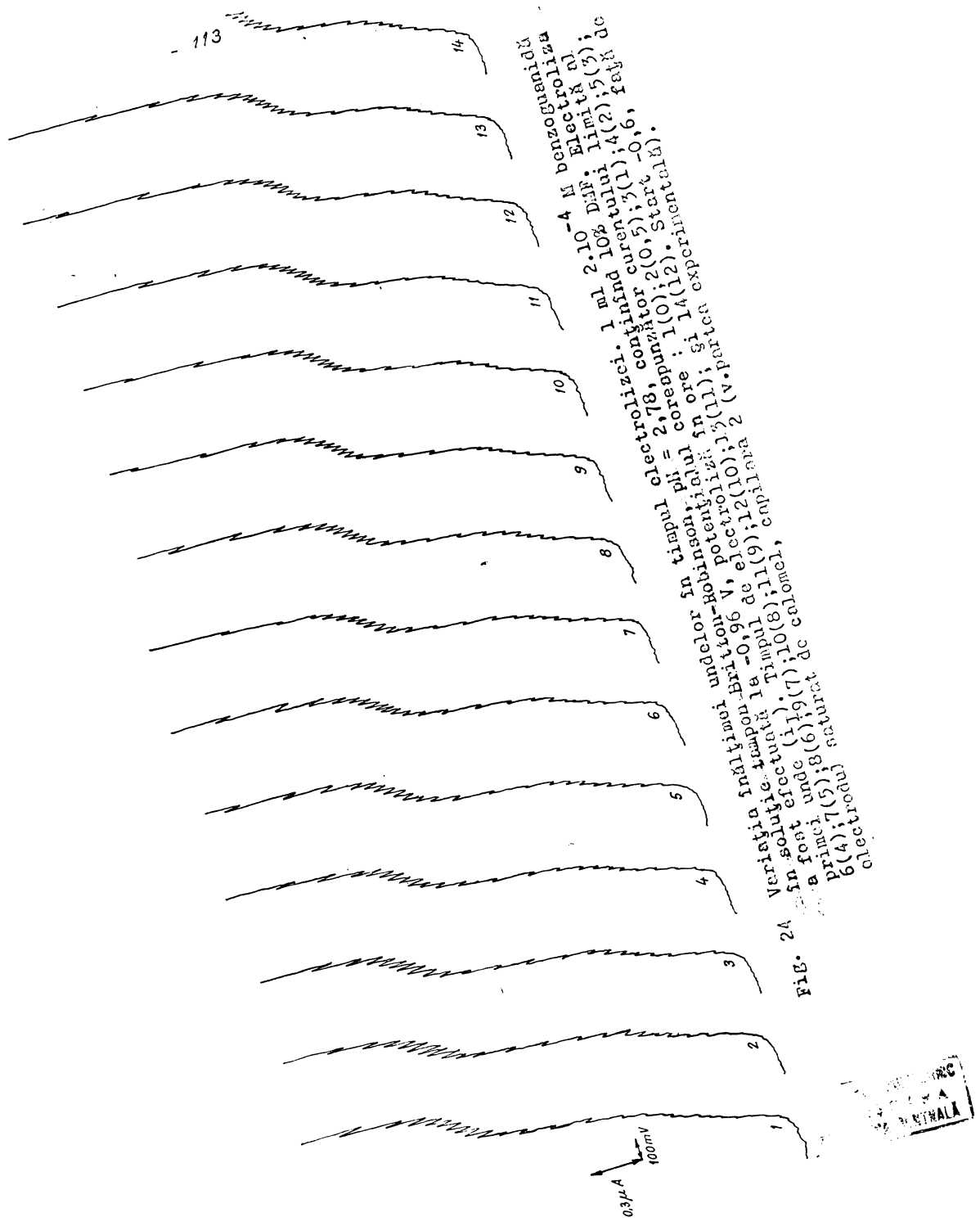


Fig. 23 - Electroliza în mediu de acid sulfuric  
0,1 M cu 10% DMF , la potențialul  
corespunzător curentului limită al  
primei unde .



Electrolyza benzoguanidei în soluție tampon, după Britton și Robinson, cu 10 % DMF la pH = 2,78 la potențialul corespunzător curentului limită al primei unde, are loc în același mod ca mai sus, figura 24 și figura 25.

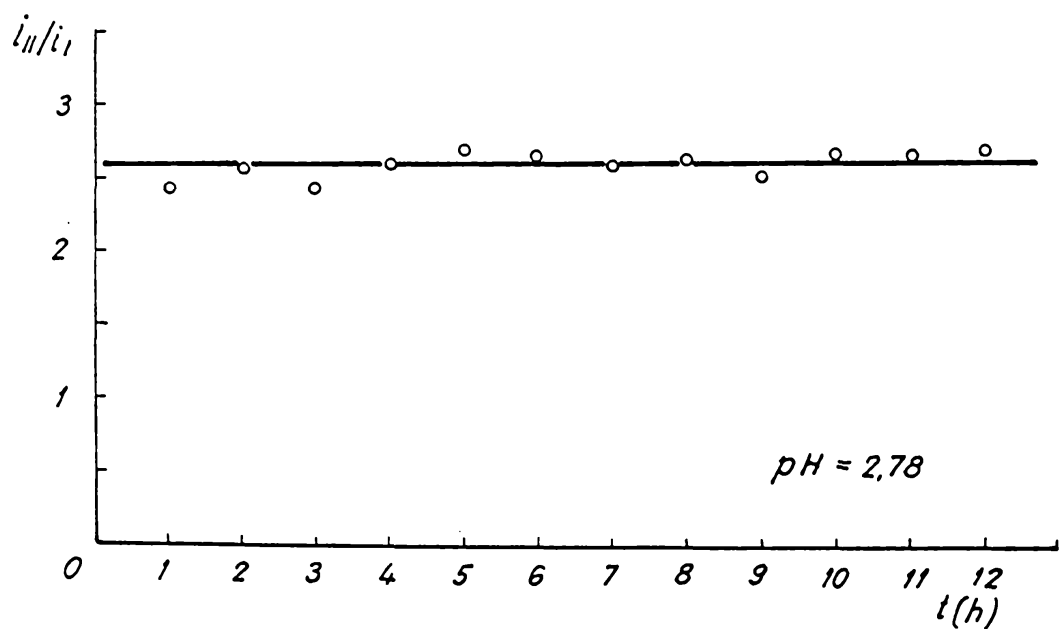


Fig. 25 - Dependența raportului celor două unde  $i_{II}/i_I$ , față de timp în electrolyza benzoguanidei, folosind soluție tampon Britton - Robinson cu un conținut de 10% DMF, la pH = 2,78.

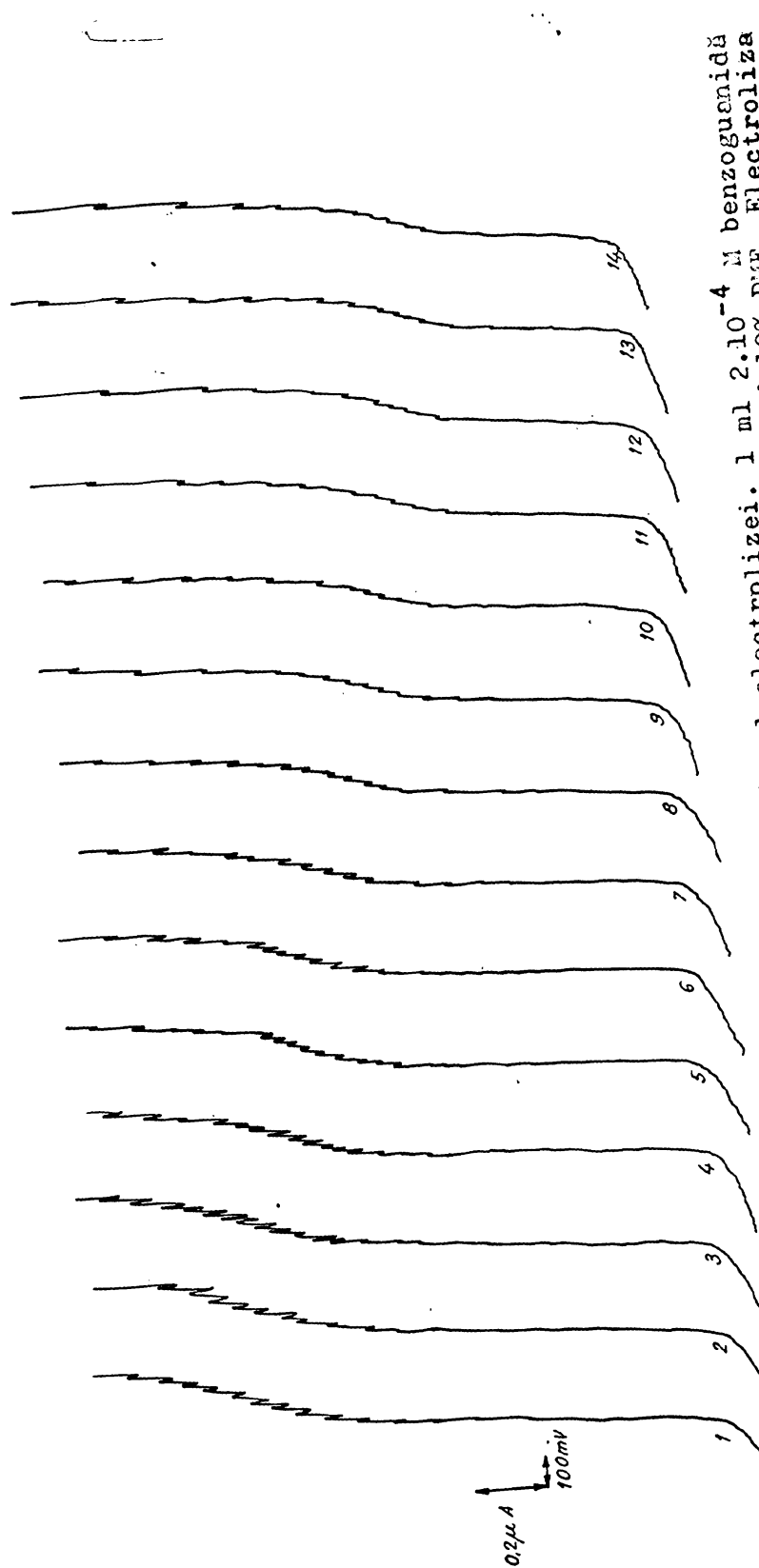


Fig. 26 Variatia inaltimei undei in timpul electrolizei.  $1 \text{ ml } 2 \cdot 10^{-4} \text{ M benzoguanidă}$   
in soluție temperon-Robinson,  $\text{pH}=10,18$ , conținind  $10\%$  DMF. Electroliza  
a fost efectuată la  $-1,70 \text{ V}$ , potențialul corespunzător curentului limită.  
Start  $-1,3 \text{ V}$ , efect de electrodul saturat de calomel, capilara 2 (v. parte a);  
exp.). Timpul de electroliză în ore: 1(0); 2(0,5); 3(1); 4(2); 5(3); 6(4); 7(5);  
8(6); 9(7); 10(8); 11(9); 12(10); 13(11); 14(12).

Astfel de sisteme în care are loc o descreștere a ambelor unde sub același raport, au mai fost observate și la reducerea calconelor,<sup>191</sup> p-cianobenzofenonei în mediu acid<sup>192</sup> și la unei derivați ai 5-azauracilului,<sup>193</sup>

La pH = 10,18 electroliza benzoguanidei la potențialul corespunzător curentului limită (fig. 26), a dus la aceeași dependență liniară dintre logaritmul curentului limită și timpul de electroliză (fig. 27) .

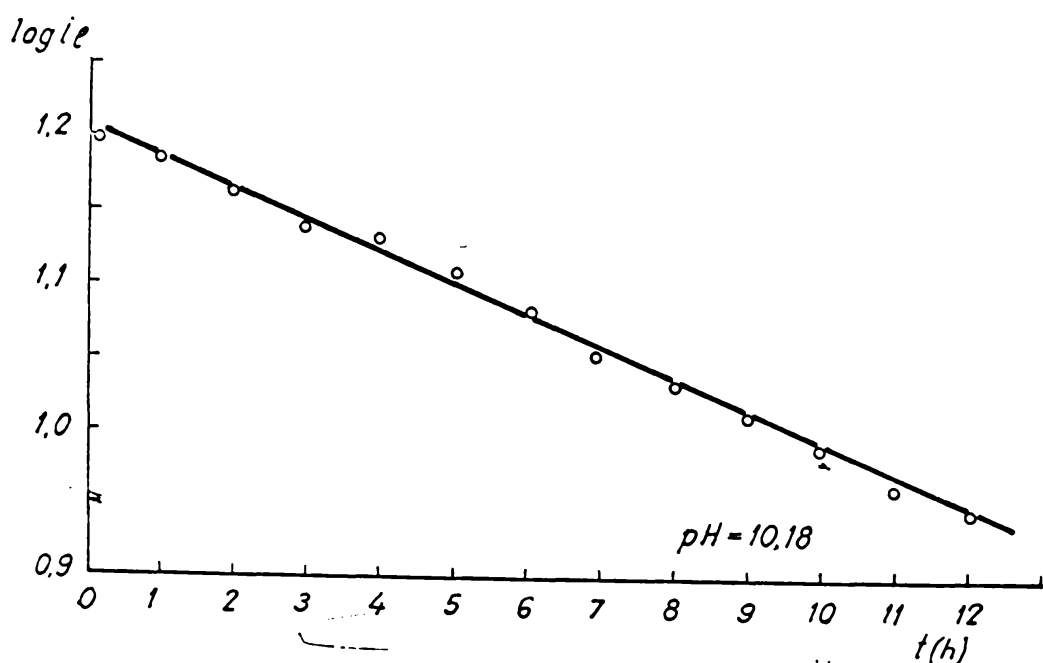


Fig. 27

Prin analiza soluției electrolizate, atât în mediu acid, cât și în mediu bazic, prin metoda cromatografiei în strat subțire,<sup>120</sup> ( 3,1.7. ), s-a identificat ca produs unic de reacție , benziliden-1,5-guanil-ureea , figura 28 și figura 29 .

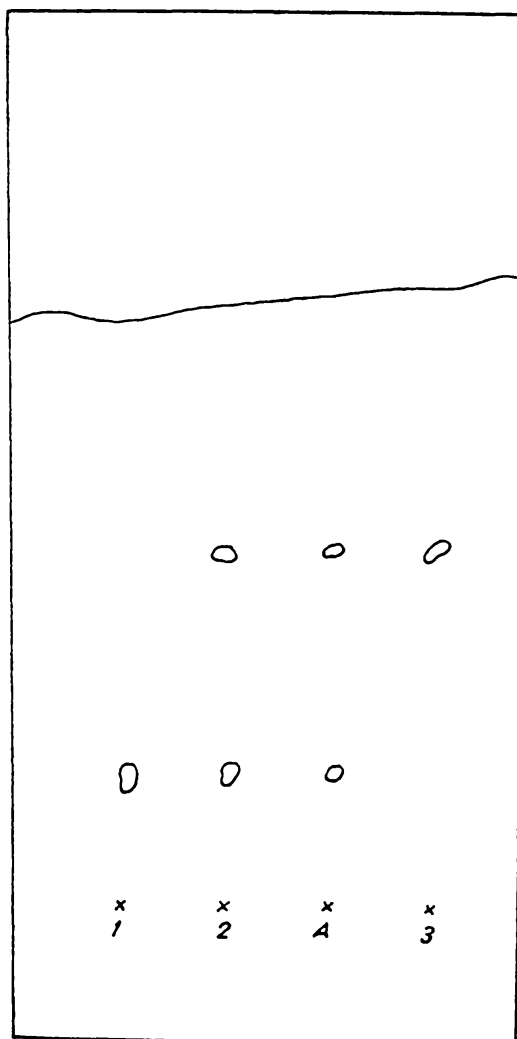


Fig. 28 - Analiza cromatografică a soluției  
electrolizate la pH = 2,78 :

1 = benziliden-1,5-guanil-uree (IV A<sub>1</sub><sup>i</sup>) ,

2 = amestec sintetic de IV A<sub>1</sub><sup>0</sup> și benzo-  
guanidă III A<sub>1</sub> (1:1) ; A = amestecul

de reacție ; 3 = III A<sub>1</sub> .

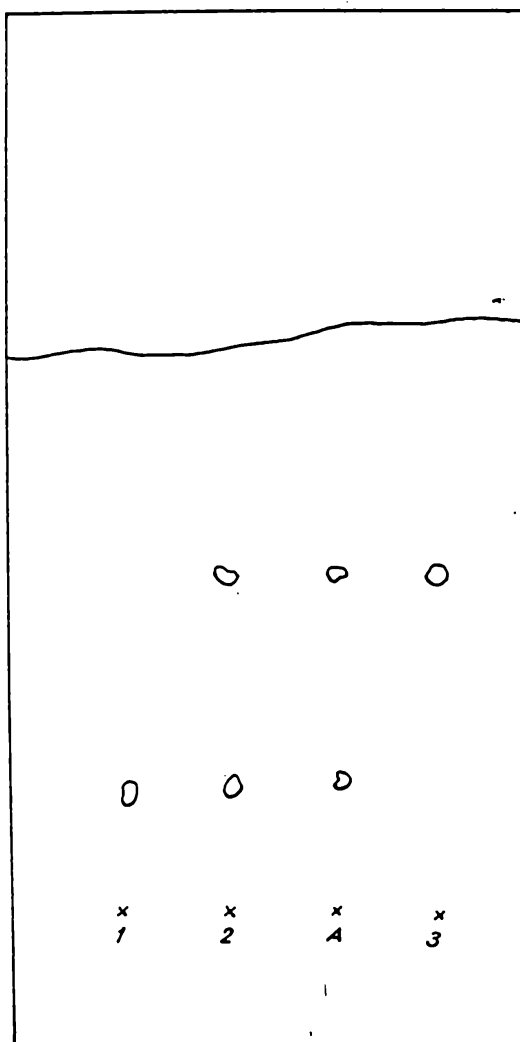


Fig. 29 - Analiza cromatografică a soluției

electrolizate la pH = 10,18 :

1 = IV A<sub>1</sub><sup>O</sup> ; 2 = IV A<sub>1</sub><sup>O</sup> + III A<sub>1</sub> (1:1),

A = amestec de reacție :, 3 = III A<sub>1</sub>.

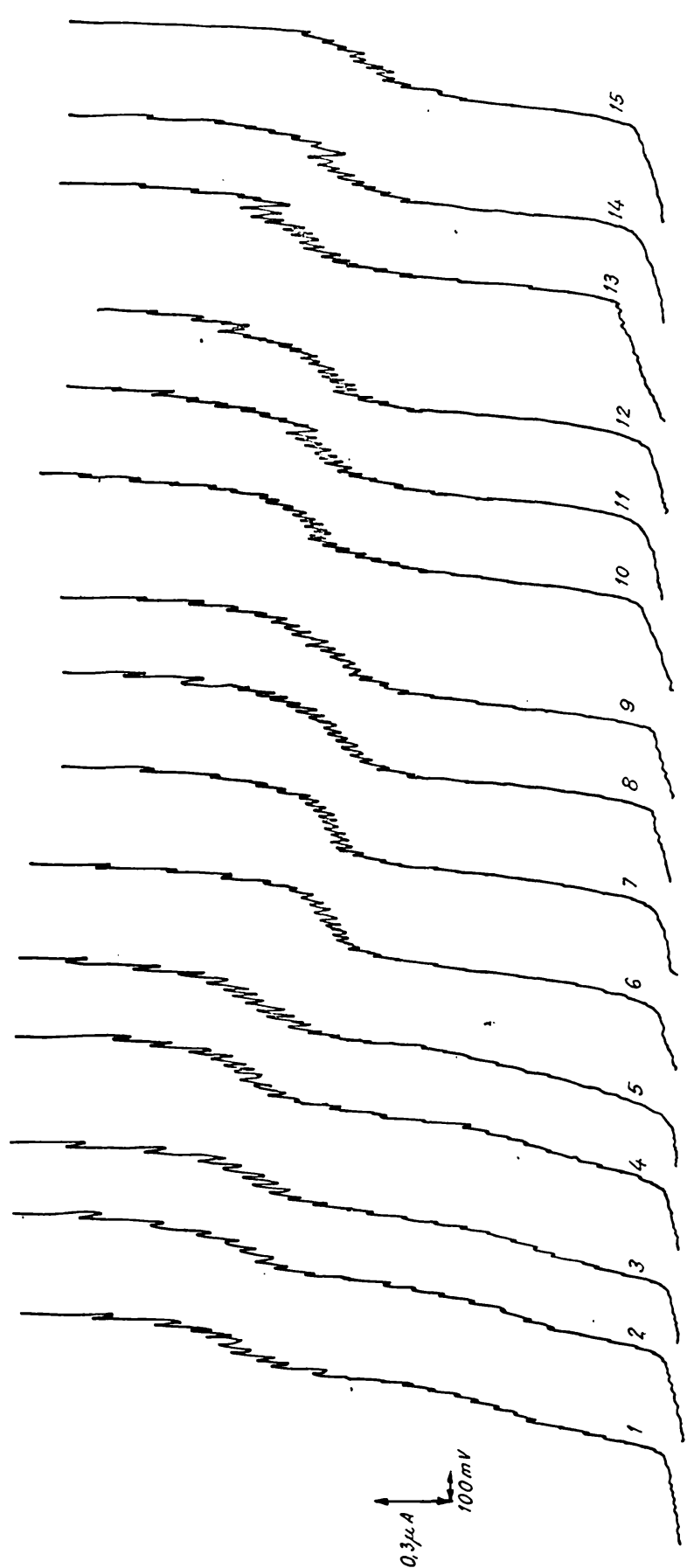


Fig. 30 Dependenta undelor de reducere de pH.  $2 \cdot 10^{-4}$  M, benzoguanidă în soluție tampon Britton-Robinson contînind 10% DMF. Valorile pH : 1(1,68); 2(1,82); 3(2,15); 4(2,67); 5(3,19); 6(5,98); 7(6,23); 8(7,08); 9(7,50); 10(8,07); 11(8,39); 12(9,19); 13(9,70); 14(10,04); 15(10,55). Start (-2); 0,5; (-3-4); -0,5; (-2); (-1,0); (-1,10); (-1,2); (-1,15); (-1,2; (11), -1,0; (8), -0,9; (8), -1,0; (9-10), -1,0; (11), -1,2; (11-15), -1,2; (14-15), -1,3V, sat în de clectrodiu saturat de calonel, capilară 2.

### 3.2.4.1.7.- Dependența de pH a potențialelor de semiundă

In mediu acid, la  $\text{pH} \leq \sim 3$ , polarogramale benzoguanidei prezintă, după cum s-a mai arătat (3.2.4.1.5.), două unde monoelectronice, iar în mediu slab acid, neutru și alcalin ( $\text{pH} = 5 \div 11$ ) o singură undă bielectronică, figura 30.

Potențialele de semiundă sunt dependente de pH pe întreg domeniul studiat : în intervalul  $\text{pH} = 1,5 \div 3$  valorile sunt de  $65 \text{ mV/pH}$  pentru undă întâia și  $67 \text{ mV/pH}$  pentru undă a doua ; în intervalul  $\text{pH} = 5 \div 8,5$ ,  $140 \text{ mV/pH}$  constatăndu-se aci cea mai mare variație a potențialului de semiundă, spre valori mai negative ; în sfîrșit, în intervalul  $\text{pH} = 8,5 \div 11$ ,  $70 \text{ mV/pH}$  (fig. 31).

### 3.2.4.1.8. - Analiza logaritică a curbelor polarografice

Pentru verificarea reversibilității procesului de reducere catodică, studiat la electrodul de mercur picător, am făcut uz de așa numita analiză logaritică a curbelor polarografice (current - tensiune) .

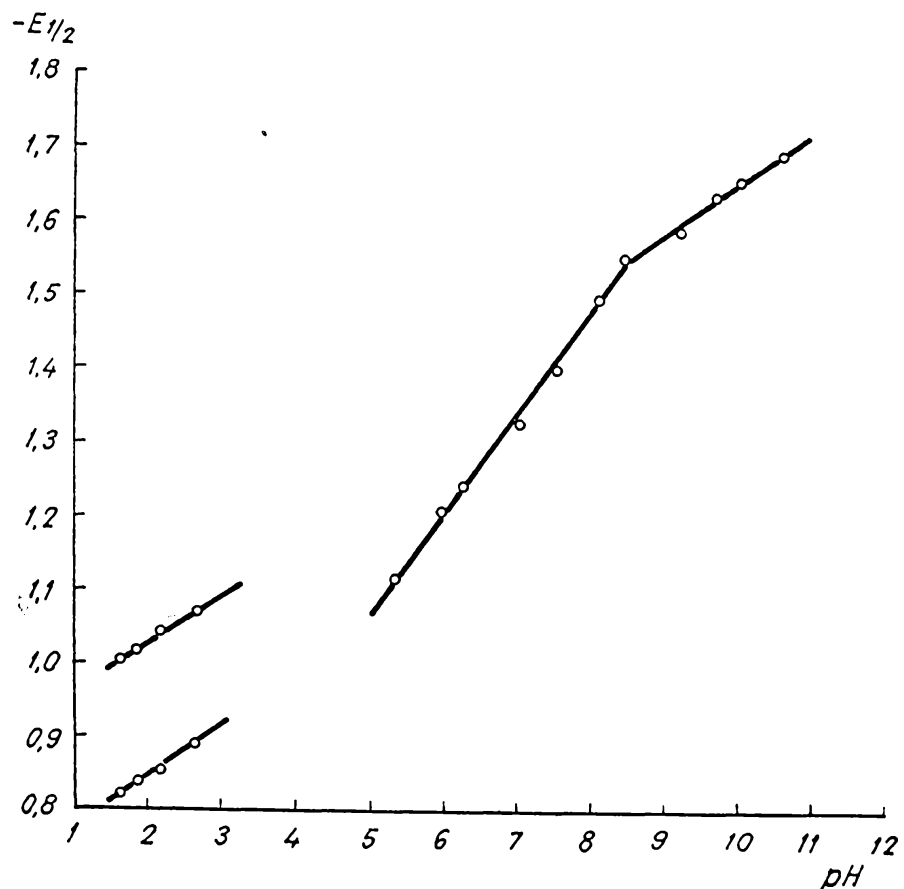


Fig. 31 - Dependența potențialelor de semiundă de pH , la reducerea benzoguanidei (III A<sub>1</sub>) .

Ecuatia curbei polarografice, în acest caz, poate fi scrisă sub forma /16/ :

$$\frac{n}{0,058} (E_{1/2} - E) = \log \frac{\bar{i}}{\bar{i}_d - \bar{i}} \quad /16/$$

unde :

- n - număr de electroni ,  
 $E_{1/2}$  - potențialul de semiundă ,  
E - potențialul aplicat la electrod ,  
 $i_d$  - curentul de difuziune ,  
 $\bar{i}$  - curentul instantaneu .

Din această ecuație reiese că, dependența :

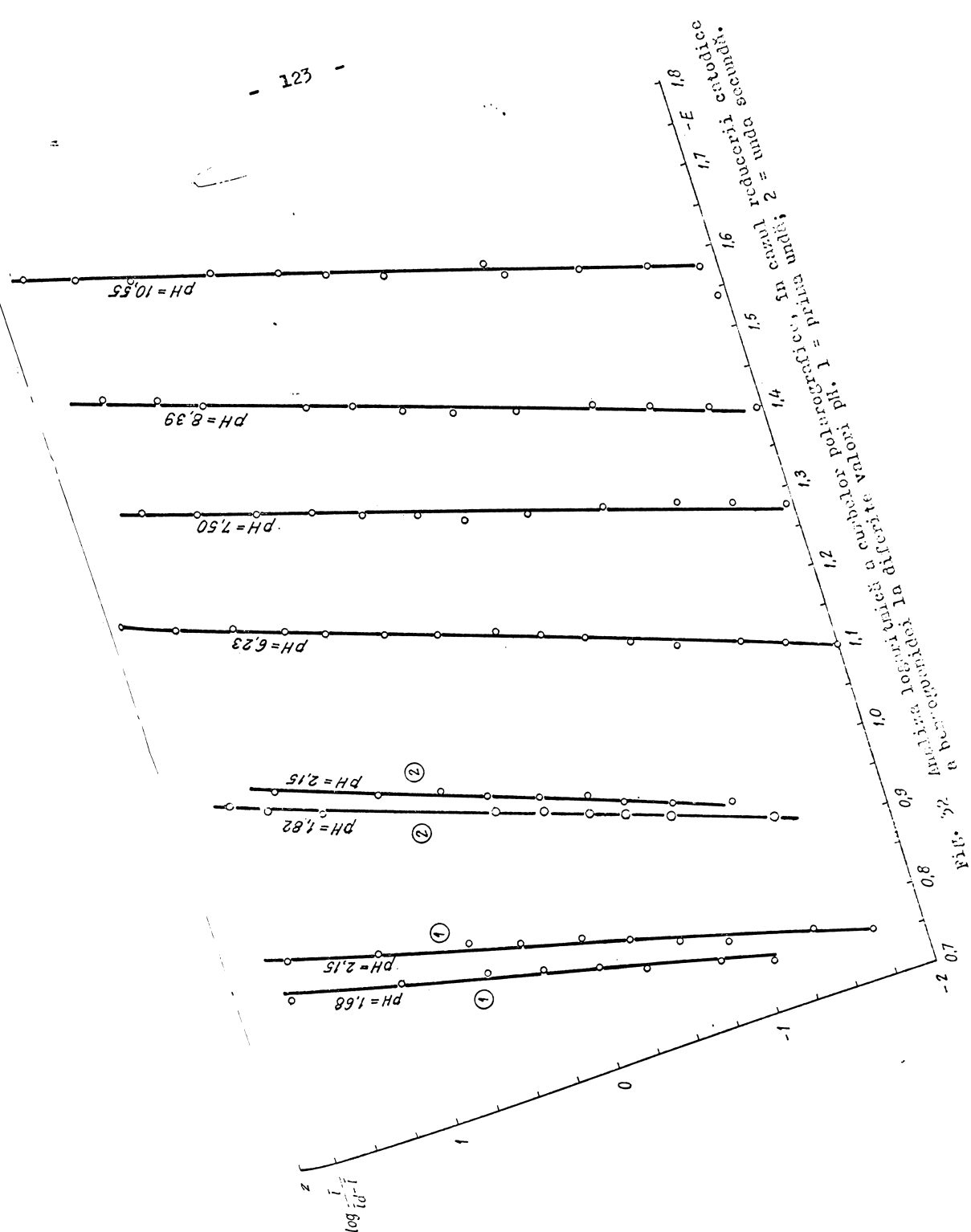
$$\log \frac{\bar{i}}{i_d - i}$$

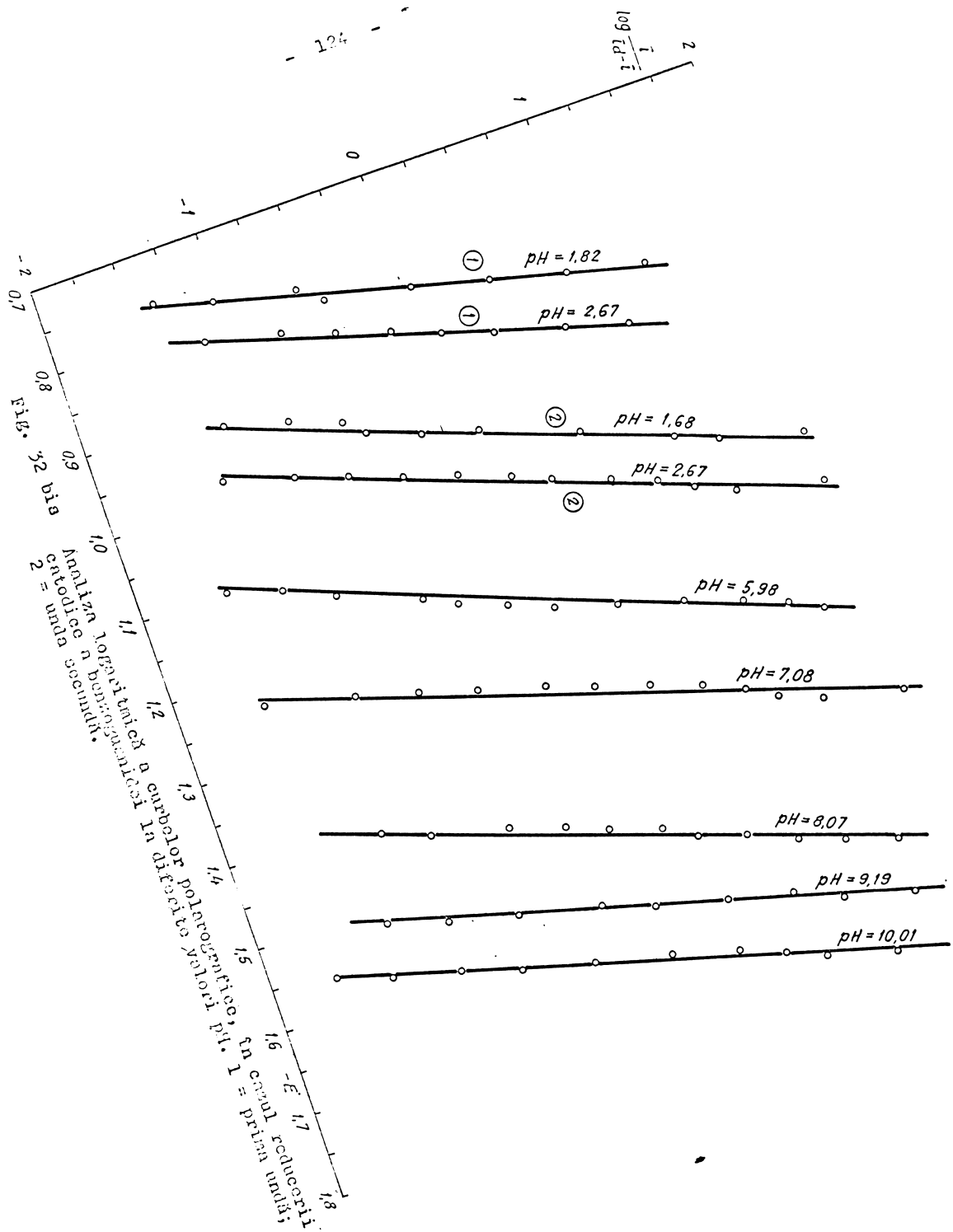
față de potențialul E trebuie să fie o dreaptă al cărui coeficient unghiular este :

$$\frac{n}{0,058 \text{ V}}$$

Analiza logaritmică a curbelor polarografice aplicate în cazul nostru, figura 32 , arată că fiecare dreaptă corespunzătoare primei unde monoelectronice ( pH = 1,5 + 3 ), are coeficientul unghiular cuprins între 55 + 60 mV , aproape de valoarea teoretică de 58 mV a unei adiții monoelectronice reversibile .

Pentru cea de a doua undă momoelectronică, în același domeniu de pH , valoarea coeficientului unghiular





este în jur de 75 mV , indicând astfel ireversibilitatea pentru transferul celui de al doilea electron.

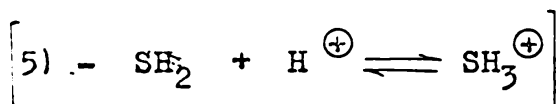
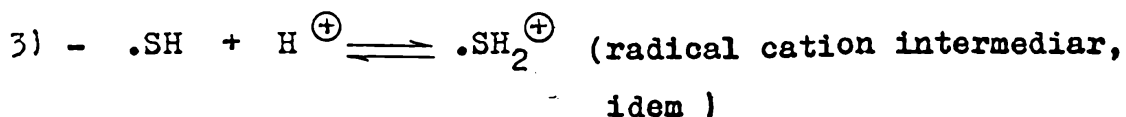
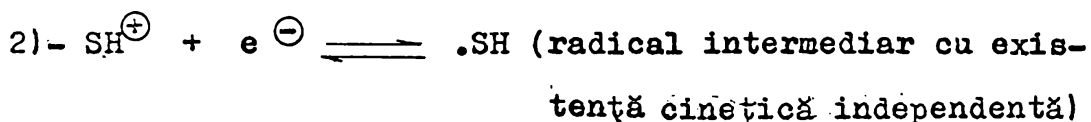
Peste întreg domeniul de pH , în care reducerea are loc într-o singură treaptă bielectronică, transferul de sarcină este ireversibil (valorile coeficientului unghiular sunt  $\geq 60$  mV față de valoarea teoretică care este de 30 mV ) .

#### 3.2.4.1.9.- Discuție

In lumina rezultatelor de mai sus și ținind seama că, în funcție de pH-ul mediului, moleculele substratului, precum și ale produselor reducerii electrochimice, sunt angajate totodată în echilibre de tautomerie, precum și în echilibre protolitice (care de fapt le condiționează catalitic pe cele tautomere) ne putem face o imagine plauzibilă a mecanismului reacției de acceptare a electronilor de la catod .

Experiența a arătat că, în mediu mai puternic acid ( $pH = 1 + 3$ ) în care este evident că benzoguanida subsistă predominant în stare protonată, procesul de reducere decurge în două trepte monoelectronice bine distincte, prima dintre ele fiind reversibilă, pe cind a doua este dimpotrivă ireversibilă (astfel încât determină caracterul global de ireversibilitate al hidro-

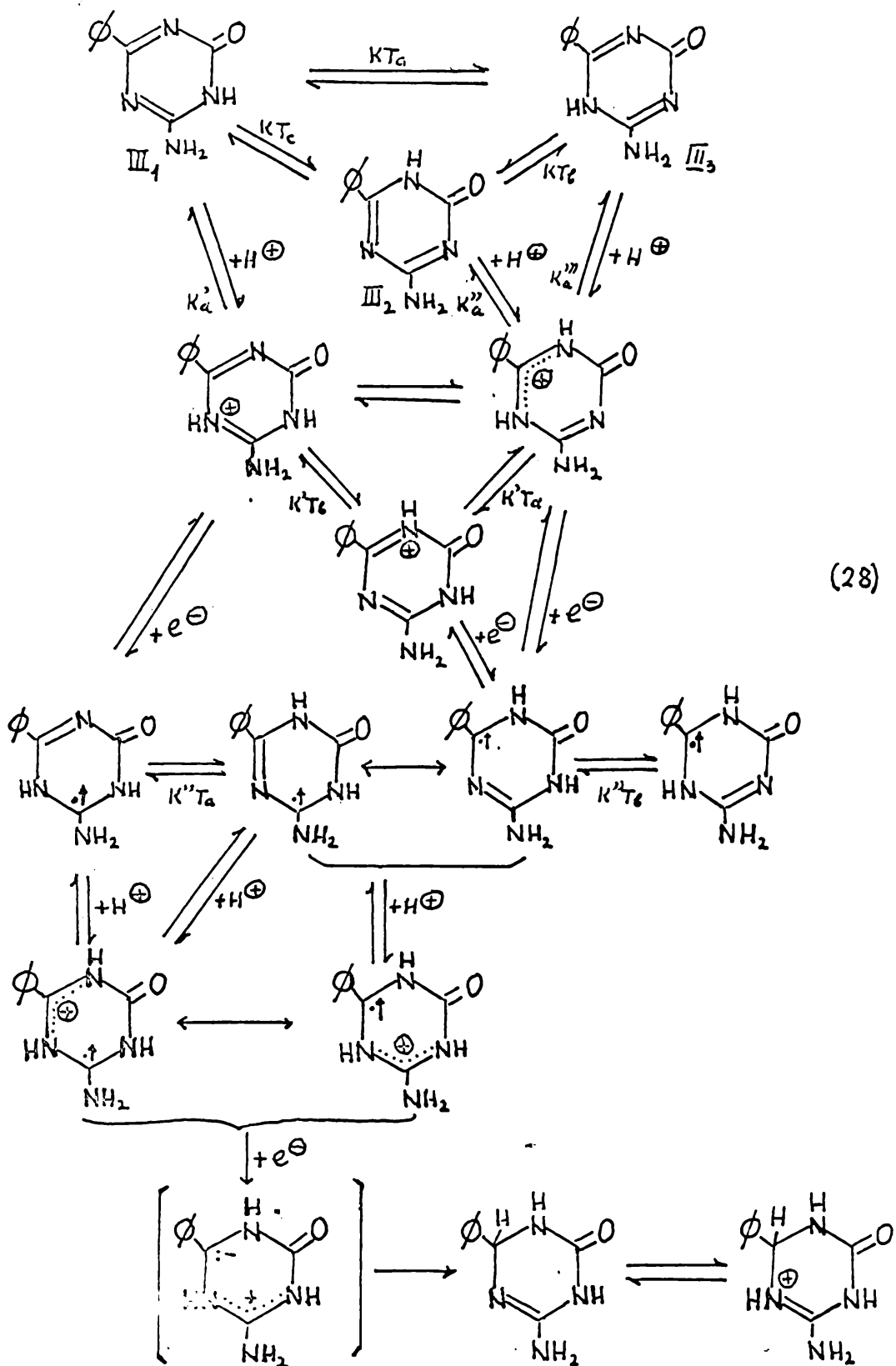
genării în condițiile date). Se impune, aşadar, concluzia că, în domeniul de  $\text{pH} = 1 \div 3$  mecanismul procesului implică următoarele patru etape esențiale, dintre care etapa 2) păstrează caracterul de proces de reducere și la care se mai poate adăuga la  $\text{pH} = 1 \div 2$  o a cincea etapă subsidiară, constând în protonarea finală a produsului de reducere.



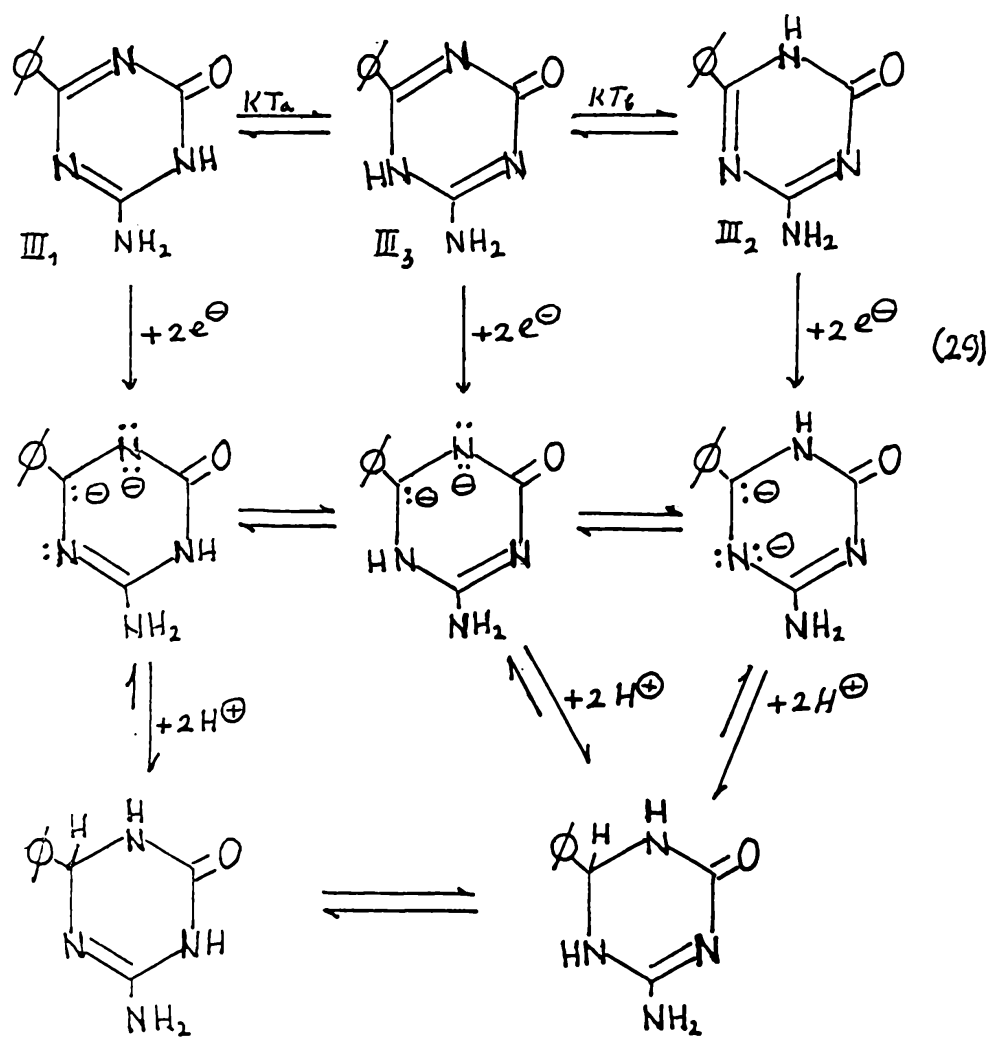
Conform acestor succesiuni de reacții, întreaga transformare poate fi reprezentată de următorul tablou schematic, în care figurează implicarea multiplelor echilibre tautomere și protolitice (v. schema (28) / .

În domeniul de  $\text{pH} > 3$  nu se mai pot distinge

Reducerea în două trepte monoelectronice la  
 pH = 1 + 3 afectează molecule protonate decurgînd cu me-  
 canismul :  $+H^+ + e^- \rightarrow H^+ + e^-$ ;  $H^+$



Reducerea într-o singură treaptă bielectronică la  $\text{pH} > 3$ . În domeniul de pH slab acid ( $3 < \text{pH} \leq 7$ ) și în cel slab alcalin ( $7 < \text{pH} \leq 10$ ) reducerea afectează molecula neutră de benzoguanidă, decurgînd cu mecanismul  $+2\text{e}^- + 2\text{H}^+$ . Pentru domeniul de pH puternic alcalin ( $\text{pH} > 10$ ) procesul afetează în măsură crescîndă pînă la una totalitară molecule anionice de benzoguanidă, potențialul necesar fiind firește tot mai mare iar mecanismul  $+ 2\text{e}^- + \text{H}^+$ .



două etape de reducere, procesul decurgînd practic cu acceptarea simultană a doi electroni . Cum în intervalul  $3 \leq pH \leq \sim 10$  substratul, intermediari nesezisabili și produsul final, se află predominant sau practic exclusiv în stare neprotonată, sănsem obligați să admitem că în aceste condiții procesul debutează cu acceptarea neseparabilă a ambilor electroni, după care se produce instantaneu, protonarea dianionului rezultat conform schemei (29) .

3.2.4.2.- Reducerea polarografică a unui număr de benzoguanide meta- și para-substituite (III A<sub>1</sub> cu X ≠ H în pozițiile 3' și 4').  
Aplicabilitatea ecuației Hammett - Zunger  
la variația potențialelor de semiundă în  
funcție de natura și poziția substituen-  
tilor

La fel ca și compusul cel mai simplu, benzoguanidul III A<sub>1</sub>, majoritatea celorlalți reprezentanți ai acestei clase, variat substituți în pozițiile meta și para (vezi tabela 17 ), dau în mediu mai acid și anume în domeniul de pH = 1,5 + 3 polarograme care prezintă două unde monoelectronice (v. tabela 24), iar în mediul slab alcalin o singură undă bielectronică (v. tabela 25). Exceptie fac , în primul caz, după cum se vede din tabela

24 , compusii  $\text{IIA}_n; n=5, 17, 7$  care și în mediu mai pronunțat acid sînt reduși într-o singură treaptă bielectronică la nivelul inelului triazinic. (Cu privire la obținerea datelor din cele două tabele a se vedea partea experimentală).

Compusul  $\text{IIA}_7$  se distinge printr-o comportare cu totul specială, în mod evident existenței în moleculă sa a două grupe polarografic active, dubla legătură  $\text{C}^4-\text{N}^5$  din inelul 1,3,5-triazinic și grupa nitro . Acestea determină, după cum se vede, apariția a trei unde polarografice (fig. 33) .

Pentru a putea elucida proveniența fiecăruiu dintre aceste trei unde, am efectuat în aceleasi condiții, reducerea polarografică a 4'-nitro-benziliden-1,5-guanil-ureei, care constituie forma redusă la inelul triazinic a p-nitro-benzoguanidei (compusul  $\text{III A}_4$ ). Am constatat astfel că, 4'-nitro-benziliden-1,5-guanil-ureea  $\text{IV A}_4$  se reduce în două trepte care nu pot fi datorate, evident, decît grupiei  $\text{NO}_2$  . În baza ecuației lui Ilkovic /9/ , folosind constanta de difuziune calculată în cazul benzoguanidei (  $D = 8,4 \cdot 10^{-6}$   $\text{cm}^2 \cdot \text{sec}^{-1}$  ), prima din aceste două unde corespunde acceptării a  $4 \text{ e}^-$  , iar a două acceptării ultimilor  $2 \text{ e}^-$  .

Pe de altă parte, se constată din figura 33 că, potențialul de semiundă a celei de a treia trepte de reducere a 4-nitro-benzoguanidei, este practic identic cu potențialul de semiundă a celei de a două trepte de reducere a 4'-nitro-benziliden-1,5-guanil-ureei . Urmează că, reducerea bielectronică a inelului triazinic din 4-nitro-benzoguanidă , este mareșă, în cazul respectiv, de cea de a

două treaptă polarografică .

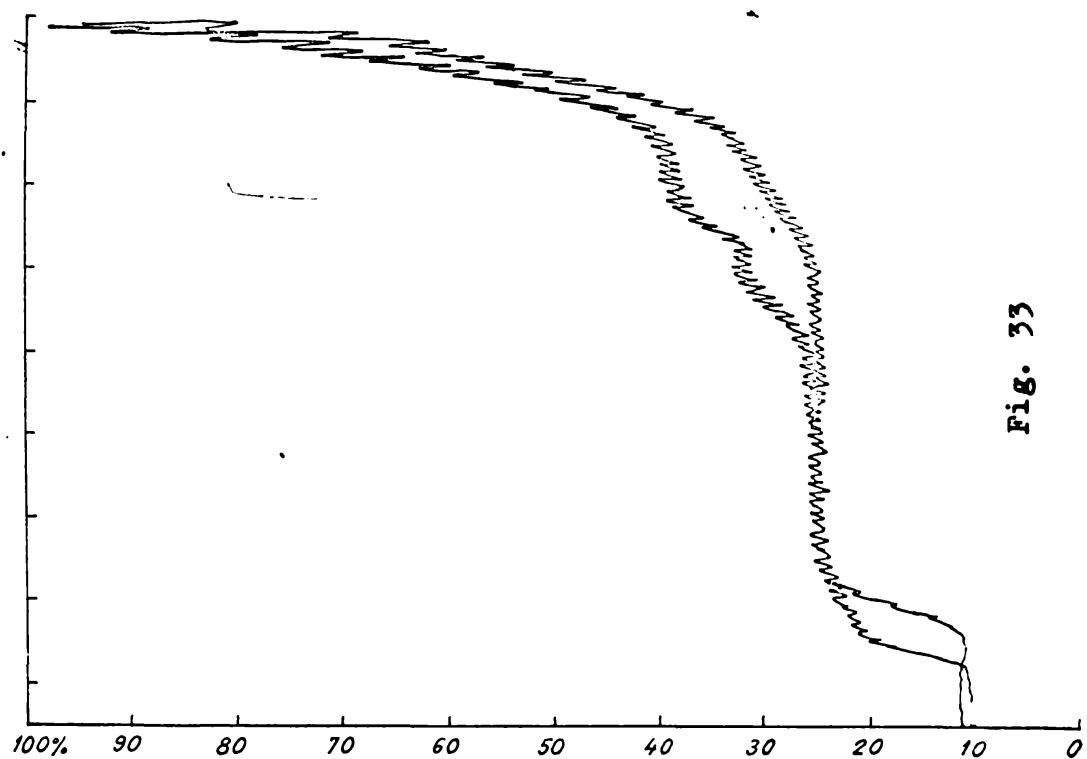


Fig. 33

Fig. 33 - Reducerea p-nitro-benzoguanidei

și a p-nitro-benziliden<sup>15</sup>-guanil-ureei

Reiese, cu alte cuvinte, că în ansamblu, procesul de reducere a 4-nitro-benzoguanidei decurge astfel : într-o primă etapă, quadrielectronică, se reduce grupa  $\text{NO}_2$  la grupa  $-\text{NHOH}$ ; are loc apoi, acceptarea a  $2 e^-$  la nivelul nucleului triazinic, iar în ultimă etapă grupa  $-\text{NHOH}$  se reduce tot bielectronic la  $-\text{NH}_2$ , rezultînd astfel 4'-amino-benziliden-1,5-guanil-ureea, care însă nu a fost izolată ca atare.

Pentru a stabili în ce măsură se poate conta pe intervenția unuia și aceluiași mecanism al acceptării electronilor la reducerea diverselor benzoguanide substituite în poziția meta și para, am procedat la verificarea aplicabilității ecuației lui Hammett<sup>195</sup> la variația potențialelor de semiundă în funcție de natura și poziția substituenților, folosind în acest scop, forma adecvată a proceselor de reducere catodică, pe care ecuația în chestiune o ia, după cum s-a arătat îndeosebi de către Zuman<sup>155,196-198</sup> și anume :

$$\Delta E_{1/2} = \rho_{J/R} \tilde{\sigma}_X \quad /17/$$

unde :

$\Delta E_{1/2}$  = diferența dintre potențialul de semiundă al unui compus care poartă un substituent X oarecare și potențialul de semiundă al compusului corespunzător nesubstituit ( $X = H$ ) considerat ca termen de referință sau "standard" ;

$\beta_{\tilde{\eta} R}$  = constanta de reacție polarografică (de unde notația cu indicele  $\tilde{\eta}$ ), constantă care exprimă susceptibilitatea centrului de reacție (respectiv a grupei polarografice active) R, față de efectele substituenților X, în cazul procesului de electrod considerat și este în principiu, precum se știe, independentă de natura lui X.

$\sigma_X$  = "Constanta de substituent", caracteristică pentru fiecare grupă X și deci variabilă de la o grupă la alta, exprimând tocmai mărimea efectului exercitat asupra centrului de reacție de către substituentul în cauză, în funcție și de poziția sa în nucleul benzenic.

In seria compușilor studiați, potențialele de semicondă al acestora sunt dependente de pH și pot fi exprimate prin relația /18/, în domeniile de  $pH = 1,6 \div 2,7$  și respectiv  $pH = 6,8 \div 8,6$ .

$$E_{1/2} = a /pH/ + b \quad /18/$$

Valorile a și b sunt cuprinse în tabelele 24 și 25.

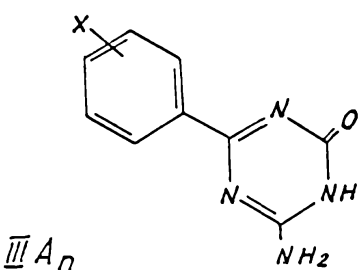
In tabela 24 a și b sunt parametri ecuației :

$$-E_{1/2} = a(pH) + b$$

la  $pH = 1,6 - 2,7$ .

T a b e l a 24

Rezultatele experimentale privind reducerea benzoguanidelor la pH = 1,85



n	X	$\tilde{C}_X$	U n d a I			U n d a II		
			$E_{1/2}$	a	b	$E_{1/2}$	a	b
			(volți)			(volți)		
1	H	0,0	-0,830	0,087	0,66	-1,020	0,069	0,89
4	p-Me	-0,17	-0,865	0,086	0,69	-1,060	0,059	0,93
3	m-Me	-0,07	-0,820	0,085	0,56	-1,020	0,063	0,82
13	p-F	+0,06	-0,860	0,090	0,60	-1,050	0,055	0,87
12	m-F	+0,34	-0,765	0,063	0,61	-0,960	0,065	0,78
6	p-Cl	+0,23	-0,780	0,046	0,67	-0,985	0,060	0,85
14	m-Cl	+0,37	-0,745	0,05	0,65	-0,950	0,070	0,82
16	p-Br	+0,23	-0,770	0,060	0,73	-0,980	0,060	0,93
15	m-Br	+0,39	-0,740	0,035	0,75	-0,950	0,030	0,96
5	p-MeO	-0,27	-1,00					
17	p-NMe <sub>2</sub>	-0,83	-0,935					
Unda I Unda II Unda III								
7	p-NO <sub>2</sub>		+0,78	-0,1	-0,700		-0,94	

N.B. Compușii  $\Sigma$ ,  $\Xi$  și  $\Zeta$ , la pH = 1,85, prezintă o singură undă bielectronică de reducere polarografică la nivelul nucleului triazinic.

3.2.4.2.1.- Efectul exercitat în mediu acid (pH = 1,85) de substituenți din pozițiile meta și para.

Dreptele de corelație sunt prezentate în figura 34, pentru ambele unde de reducere.

Coefficienții de corelație sunt  $r = 0,922$  pentru prima undă, respectiv  $r = 0,937$  pentru cea de a doua. Dacă se lasă valoarea punctului de corelare corespunzător compusului  $\text{III}A_{13}$  ( $X = \text{p-F}$ ) pe din afară, ecuațiile liniilor de regresie (care au fost deduse cu ajutorul calculatorului Hewlett - Packard 9810), sunt următoarele:

$$1) \quad \hat{A}_i = 0,823 + (0,201 \pm 0,039) \tilde{\sigma}_i$$

$$n = 8$$

$$r = 0,978$$

$$s = 0,009$$

$$F = 54,34$$

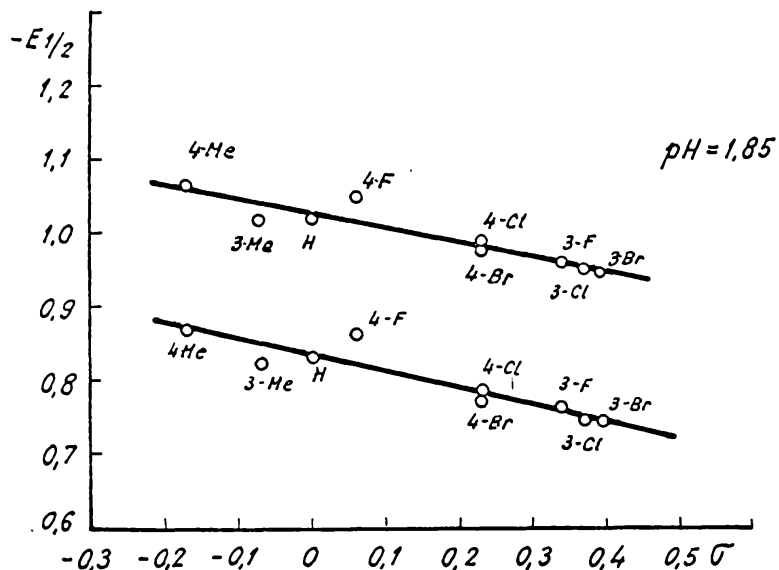


Fig. 34 - Corelarea potențialelor de semiundă cu constantele de substituent Hammett .  
Dreptele 1 și 2 corespund respectiv primei și celei de a doua unde mono-electronice .

$$2) \hat{A}_i = 1,020 + (0,180 \pm 0,029) \tilde{\sigma}_i$$

$$n = 8$$

$$r = 0,986$$

$$s = 0,008$$

$$F = 86,79$$

Coeficienții de corelație în acest caz devin  $r = 0,978$  pentru prima undă și  $r = 0,986$  pentru cea de a doua, atestând existența unei relații liniare de energii libere foarte bună pentru  $E_{1/2}$  și  $\sigma_x$ , pentru acești compuși meta și para substituiți în mediu acid.

Valorile constantelor de reacție sunt ambele pozitive  $\beta_1 = +0,201$  și  $\beta_2 = +0,180$ , ceea ce corespunde, bineînțeles, faptului că în procesul acceptării de electroni, centrul de reacție este mai negativ în stare de tranziție decât în starea inițială.

T a b e l a 25

Rezultatele experimentale privind reducerea benzoguanidelor (III A<sub>n</sub>) la pH = 8,35

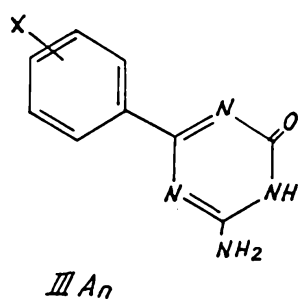


Tabela 25 (continuare)

<i>n</i>	X	$\sigma$	$E_{1/2}$ (V)	a	b
1	H	0,0	-1,522	0,130	0,41
4	p-Me	-0,17	-1,540	0,173	0,1
3	m-Me	-0,07	-1,515	0,106	0,52
13	p-F	+0,06	-1,555	0,133	0,33
12	m-F	+0,34	-1,460	0,144	0,22
6	p-Cl	+0,23	-1,465	0,170	0,00
14	m-Cl	+0,37	-1,434	0,167	0,01
16	p-Br	+0,23	-1,429	0,174	0,08
15	m-Br	+0,39	-1,404	0,157	0,17
5	p-MeO	-0,27	-1,622	0,113	0,39
17	p-NMe <sub>2</sub>	-1,05	-1,446	0,121	0,58
7bis	p-NHOH	-0,34	-1,344	0,098	0,61

3.2.4.2.2.- Efectul exercitat în mediu bazic  
(pH = 8,35) de substituenți din  
pozițiile meta și para

La acest pH , după cum s-a arătat mai sus, toți compușii 1,3-6,7bis și 12-17 , prezintă o undă de reducere bielectronică, corespunzînd reducerii dublei legături C<sup>4</sup>-N<sup>5</sup> din inelul 1,3,5-triazinic.

Așa fiind, putem spune că și cei trei compuși care prezintă comportare aberantă în mediu acid, reintră aici în cadrul analogiei generale. Se înțelege că în locul p-nitro-benzoguanidei  $\text{III}A_7$ , am introdus în verificarea corelării p-hidroxil-amino-benzoguanida  $\text{III}A_7$  bis, cu constante de substituent pentru grupa -NHOH așa cum a rezultat din identificarea semnificației treptelor de reducere în cazul nitro-derivatului  $\text{III}A_7$ .

Valorile potențialelor de semiundă,  $E_{1/2}$ , determinate în aceste condiții și ale constantelor de substituent  $\sigma_X$  sunt cuprinse în tabela 25.

Dreapta de corelație este prezentată în figura 35.

Remarcabil este faptul că, punctele de corelație  $E_{1/2}$  -  $\sigma$  pentru compușii  $\text{III}A_7$  și  $\text{III}A_7$  bis, cad mult în afara dreptei de corelare. Deviația grupei amino și a derivărilor ei de la relațiile liniare de energii libere ale proceselor de electrod, a mai fost constatată și discutată de alți autori<sup>155,199</sup> dar fără a se fi găsit pînă în prezent o explicație, satisfăcătoare a acestei abateri.

Ecuația liniei de regresie, în acest caz, este următoarea:

$$3) \quad \hat{A}_i = 1,524 + (0,264 \pm 0,071) \sigma_i$$

$$n = 10$$

$$\underline{r} = 0,916$$

$$s = 0,033$$

$$F = 18,10$$

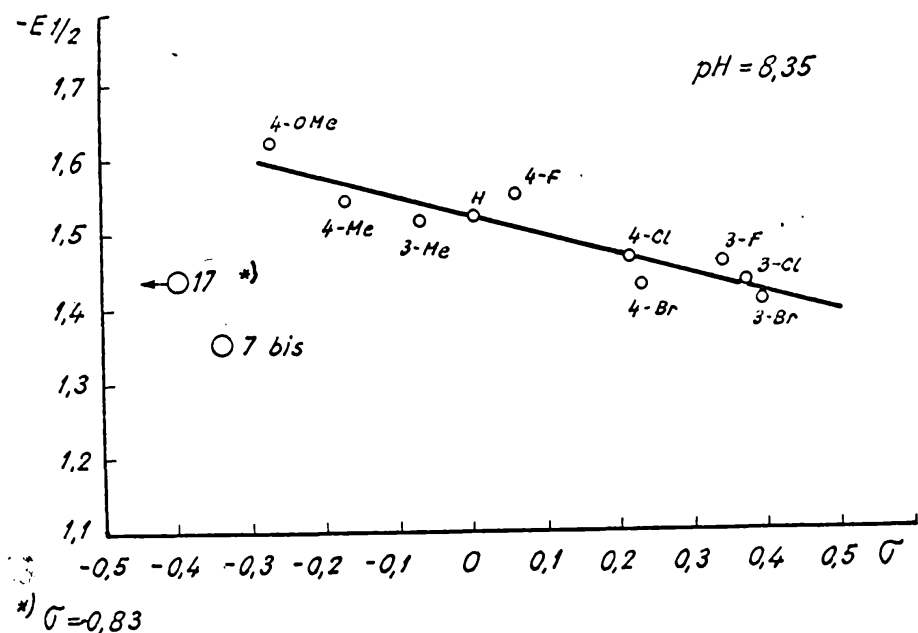


Fig. 35 - Corelarea potențialelor de semi-  
undă cu constantele de substi-  
tuent Hammett .

Valoarea coeficientului de corelație denotă o corela-  
ție moderată .

Valoarea constantei de reacție este și în acest caz  
pozitivă :

$$\rho = + 0,264$$

3.2.5.- Corelarea potențialelor de semiundă  
cu calculele HMO <sup>134</sup>

MacColl,<sup>200</sup> a arătat pentru prima dată că, pentru o serie de compuși similari există o relație liniară între potențialul de semiundă și energia celui mai de jos orbital molecular liber, calculat prin metoda Hückel.<sup>137</sup>

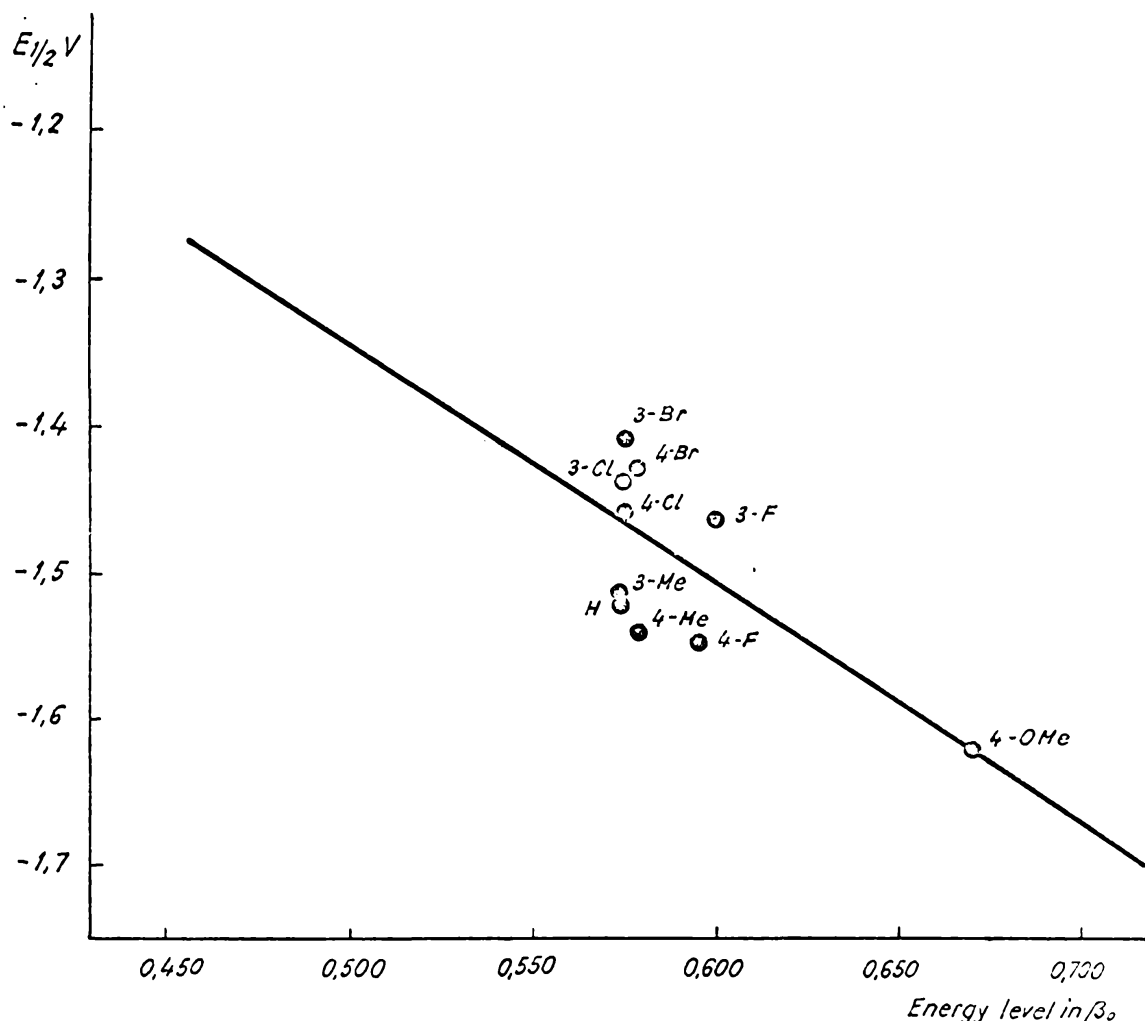


Fig. 36

Diversi alți autori au găsit apoi corelații similiare pentru un mare număr de azine.<sup>143,201-204</sup>

Figura 36 prezintă corelația dintre potențialele de semiundă ale benzoguanidelor meta și para substituite și energia celor mai joși orbitali moleculari  $\tilde{\pi}$  liberi, respectiv (tabelul 21 nivelul +1, în cazul tautomerului III<sub>1</sub>). Deși diferențele dintre valorile cele mai mari și cele mai mici ale potențialelor de semiundă, precum și dintre cele ale energiilor, sunt prea mici pentru o corelație bună, inclinarea de 1,29 eV (30 kcal/mol), este rezonabilă<sup>137,203,204</sup> și poate fi folosită ca o valoare experimentală pentru  $\beta_0$  în cazul compușilor studiați în lucrarea de față, precum și făcut în paragraful 3.2.3.1.

Potențialul de semiundă al p-dimetil-amino-benzoguanidei //A/, este mult prea mic pentru a putea fi prezentat pe baza acestei corelații. Avem aici un nou indiciu că acest compus posedă, foarte probabil, o altă structură tautomeră, ceea ce ar putea fi de natură să ofere o explicație a comportării sale aberante la reducerea polarografică, unde am constatat că, în mediu acid procesul acceptării de electroni decurge cu alt mecanism, iar în mediu alcalin ieșe din corelația liniară verificată pentru ceilalți compuși (fig. 35).

A fost arătat că, în unele cazuri există corelații între potențialele de semiundă și densitatea electronilor

la grupele polarografic active.<sup>205</sup> O asemenea corelație nu pare a fi posibilă la acești compuși. Densitatea electronică la atomii 2 și 4 este practic constantă și nu depinde de natura substituenților.

Se poate constata că o corelație destul de bună, subsistă totuși între potențialele de semiundă și densitatea electronică totală a întregului sistem 2-amino-4-aryl-6-oxo-1H-1,3,5-triazinic, figura 37.

Faptul denotă că, procesul acceptării de electroni are un caracter complicat, ceea ce vine în sprijinul mecanismului propus în paragraful 3.2.4.1.9. din care rezultă că și atomul C<sup>4</sup> poate fi acceptor de electroni alături de C<sup>2</sup>.

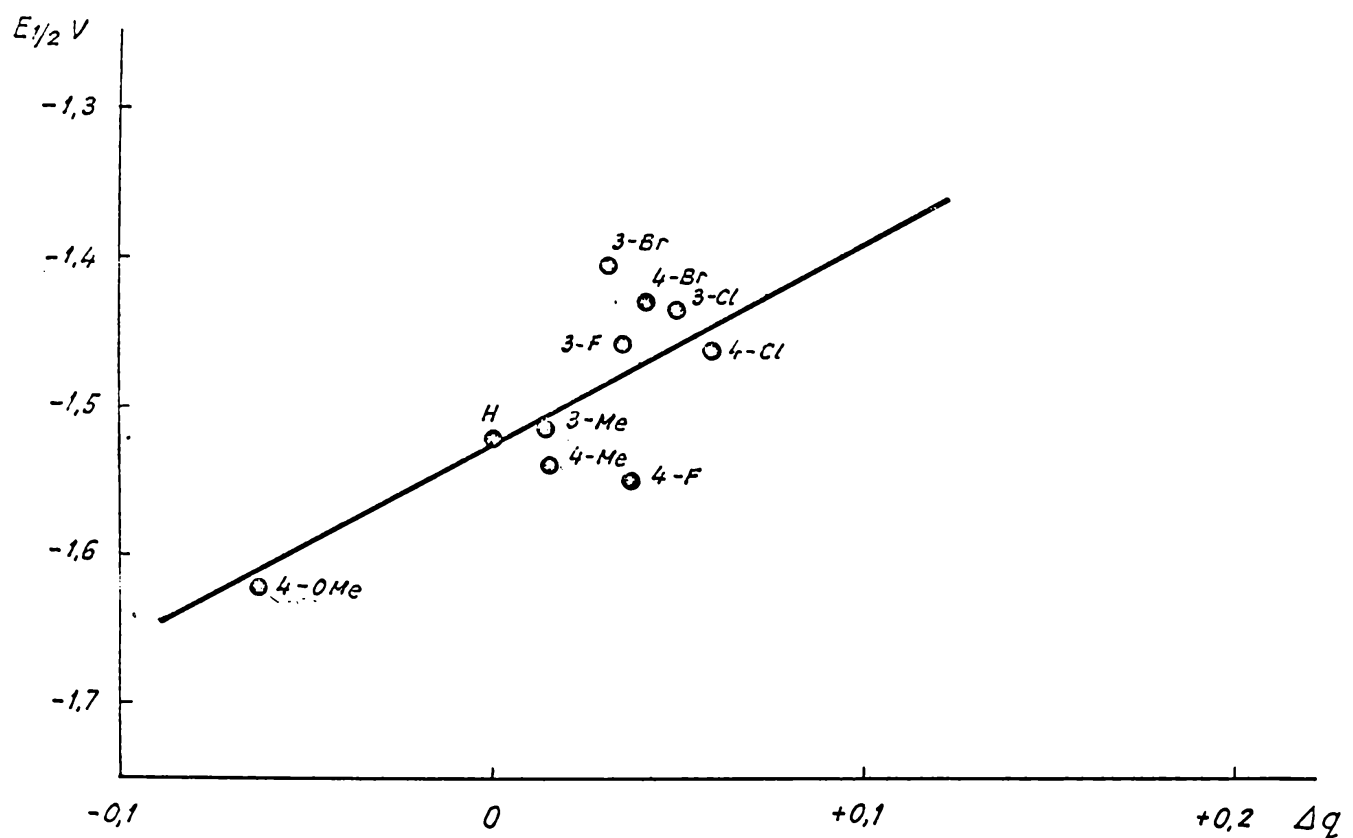


Fig. 37 - Corelarea potențialelor de semilundă cu densitatea electronică totală a nucleelor 1,3,5-triazinic și benzenic.

#### 4.- PARTEA EXPERIMENTALA

Punctele de topire au fost determinate cu ajutorul aparatului Mikro - Heiztisch "Boetius" tip E Sp 4 și în consecință sunt corecte.

Determinările de N % au fost executate după metoda semi-micro Parnas - Wagner .

##### 4.1.- Asupra benziliden-1,5-guanil-ureelor

###### ( IV A )

###### 4.1.1.- Prepararea sulfatului de guanil-uree <sup>26</sup>

Cianguanidina se dizolvă într-un mic exces de acid sulfuric 2 N , încălzit la aproximativ  $80^{\circ}\text{C}$ , cînd reacția exotermă începe să aibă loc, temperatura se ridică la  $100^{\circ}\text{C}$  . Se menține la această temperatură timp de o oră și apoi se filtrează , iar filtratul se lasă să se răcească peste noapte. Sulfatul de guanil-uree se separă sub formă de cristale. Randamentul este aproape cantitativ și apa mură rezultată poate fi întrebuințată la șarja următoare .

4.1.2.- Procedeul de preparare al benziliden-  
-1,5-guanil-ureelor (IV A)

Sulfatul de guanil-uree, preparat ca mai sus, sub formă de pulbere fină, se introduce în acid sulfuric concentrat și se agită cu o baghetă, pînă ce se face o soluție limpă, în care se adaugă apoi o cantitate stochiomeric calculată de aldehidă benzoică substituită.

Se agită din nou și se lasă la temperatura camerei în vas închis, timp de 2 zile.

Solutia sulfurică se varsă în apă rece, unde precipită o substanță de culoare alb-murdar.

Se filtrează și se spală cu apă rece.

Se face apoi o recristalizare din apă fierbinte cu adaos de cărbune activ, obținîndu-se astfel în stare pură benziliden-1,5-guanil-ureea sub formă de sulfat., aproape insolubil în apă rece.

Bazele libere pure nu au putut fi obținute prin neutralizarea acestor soluții. Ele au fost obținute în stare pură numai din soluțiile rezultate prin dizolvarea sulfatilor puri corespunzători în apă fierbinte și neutralizarea acestora cu amoniac. Eventual se face încă o recristalizare (tabela 7).

Compușii preparați după acest procedeu sunt cuprinși în tabelele 6, 7 și 8, atît sub formă de sulfati, cît și sub formă de baze libere.

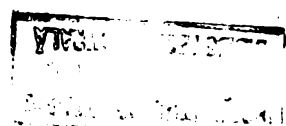
N.B. Aldehidele arilice folosite în această reacție  
sunt provenite din comerț, la fel ca și acidul sulfuric,  
fiind toate de puritate "chimic pur" sau p.a.

4.1.3.- Determinarea cantitativă a guanil-ureei  
în mediul de reacție

Reactivi :

- 1.- Soluție amoniac 2% saturată cu complex nichel-guanil-ureic (75 ml amoniac concentrat/l.).
- 2.- 100 g manitol adus la 1000 ml cu soluție 1.
- 3.- 40 g azotat de nichel cu 6 molecule de apă,  
2 g azotat de amoniu, 100 ml soluție 1 .
- 4.- Hidroxid de sodiu 20% .
- 5.- Amoniac diluat (5 ml amoniac concentrat/l ) .

Proba conținând 0,1 - 0,4 g sulfat de guanil-uree  
în 50 ml soluție 2 , ce conține 3 ml soluție 3 (amortocul  
se face înainte de întrebuițare ) , i se adaugă o canti-  
tate suficientă de soluție 20% hidroxid de sodiu încât  
să se obțină o soluție galben - verzuie în probă. Usual  
2 - 4 ml . Trebuie împiedecată evaporarea amoniacului,  
ceea ce ar duce la precipitarea hidroxidului de nichel.  
Soluția se lasă peste noapte . Se filtrează apoi printr-un  
creuzet G<sub>4</sub> și se spală cu 5 ml soluție 5. Filtratul can-  
titativ se aduce într-un balon cotat de 250 ml ; din



această soluție se prelevă o cantitate care să conțină  
1 . . . .  $3 \cdot 10^{-4}$  atom-grame Ni ( eventual prin folosirea  
unei scări etalon pentru comparație ) . Se dozează apoi  
nickelul chelatometric, cu o soluție de complexon III  
0,01 molară , în prezență de murexid. <sup>206</sup>

Se face o probă oarbă pentru reactivi .

Tabela 26 , cuprinde o serie de determinări din  
care se poate desprinde precizia metodei .

T a b e l a 26

Determinarea cantitativă a  
guanil-ureei

Nr. crt.	Centitatea de sulfat guanilureic reală	Cantitatea de sulfat guanilureic găsită	Cantitatea de sulfat guanilureic găsită	$\bar{x} - x_i$
1	2	3	4	5
1.	0,2004	0,1950	97,30	-1,42
2.	0,2501	0,2488	99,47	+0,75
3.	0,3006	0,2991	99,50	+0,78
4.	0,3507	0,3532	100,71	+1,99
5.	0,1987	0,1949	98,09	-0,63
6.	0,2235	0,2124	95,03	-3,69
7.	0,2484	0,2479	99,80	+1,08
8.	0,2732	0,2699	98,79	+0,07

Tabela 26 (continuare)

1	2	3	4	5
9.	0,2980	0,2937	98,56	-0,16
10.	0,3229	0,3212	99,47	+0,75
11.	0,3477	0,3524	101,40	+2,68
12.	0,1986	0,1956	98,54	-0,18
13.	0,2233	0,3360	101,20	+2,48
14.	0,2481	0,2476	99,80	+1,08
15.	0,2729	0,2732	100,10	+1,38
16.	0,2978	0,2951	99,10	+0,38
17.	0,3226	0,3205	99,35	+0,65
18.	0,3474	0,3407	98,07	-0,65
19.	0,2050	0,2007	97,90	-0,82
20.	0,2306	0,2226	96,53	-2,12
21.	2,2563	0,2513	98,05	-0,37
22.	0,2819	0,2749	97,51	-1,21
23.	0,3075	0,3053	99,28	+0,58
24.	0,3331	0,3390	101,80	+3,08
25.	0,3587	0,3542	98,74	+0,02
26.	0,2001	0,1973	98,60	-0,12
27.	0,2501	0,2479	99,12	+0,40
28.	0,3001	0,2952	98,37	-0,35
29.	0,3250	0,3137	96,52	-2,20
30.	0,1002	0,0987	98,50	-0,22
31.	0,1503	0,1437	95,61	-3,11

$$\text{Media } \bar{x} = 98,72 \quad \sigma = \sqrt{\frac{\sum(x-\bar{x})^2}{n}} = \pm 1,54$$

#### 4.1.4.- Studiul spectroscopic în infraroșu 92

Parte din compușii supuși acestui studiu , au fost reproduși din literatură<sup>3,5</sup>, iar parte sănătății compușii noi sintetizați.<sup>85</sup>

Spectrele în infraroșu au fost executate cu ajutorul unui spectrofotometru tip UR - 10 ( Carl Zeiss Jena ) , în pastile de bromură de potasiu ( domeniu  $400 - 4000 \text{ cm}^{-1}$  ), pentru compușii benziliden-1,5-guanil-ureici sub formă de sulfati și în nujol (  $400 - 1300$  și  $1500 - 2000 \text{ cm}^{-1}$  ) , respectiv hexaclorbutadienă (  $1200 - 1500$  și  $2000 - 4000 \text{ cm}^{-1}$  ) pentru bazele libere .

#### 4.1.5.- Dedublarea în enantiomeri a ( $\pm$ )-benziliden-1,5-guanil-ureei (IV A<sub>1</sub>)

La 5 g (+)-acid tartric în 250 ml apă la  $70^{\circ}\text{C}$  , se adaugă 12,5 g ( $\pm$ )-benziliden-1,5-guanil-uree (1:2 molar) . După 4 zile se obțin 7,5 g tartrat neutru de benziliden-1,5-guanil-uree . Aceasta se recristalizează din 250 ml apă și rezultă 5,2 g diastereoizomer . Randamentul este de 59 % . Acest diastereoizomer cristalizează din mediu apă cu două molecule de apă de cristalizare. Determinarea de N % : găsit/ calculat : 20,2/19,78 . P.t. =  $178^{\circ}\text{C}$  . Puterea rotatorie  $[\alpha]_D^{20} = -25$  , a fost determinată în soluție apăsăză, folosind un polarimetru tip Carl Zeiss Jena .

Prima soluție obținută mai sus, se aduce prin diluare cu apă, la un volum de 600 ml . Apoi i se adaugă 9 g (+)-acid camfor-10-sulfonic , la 75 - 80°C .

După 24 de ore, rezultă 7,5 g cristale aciculare care după filtrare se spală cu apă rece. Randament 72 % . Determinarea de N % : găsit/calculat : 13/13,27 . P.t. = 254,5°C . Puterea rotatorie determinată în soluție apoasă cu ajutorul unui polarimetru tip Carl Zeiss Jena ,  $/ \alpha /_D^{20} = +37,5$  .

(-) -Benziliden-1,5-guanil-ureea , se obține din / (+)-acid tartric + 2(-)-benziliden-1,5-guanil-uree/. $2H_2O$ , prin tratarea unei soluții a acestuia cu amoniac . Din această soluție neutralizată (-)-benziliden-1,5-guanil-ureea cristalizează sub formă de monohidrat , cu un randament de 81,6 % . P.t. = 151 - 2°C . Determinarea de N % : găsit/calculat : 26,6/26,92 . Puterea rotatorie determinată în soluție de N,N-dimetil-formamidă  $/ \alpha /_D^{20} = -37,5$  , cu ajutorul unui polarimetru Carl Zeiss Jena .

(+)-Benziliden-1,5-guanil-ureea poate fi obținută din soluția diastereoizomerului / (+)-acid camfor-10-sulfonic + (+)benziliden-1,5-guanil-uree / , numai prin neutralizare cu o soluție diluată de hidroxid de sodiu . Din această soluție (+)-enantiomerul cristalizează cu un mol de apă de cristalizare . Randament

77,5 %. P.t. = 151 - 2°C . Puterea rotatorie s-a determinat cu un polarimetru Carl Zeiss Jena în soluție DMF .  $[\alpha]_D^{20} = +37,5$  .

4.1.6.- Acetilarea benziliden-1,5-guanil-ureei <sup>85</sup>

4.1.6.1.- Monoacetil-derivatul (rezumativ 2-fenil-4-acetilamino-6-oxo-1H,3H-1,3,5-triazina)

Intr-o eprubetă se introduc 1,1 g benziliden-1,5-guanil-uree și 2,4 ml anhidridă acetică ( 1:4 moli ) . Amestecul se încălzește pe baia de apă la 50°C . După 15 minute , benziliden-1,5-guanil-ureea se solvă complet și în acest moment se introduce una picătură de piridină . Se încălzește apoi , în continuare , la aceeași temperatură 50°C , timp de 2 ore .

După răcire cristalele formate se filtrează și se spală pe filtru de două ori cu cîte 3 ml acetat de etil . După o recristalizare din apă , se obțin cristale aciculare incolore .

Randament 77 % , P.t. = 230 - 1°C . Determinarea de N % : găsit/calculat : 24,3/24,1 . Analiza grupei acetil, moli : găsit/calculat : 1,02/1,0 .

4.1.6.2.- Triacetil-derivatul (1,3-diacetil-  
-2-fenil-4-acetil-amino-6-ono-1,3,5-  
-triazina )

Intr-o eprubetă se introduc 1,1 g benziliden-1,5-guanil-uree și 4,8 ml anhidridă acetică (raport molar 1:8). Amestecul se încălzește pe baia de apă la fierbere. La solvirea completă a benziliden-1,5-guanil-ureei, se introduce o picătură de piridină. Încălzirea continuă la temperatura băii de apă timp de 6 ore. După răcire, se prinde în masă. Această masă se sparge și se filtrează. Se spală de două ori cu cîte 3 ml acetat de etil. Apoi se recristalizează din benzen, rezultînd produsul sub formă de cristale incolore.

Randament 50%, P.t. = 110 - 111°C. Determinarea de N % : găsit/calculat : 17,7/17,78. Analiza grupei acetil, moli, găsit/calculat : 2,7/3.

4.1.7.- Oxidarea benziliden-1,5-guanil-ureei  
la benzoguanidă 85

Se face o soluție din 1,7 g  $\approx 0,9 \cdot 10^{-2}$  moli benziliden-1,5-guanil-uree în 250 - 300 ml apă, care se acidulează cu 1 ml acid sulfuric conc.  $= 2 \cdot 10^{-2}$  moli și se încălzește pînă la dizolvarea completă (aproximativ 80°C), cînd se adaugă o soluție fierbinte de 1,1 g permanganat de potasiu în aproximativ 200 ml apă, ceea ce reprezintă un excedent de 17% față de can-

titatea calculată pentru 3 echivalenți de oxigen ( 0,94 g ) . Se menține amestecul la temperatura de 80°C , pînă ce filtratul devine incolor ( se fac probe ). Se filtrează apoi toată soluția pentru îndepărtarea bioxidului de mangan format .

Benzoguanida , cristalizează din această soluție , după răcire , ca bază liberă , cu un mol apă de cristalizare , sub formă de cristale aciculare , perfect incolore (P.t. = 327 - 8°C ! . Rendament 63,7 % . Nu s-a mai prelucrat soluția mură în vederea izolării restului de benzoguanida , care nu s-a separat în condițiile date . Determinarea N % : găsit/ calculat : 27,3/27,05 .

4.1.8.- Metodă cromatografică în strat subtire de separare . Recunoașterea și dozarea a benziliden-1,5-guanil-ureelor și benzoguanidelor 120

Testarea metodei s-a făcut cu toată acuratețea în cazul reprezentanților celor mai simpli (nesubstituiri la nucleul benzenic) .

4.1.8.1.- Prepararea compusilor puri

Benziliden-1,5-guanil-ureea , a fost preparată prin

reacția dintre guanil-uree și aldehida benzoică în mediu de acid sulfuric concentrat.<sup>3</sup>

Benzoguanida a fost obținută în stare pură, prin oxidarea cu permanganat de potasiu a unei soluții apoase de benziliden-1,5-guanil-uree, acidulată cu acid sulfuric.<sup>85</sup>

Pentru scop analitic, au fost preparate soluții metanolice ale acestor doi compuși, cu o concentrație pentru fiecare de  $2 \cdot 10^{-1}$  g.l<sup>-1</sup>.

#### 4.1.8.2.- Cromatografia în strat subțire

Plăcile de 20.20 cm, cu un strat de 250 microni (Silica Gel G. to Sthal for TLC ; E. Merck Ag. Darmstadt) au fost preparate prin folosirea unui aplicator CAMAG. Uscarea lor s-a făcut la temperatura camerei.

Amestecul de solventi folosit este : benzen - acetona - metanol (8 : 2,5 : 2,5), iar pentru detectie s-a folosit clor gazos + iodură de potasiu 1% și amidon solubil 5% în amestec (1:1).

Soluțiile compușilor puri, sau amestecul acestora (1 - 1  $\mu$ l), au fost aplicate pe plăci de 20.20 cm, cu ajutorul unei siringi Hamilton de 10  $\mu$ l. La fel s-a procedat și cu soluțiile de analizat. Plăcile au fost păstrate într-un vas (22.22.9,5 cm) și dezvoltate prin

metoda ascendentă . După aproximativ 40 de minute , plăcile au fost scoase , uscate la temperatura camerei și apoi expuse pentru 5 minute ( într-un vas închis , în care existau două păhărele conținând permanganat de potasiu și acid clorhidric aproape ) , la acțiunea unei atmosfere de clor și apoi pulverizate cu un amestec de iodură de potasiu 1% și amidon solubil 5% ( 1:1 ) , pentru detectare .

Dozările cantitative au fost făcute prin două metode : densitometrică , în care caz s-a folosit un aparat Cromoscan de tip Joyce Loeble , <sup>132</sup> și metoda de evaluare a spoturilor , după Purdy și Truter. <sup>133</sup>

#### 4.2.- Așupra guanidelor II A (2-amino-4- -aril-6-oxo-1H-1,3,5-triazinelor)

##### 4.2.1.- Sinteza unor benzoguanide

Benzoguanidele luate în studiu au fost reproduse în parte din literatură , iar în parte au fost sintetizate ca produși noi .

In acest scop au fost folosite două procedee .

4.2.1.1.- Procedeul după D. Nagy <sup>46</sup>

Un mol cianguanidină , se adaugă treptat și sub agitare puternică, unei soluții de acid benzoic substituit ( 0,88 moli ) , în 9,1 moli oleum 3% . Temperatura se menține între 20 - 30°C , prin răcire cu ghiată . Masa de reacție se toarnă apoi peste ghiată, cînd precipită sărurile acil-guanil-ureelor . Aceste săruri ale acil-guanil-ureelor ciclizează ușor la benzoguanide , prin neutralizare și încălzire în soluția apoasă .

Cianguanidina și acizii benzoici substituiți , au fost proveniți din comerț . Acidul p-dimetilamino-benzoic a fost preparat după literatură. <sup>207</sup>

4.2.1.2.- Oxidarea aralchiliden-1,5-guanil-ureelor <sup>85</sup>

2-Amino-4-fenil-6-oxo-1H-1,3,5-triazina și 2-suino-4(4'-nitro-fenil)-6-oxo-1H-1,3,5-triazina , au fost obținute în stare foarte pură , prin procedeul descris la punctul 4.1.6.

4.2.2.- Spectrele în infraroșu <sup>134</sup>

Spectrele în infraroșu a benzoguanidelor au fost executate în pastile de bromură de potasiu , folosind un spectrofotometru de tip UR - 10 (Carl Zeiss Jena) .

4.2.3.- Spectrele UV <sup>134</sup>

Spectrele de absorbție în UV ale 2-amino-4-aryl-6-oxo-1H-1,3,5-triazinelor substituite , au fost obținute în metanol ( $1 \cdot 10^{-4}$  mol.l<sup>-1</sup>) , cu ajutorul unui spectrograf UV Unicam SP - 800 , de la 200 la 800 nm .

4.2.4.- Reducerea polarografică în seria benzoguanidelor (III A)

4.2.4.1. - Comportarea polarografică a benzoguanidei (III A) <sup>119</sup>

Polarogramele au fost înregistrate cu următoarele două tipuri de polarografe : LP 60 ( Laboratori pristroje , Prague ) și PO<sub>4</sub> ( Radiometer , København ) .

Soluția tampon , după Britton și Robinson , folosită , se compune dintr-un amestec format din 0,04 moli acid acetic , 0,04 moli acid ortofosforic și 0,04 moli acid boric , care se neutralizează cu soluție de 0,2 NaOH .

Valorile pH au fost măsurate cu ajutorul unui elec- trod de sticlă folosind următoarele tipuri de pH-metre : PHM - 4 ( Radiometer , København ) și MV 11 S ( pH-Mess- gerät Clamann & Grahnert , Dresden ) .

Pentru determinările culometrice , s-a folosit un înregistrator Amel 558 ( Milano ) , și un potențiosstat

Wenking ( Gerhard Bank Electronik , Göttingen ) .

Măsurătorile polarografice normale , au fost făcute cu o celulă Kalousek , având separat un electrod de calomel saturat .

In electroliza la potențial controlat , pentru determinări culemetrice , s-a folosit o celulă de volum mic , cu un electrod de mercur cu suprafață mare și o celulă de volum mic după Mancusek <sup>208</sup> , în care caz a fost folosit electrodul de mercur picurător .

Electrozii de mercur picurători - capilare normale verticale - au posedat următoarele caracteristici :

1)-  $m = 1,523 \text{ mg.s}^{-1}$  ,  $t_1 = 3,76 \text{ s}$  (  $h = 70 \text{ cm}$  ) și

2)-  $m = 2,19 \text{ mg.s}^{-1}$  ,  $t_1 = 4,2 \text{ s}$  (  $h = 70 \text{ cm}$  ) .

Timpul de picurare ,  $t_1$  , se referă la apă și circuit deschis .

4.2.4.2.- Comportarea polarografică a benzo-  
guanidelor meta- și para-substituite <sup>194</sup>

Toate polarogramele su fost înregistrate cu un polarograf PO<sub>4</sub> ( Radiometer - København ) . Valorile pH su fost măsurate cu ajutorul unui electrod de sticlă , folosind pH-metru MV 11 S ( Dresden ) .

Capilară folosită pentru electrodul de mercur picurător, a avut următoarele valori pentru  $m$  și  $t_1$  în apă și în circuit deschis :

$$m = 2,19 \text{ mg} \cdot \text{sec}^{-1} \quad \text{și} \quad t_1 = 4,2 \text{ s}$$

la  $H = 70 \text{ cm}$ .

S-au înregistrat cîte nouă polarograme pentru fiecare compus.

Toate aceste determinări au fost efectuate la  $25 \pm 0,1^\circ\text{C}$ , folosind concentrații de  $2 \cdot 10^{-4} \text{ mol} \cdot \text{l}^{-1}$  în soluție tampon, după Britton și Robindon, cu 10% DMF.

## R E Z U M A T C O N C L U Z I V

Principalele rezultate ale prezentei lucrări , fie de ordin preparativ fie de ordin fizico - chimic și teoretic , pot fi rezumate după cum urmează.

1.- S-a pus în valoare metoda găsită de A. Ostrogovich <sup>3</sup> pentru obținerea benziliden-1,5-guanilureei și extinsă de acelaș autor împreună cu V. Bena - Medean <sup>4</sup> la alte cîteva aldehyde benzoice mono-substituite , incluzând în cercetările de ordin preparativ relative la obținerea de noi compuși benziliden-1,5-guanilureici o seamă de alte aldehyde aromatice cu nucleu benzenic. În afara unor benzaldehyde mono-substituite care nu au fost încercate mai înainte , metoda preparativă a fost extinsă și la trei diclor benzaldehyde ( 2,4- , 2,6- și 3,4- ) , deasemenea la două din cele trei ftalaldehyde , anume la izo- și la tereftalaldehyda. În cazul acestor compuși dialdehydici s-a constatat că ambele grupe carbonilice reacționează practic deopotrivă de repede cu sulfatul de guanil-uree

în condițiile procesului obișnuit care decurge în mediu de  $H_2SO_4$  conc. , la temperatura ordinată , astfel că nu se pot obține decât derivații corespunzători p- și m-  
-fenil-bis-1,3,5-triazinici.

S-au obținut astfel cu bune randamente ce caracterizează în general metoda 16 noi reprezentanți ai clasei benziliden-1,5-guanil-ureelor ( IV A ) , dintre care cei doi corespunzători tere- și izo-ftalaldehydei pot fi incluși deasemenea în aceeaș clasă , dacă se consideră unul din cele două sisteme triazinice cu structură R-metilen-1,5-guanilureică drept substituent X în formula generală IV A .

Toți acești compuși au fost caracterizați atât sub forma sulfaților neutri care constituie produsul imediat al sintezei cât și sub forma bazelor libere ( astfel că numărul combinațiilor nou preparate se ridică efectiv la 32 ).

2.- În perspectiva unui eventual studiu privind cinetica reacției de formare a compușilor IV A amintiți la punctul 1.- s-a elaborat o metodă volumetrică indirectă , principal convenabilă pentru determinarea cantitativă a guanil-ureei nereacționate în mediul de reacție , metodă bazată pe formarea complexului de  $Ni^{2+}$  și pe titrarea complexometrică a excesului de Ni în prezență de murexid ca indicator.

3.- S-a verificat caracterul de substanțe racemice al compușilor benziliden-1,5-guanil-ureici IV A

( caracter sezisat de A. Ostrogovich ) realizîndu-se de-dublarea reprezentantului celui mai simplu (IVA cu X=H , respectiv IV A<sub>1</sub> ).

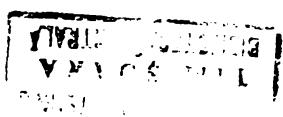
Cei doi enantiomeri au fost preparați în stare pură și caracterizați fizico - chimic prin determinarea puterii rotatorii specifice /  $\alpha_D^{20}$  .

S-a efectuat deasemenea analiza termică a amestecului de enantiomeri puri în diverse proporții , dia-grama punctelor de topire scoțînd în evidență caracterul de pseudo - racemic al ( ± )-benziliden-1,5-guanil-ureei.

4.- Prin reacția de acetalare a benziliden-1,5-guanil-ureei ( IV A<sub>1</sub> ) cu anhidridă acetică în prezență de piridină , s-a putut prepara atât un derivat mono-acetilic ( presupтив 2-fenil-4-acetyl-amino-6-oxo-1H,3H-1,3,5-triazina) cît și - la temperatură mai ridicată și cu un exces mai mare de anhidridă - triacetil-derivatul corespunzător.

5.- Prin oxidarea benziliden-1,5-guanilureei IV A<sub>1</sub> , cu KMnO<sub>4</sub> în mediu de acid sulfuric diluat s-a obținut cu randament de 63,7% benzoguanida III A<sub>1</sub> , rezalizîndu-se astfel pentru prima oară trecerea de la o clasă la alta , ca proces preparativ pe cale chimică. Reacția a fost extinsă cu succes și la obținerea p-nitro-benzoguanidei.

6.- S-a efectuat un studiu spectroscopic în IR privind benziliden-1,5-guanil-ureea IV A<sub>1</sub> și un număr de derivați mono-substituți ai săi în nucleul benzenic



stît ca baze libere cît și ca sulfati neutri , făcîndu-se astfel cunoscute principalele caracteristici vibrationale ale clasei respective încă necercetate din acest punct de vedere și aducîndu-se totodată un nou aport la cunoașterea spectrelor infraroșii în domeniul derivatilor acidului carbonic ( precum trebuie priviți și compușii în cauză ca derivați guanil - ureeici ) . Pe baza acestui studiu s-a putut conchide că :

a) În rețeaua cristalină bazele libere subsistă foarte probabil sub forma de asociați echimoleculari a doi tautomeri legați reciproc prin triple punți de hidrogen.

b) Protonarea benziliden-1,5-guanil-ureelor are loc la atomul de azot angajat în dubla legătură endociclică ( apartinind aşadar grupării guanidice ).

7.- Punînd în valoare metoda preparativă găsită de Nagy<sup>46</sup> ( sinteza directă a benzoguanidelor III A din cianguanidină și acizi benzoici în mediu de oleum 3% ) s-au sintetizat un număr de 12 benzoguanide variat substituite în nucleul benzenic , dintre care 5 reprezentanti încă nedescrisi în literatură.

8.- Benzoguanidele disponibile au fost și ele supuse studiului spectroscopic în IR din care s-a putut conchide că aceste combinații 1,3,5-triazinice asumă în rețeaua cristalină structura unui tautomer amino-oxo- puternic asociat prin legături de hidrogen.

9.- Aceleși benzoguanide III A au fost ca-

racterizate prin spectrele lor în UV.

10.- S-a adus o contribuție teoretică de ordin quanto-chimică la elucidarea structurii benzoguanidelor III A , evaluindu-se pe baza calculelor după metoda Hückel ( atât cu varianta HMO propriu zisă cît și cu varianta  $\omega$ -HMO ) stabilitatea relativă a celor trei tautomeri amino-oxo- principial posibili , precum și energiile de tranziție observate în spectrele electrice.

Aceste calcule quanto - chimice au dus la următoarele concluzii :

a) Tautomerul comparativ cel mai stabil este cel notat în lucrare cu III<sub>1</sub> ( 2-amino-4-R-6-oxo-1H-1,3,5-triazina ) .

b) Intre cei trei tautomeri cu stabilitate apropiată ( III<sub>1</sub> , III<sub>2</sub> și III<sub>3</sub> ) nu există diferențe importante privind energiile tranzițiilor electronice calculate , toți trei fiind în bună concordanță cu rezultatele experimentale cel puțin pentru tranzițiile p.

Doar p-dimetil-amino-benzoguanida constituie o excepție care sugerează că acest compus are o strucțură diferită de a celorlalți reprezentanți ai clasei.

c) În ciuda nesimetriei constituționale a sistemului 1,3,5-triazinic din acești compuși , datorită diversității resturilor atașate inelului , acest sistem se caracterizează prin simetria repartitionii electronice în legăturile endociclice care posedă aceste

un caracter parțial de dublă legătură , încit caracterul aromatic al inelului se menține.

d) Densitatea electronică la atomii inelului 1,3,5-triazinic este determinantă dominantă de efectul atrăgător de electroni al atomului de oxigen carbonilic și al azotului grupăi amino și numai în subsidiar de inelul benzenic ( respectiv mai cu osebire de substituentul X ) .

11.- S-a efectuat pe cale polarografică un studiu amănunțit al procesului de reducere al benzoguanidei III ~~explicativ~~ în mediu mai pronunțat acid ( pH = 1 + 3 ) cît și în mediu slab acid și slab alcalin ( pH = 5 + 8,5 ). Acest studiu a permis a elucida în bună măsură mecanismul acceptării electronilor și dependența sa de pH , stabilindu-se că :

a) In mediu mai pronunțat acid reducerea decurge în două trepte mono-electronice din care prima trebuie privită ca reversibilă.

b) In tot domeniul concentrațiilor joase de hidrogen ioni , acceptarea ambilor electroni are loc simultan și ireversibil.

c) Tinînd cont de aceste date s-au putut trage concluzii cu privire la mecanismul complex al procesului de hidrogenare în ansamblu în cele două domenii de pH ( schemele 28 pag. 127 și 29 pag. 128 ) .

12.- Cercetările polarografice au fost extinse asupra tuturor benzoguanidelor disponibile , variat sub-

stituite în pozițiile 3 și 4 ale nucleului benzenic. S-a stabilit astfel că :

a) În mediu mai acid p-metoxi-, p-dimetil-amino- și p-nitro-benzoguanida se reduc spre deosebire de celelalte într-o singură treaptă bielectronică.

b) În cazul p-nitro-benzoguanidei care prezintă două centre polarografic active și în consecință se caracterizează printr-o polarogramă cu trei trepte, s-a putut demonstra că prima treaptă quadri-electronică marchează reducerea grupei  $\text{-NO}_2$  la  $\text{-NHOH}$ , pe cind hidrogenarea dublei legături din inelul triazinic este marcată de treapta a 2-a bielectronică căreia îl urmează în treapta 3-a reducerea bielectronică a grupei  $\text{-NHOH}$  la  $\text{NH}_2$ .

13.- Pe baza dărilor obținute prin aceste cercetări polarografice s-a verificat valabilitatea ecuației Hammett - Zuman pentru mai toți compușii în cauză, constatăndu-se existența unei bune respectiv satisfăcătoare corelații a potențialelor de semiconducție cu constantele Hammett ale substituenților din pozițiile meta și para ( $r = 0,978$  și  $r = 0,986$  în mediu mai acid și  $r = 0,916$  în mediu slab alcalin).

Excepție fac doar p-dimetilamino- și p-hidroxilamino-benzoguanida, ceea ce corespunde constatărilor făcute de alții autori în privința abaterii acestor grupe de la corelația liniară în diverse alte combinații.

14.- Rezultatele de mai sus au fost confrunăte pentru toate benzoguanidele luate în studiu cu cele ale calculelor mecanic quantice. A reieșit astfel :

a) Existența unei oarecare corelații între potențialele de semiundă și energiile celor mai joși orbitali moleculari  $\pi$  liberi în toate cazurile în care s-a găsit a fi valabilă ecuația Hammett - Zuman . Inclinația dreptei de corelare cu valoarea de 1,29 eV ( 30 Kcal/mol ) se arată rezonabilă și tocmai de aceea și fost folosită ca valoare experimentală pentru  $\beta_0$  în cazul compușilor studiați.

b) O oarecare corelație a mai putut fi sugerată ca existență și între potențialele de semiundă pe de o parte și densitatea electronică totală a întregului sistem 2-amino-4-aryl-6-oxo-1H-1,3,5-triazinic pe de altă parte , dar nu între primele și densitatea electronică a grupei polarografic active , aflate sub influența substituentului X , densitate care se arată practic constantă pe baza calculelor. Acest aspect denotă că procesul acceptării de electroni are un caracter complicat , ceea ce vine în sprijinul mecanismului propus din care reiese că și atomul C<sup>4</sup> poate fi acceptor de electron alături de C<sup>2</sup>.

c) În ambele corelări cu aceste mărimi quantică-chimice se regăsește abaterea deja observată în cadrul corelării Hammett - Zuman pentru p-dimetil-amino-benzoguanidă. Astfel calculul mecanic quantic sugerează

în concordanță cu datele experimentale că acest compus  
asumă probabil altă constituție tautomeră și deci că  
mecanismul procesului de reducere este deosemenea dife-  
rit în cazul său.

B I B L I O G R A F I E

---

1. A.Ostrogovich și G.Ostrogovich, Gazz.chim.ital., 66, 48 (1936); 68, 688(1938)
2. G.Ostrogovich : rezultate inedite
3. A.Ostrogovich, Gazz.chim.ital., 39, 540(1909)
4. A.Ostrogovich și V.B.Medean, Gazz.chim.ital., 29, 141 (1929)
5. A.Ostrogovich și V.B.Medean, Gazz.chim.ital., 59, 198(1929)
6. A.Ostrogovich și V.B.Medean, Gazz.chim.ital., 64, 792(1934)
7. F.Sorm, A.Piskala, A.Cihak și J.Vesely, Experientia, 20, 202(1964)
8. F.Sorm și J.Vesely, Neoplasma, 11, 123(1964)
9. V.Fucik, S.Zadrazil, Z.Sormova și F.Sorm, Coll.Czech.Chem. Comm., 30, 2883(1965)
10. F.Sorm, J.Vesely și A.Cihak, Acta Biochim. Pol., 13, 385(1966)
11. A.Cihak, R.Tykva și F.Sorm, Coll.Czech.Chem. Comm., 21, 3015(1966)
12. F.Sorm, Z.Sormova, K.Raska, Jr. și M. Jurovrik, Rev. Roumaine Biochim., 2, 139(1966)
13. J.Vesely, J.Seifert, A.Cihak și F.Sorm, Internat.J.Cancer, 1, 31(1966)
14. A.Cihak, J.Vesely și F.Sorm, Biochim.Biophys.Acta, 108, 516(1965)
15. F.Sorm și J.Vesely, Experientia, 21, 581(1965)
16. A.Cihak și F.Sorm, Coll.Czech.Chem. Comm., 30, 2091(1965)
17. A.Cihak și F.Sorm, Coll.Czech.Chem. Comm., 30, 2137(1965)
18. J.Vesely și F.Sorm, Neoplasma, 12, 3(1965)
19. J.Vesely, A.Cihak și F.Sorm, Biochem.Pharmacol., 1, 1(1963)
20. J.Vesely, A.Cihak și F.Sorm, Coll.Czech.Chem. Comm., 25, 341(1968)
21. A.Cihak, J.Vesely și F.Sorm, Coll.Czech.Chem. Comm., 22, 3427(1967)

22. A.Cihak, J.Vesely și F.Sorm, Biochim.Biophys.Acta, 134, 486(1967)  
 23. A.Cihak, J.Vesely și F.Sorm, Coll.Czech.Chem.Comm., 34, 1060(1969)  
 24. A.Cihak și J.Vesely, Coll.Czech.Chem.Comm., 34, 910(1969)  
 25. A.Cihak, H.Vesela și F.Sorm, Biochim.Biophys.Acta, 166, 277(1968)  
 26. J.Vesely, A.Cihak și F.Sorm, Internat.J.Cancer, 2, 639(1967)  
 27. F.Sorm și J.Vesely, Neoplasma, 15, 339(1968)  
 28. J.Vesely, A.Cihak și F.Sorm, Cancer Rss., 30, 2180(1970)  
 29. A.Piskala și F.Sorm, Ger.Offen 1.935.027(Cl C 07d)04 iun 1970  
 30. A.Piskala și F.Sorm, Ger.Offen 1.935.028(Cl C 07d)04 iun 1970  
 31. F.Sorm și A.Piskala, Ger.Offen 1.922.702(Cl C 07d)20 nov 1969  
 32. A.Piskala și F.Srm, Ger.Offen 2.105.468(Cl C 07d)18 nov.1971  
 33. F.Sorm și A.Piskala, Czech. 116.297(Cl C 07d)15 oct.1965  
 34. F.Sorm și A.Piskala, Czech. 114.716(Cl C 07d)15 mai 1965  
 35. M.Nencki, Ber.disch.chem.Ges., 9, 232(1876)  
 36. M.Nencki, Ber.disch.chem.Ges., 7, 775(1874)  
 — 37. International Union of Pure and Applied Chemistry (IUPAC) "Nomenclature of Organic Chemistry" Sections A,B & C, Butterworths, London 1969.  
 38. A.Ostrogovich, Gazz.chim.ital., 27, 222(1897)  
 39. H.Bredereck,F.Effenberger și H.Hofmann, Chem.Ber., 97, 61(1964)  
 40. G.Ostrogovich,I.Iorga și Maria Nutiu, Bull.st.tehn.al I.P. "Traian Vuia", Timisoara, Seria Chimie, 17(31), 89(1972)  
 41. D.Kaiser și J.Thurston, U.S. 2.397.667 (1946)  
 42. D.Kaiser și J.Thurston, U.S. 2.418.944 (1947)  
 43. P.Adams,D.W.Kaiser,D.E.Nagy,G.A.Peters,R.L.Speery și J.T. Thurston, J.Org.Chem., 17, 1162(1952)  
 44. G.Ostrogovich și A.Nemeș, rezultate inedite  
 45. H.Bayer și W.Lemke, Chem.Ber., 99, 2123(1966)  
 46. D.E.Nagy, U.S. 2.481.526(1949)  
 47. E.M.Smolin și L.Rapoport "s-Triazines and Derivatives" (Ed.A. Weissberger) Interscience, New York 1959 p.193  
 48. A.Piskala, Coll.Czech.Chem.Comm., 32, 3966(1967)  
 49. Z.Arnoald și M.Kornilev, Coll.Czech.Chem.Comm., 29, 645(1964)  
 50. A.Holly, Coll.Czech.Chem.Comm., 31, 2973(1966)  
 51. R.Andreasch, Monatsh., 48, 145(1927)  
 52. W.Hentrich și M.Hardtmann, Ger. 543.112(19307)  
 53. F.E.King, R.M.Acheson și P.C.Spensley, J.Chem.Soc., 1948, 1366  
 54. M.T.Danghian, Doklady Akad.Nauk.Armyan SSR, 5, 107(1946)  
 55. M.T.Danghian, Doklady Akad.Nauk.Armyan SSR, 8, 15(1948)  
 56. M.T.Danghian și S.G.Titanian, Nauk Trudu Erevan Gosudarst. Univ.Ser.Chim.Nauk., 53, 27(1956)  
 57. A.V.Davidov, A.J.Nickelstein,E.K.Scerbakov,A.V.Fokin și T.N.Koginik la, Zhar. obshhei Khim., 38, 2499(1968)

58. R.Hartenstein și I.Fridovich, J.Org.Chem., 32, 1653(1967)
59. C.Grundmann,C.Schwennicke și E.Bayer, Chem.Ber., 87, 19 (1954) ; Deutsche Hydrierwerke, AG, German Patent 861.384 (1941); C.Grundmann, Chem.Zentr., 124, 3152 (1953)
60. F.E.King, R.M.Acheson și P.C.Spensley, J.Chem.Soc., 1948, 1366
61. I.Flament,R.Promel și R.H.Martin, Bull.Soc.chim.belges, 73, 585(1964)
62. J.R.Dudley,J.T.Thurston,F.C.Schaefer,D.Holm-Hansen,C.J. Hull și P.Adams, J.Amer.chem.Soc., 73, 2986(1951)
63. W.W.Cuthbertson și J.S.Moffatt, J.Chem.Soc., 1948, 561
64. A.Kreutzberger, J.Amer.Chem.Soc., 79, 2629(1957)
65. A.Ostrogovich, Bull.Soc.Stiinte Buc., 21, 27(1912)
66. A.Ostrogovich, Rend.Acad.Lincei, 21, 213(1912)
67. A.Piskala și J.Gut, Coll.Czech.Chem.Comm., 28, 1681(1963)
68. A.Piskala și F.Sorm, Coll.Czech.Chem.Comm., 29, 2060(1964)
69. A.Ostrogovich și V.Galea, Gazz.chim.ital., 65, 357(1935)
70. A.Ostrogovich, Bul.Soc.Stiinte Buc., 14, 288(1905)
71. I.Flament,R.Promel și R.H.Martin, Helv.chim.Acta, 42, 485(1959).
72. I.Flament,R.Promel și R.H.Martin, Helv.chim.Acta, 43, 1163(1960)
73. J.Jonas,M.Horak,A.Piskala și J.Gut, Coll.Czech.Chem.Comm., 27, 2754(1962)
74. P.Pithova,A.Piskala,J.Pitha și F.Sorm, Coll.Czech.Chem.Comm., 30, 1626(1965)
75. A.Pullman, Biochim.Biophys.Acta, 87, 365(1964)
76. A.Pullman și B.Pullman "Quantum Biochemistry" Interscience Publishers, New York 1963
77. A.Pullman și B.Pullman, Biochim.Biophys.Acta, 59, 343(1959)
78. B.Pullman, Israel J.Chem., 1, 412(1964)
79. B.Pullman, Biopolymers, Symposia Nr.1, 141(1964)
80. P.Pithova,A.Piskala,J.Pitha și F.Sorm, Coll.Czech.Chem.Comm., 30, 2301(1965)
81. G.Ostrogovich și R.Bacaloglu, Studii si Cercetări Sti., Chim. Maza Cercetări Sti., Timisoara, 9, 273(1962); 10, 59, 8127e(1963)
82. R.C.Hirt,R.E.Schmidt,H.C.Straus și J.G.Koren, ...Chem. and Eng.Data, 6, 610(1961)
83. A.Ostrogovich și I.Cădariu, Stud.Univ.Babeș-Bolyai, Chem., 2, 19(1963)

84. N.V.Hromov-Borisov și E.V.Kisareva, Zhur.obshchei Khim., 29, 3010(1959)
85. G.Ostrogovich și Fl.Neamțiu, A 3-a Conferință Republicană de Chimie, Timișoara, 1966.
86. S.Sankaranarayanan, Proc.Nat.Instit.Sci., India, 1943, 77
87. G.Ostrogovich și Fl.Neamțiu, Bul.st. și tehnici al IPT Seria Chimie, Tom 18, 55(1973)
88. Hj.Lidholm, Ber.disch.Chem.Ges., 46, 156(1913)
89. G.H.Buchanan și G.Barsky, J.Amer.Chem.Soc., 52, 195(1930)
90. C.D.Garby, Ind. and Engin.Chem., 17, 266(1925)
91. G.Ostrogovich și R.Bacaloglu, Studii și Cercetări St. Chim.Baza Cercetări St.Timisoara, 7, 273(1962)
92. R.Bacaloglu, Fl.Neamțiu, Ilse Bacaloglu și G.Ostrogovich Rev.Roumaine Chem., 17, 747(1972)
93. A.Piskala, Coll.Czech.Chem.Comm., 28, 2365(1963)
94. G.Ostrogovich, Ilse Bacaloglu, M.Safta și R.Bacaloglu, date nepublicate.
95. A.Rosens, Bull.Soc.chim.belges, 59, 377(1950)
96. R.Newman și R.M.Badger, J.Amer.Chem.Soc., 74, 3545(1952)
97. A.L.Finkelstein, Optica i spectr., 5, 264(1958)
98. G.Ostrogovich, R.Bacaloglu și E.Catalina, Studii și Cercetări Sti.Chim., Baza Cercetări Sti., Timișoara, 10, 143(1963)
99. M.Cignitti și L.Paoloni, Rend.Inst.Sup.Sanita, 23, 1037 (1960)
100. W.M.Padgett și W.F.Hamner, J.Amer.Chem.Soc., 80, 803 (1958)
101. E.Lieber, D.R.Levering și L.J.Patterson, Analyt.Chem., 23, 1594(1951)
102. P.L.Pickard și E.W.Pooly, J.Amer.Chem.Soc., 76, 5169(1954 )
103. J.Fabian, M.Legrand și Poirier, Bull.Soc.chim.France, 1956, 1499
104. K.S.Suresh, J.Ramachadran și CNR Rao, J.Sci.Ind.Res. India, 20b, 203(1961)
105. M.Takimoto, Nippon Kagaku Zasshi, 85, 168(1964)
106. D.Prevořek, Bull.Soc.chim.France, 1958, 788
107. D.Prevořek, J.Phys.Chem., 66, 769(1962)
108. C.L.Angell, N.Sheppard, A.Yamaguchi, T.Miyazawa și S.Mizushima, Trans.Faraday Soc., 53, 589(1957)
109. G.Morimoto, Nippon Kagaku Zasshi, 87, 797(1966)

110. W.Sawodny,K.Niedenthal și J.W.Dawson, J.Chem.Phys.,45, 3155(1966)
111. D.Prevorsek, Compt.rend.,244,2599(1957)
112. G.Ostrogovich și R.Bacaloglu, Studii si Cercet.Sti. Chim.,Baza Cercetări Sti.,Timisoara,2,275(1962)
113. T.Goto,K.Nakanishi și M.Ohashi, Bull.Chem.Soc.Japan, 30,723(1957)
114. G.Ostrogovich și Fl.Neamțiu, Lucrare în curs de publicare.
115. G.Hallas, "Organic Stereochemistry",Mc.Graw-Hill, Publishing Company Limited,London, 1965 p.:a,58;b,57.
116. A.Collect,M.J.Brienne și J.Jacques, Bull.Soc.chim., France, 1972,127
117. A.Piskala și J.Gut, Coll.Czech.Chem.Comm.,27,1562 (1962)
118. G.Ostrogovich,R.Vidac și E.Catalina, Rev.Chim.(București),22,606(1969)
119. G.Ostrogovich și Fl.Neamțiu, A 2-a Conferință Republicană de Chimie fizică generală și aplicată, București. sept.1970.
120. Fl.Neamțiu și G.Ostrogovich, Rezultate nepublicate
121. D.C.Abbott,Dna J.A.Bunting și J.Thomson, Analyst,90 356(1965)
122. R.W.Frei și C.D.Freeman, Mikrochim.Acta (Wien), 1968,1214
123. J.Perkovec,M.Perpar și D.Brodnik, Mikrochim.Acta (Wien), 1969,1224
124. R.J.Hance, J.Chromatog., 44,419(1969)
125. P.E.Belliveau,V.Mallet și R.W.Frei, J.Chromatog.,48, 478(1970)
126. S.Koudela, J.Chromatog., 53,589(1971)
127. W.Ebig, J.Chromatog.,65,533(1972)
128. J.C.Brown, J.Soc.Dyers and Colourist, 80,185(1964)
129. A.Cee și J.Gasparic, J.Chromatog.,56,342(1971)
130. R.D.Spencer și B.H.Beggs, J.Chromatog.,21,52(1966)
131. I.M.Hais și K.Macek,"Cromatografia pe hîrtie", Editura Tehnică, București 1960, p.728 D7a.
132. E.J.Shellard,"Quantitative Paper and Thin-Layer Chromatography", Academic Press London and New York, 1968 p.51-70
133. S.J.Purdy și E.V.Truter, Analyst, 87,802(1962)
134. Fl.Neamțiu, R.Bacaloglu și G.Ostrogovich, Z.phys. Chem.(Leipzig), sub tipar.

135. C.L.Angell, J.Chem.Soc., 1961, 504
136. N.B.Colthup, L.H.Daly și S.E.Wiberly, "Introduction to infrared and Raman spectroscopy", Academic Press, New York (1964)
137. A.Streitwieser, "Molecular Orbital Theory for Organic Chemistry," J.Wiley, New York, 1961
138. L.Salem "The Molecular Orbital Theory of Conjugated Systems, W.A.Benjamin Inc. New York, 1966.
139. E.Heilbronner și H.Bock, "Das HMO-Modell und seine Anwendung", Verlag Chemie GmbH Weinheim, 1968.
140. M.J.S.Dewar, "The Molecular Orbital Theory of Organic Chemistry", Mc.Graw Hill Book Company, New York 1969.
141. K.Nishimoto, Bull.Chem.Soc.Japan, 39, 645(1966)
142. A.J.Wohl, Tetrahedron, 24, 6889(1968)
143. B.J.Tabner și J.R.Yandle, J.Chem.Soc.A. 1968, 381
144. C.A.Coulson, Proc.Roy Soc.,A. 169, 413(1939)
145. Sieleiter, E.Heilbronner și V.Hornung, Helv.Chim. Acta, 55, 255(1972)
146. J.E.Kuder, Tetrahedron, 28, 1981(1973)
147. R.Zahradnik, J.Koutecky, J.Louas și J.Gut, Coll.Czech. Chem.Comm., 28, 1499(1963)
148. T.N.Roghinskaia și A.I.Finkelstein, Zhur.Fiz.Khim. 45, 1609(1971)
149. G.Derflinger și H.Lischka, Monats. 100, 1003(1969)
150. N.C.Baird, M.A.Whitehead, Can.J.Chem., 45, 2059(1967)
151. J.Kuthan, Coll.Czech.Chem.Comm., 34, 2942(1969)
152. H.J.Gold, J.Amer.Chem.Soc., 90, 3402(1968)
153. L.N.Ferguson "The Modern Structural Theory of Organic Chemistry", Prentice-Hall Inc. Englewood Cliffs, 1963
154. H.C.Longuet-Higgins, Trans.Farad.Soc., 45, 173(1949)
155. P.Zuman "Substituent Effects in Organic Polarography" Plenum Press, New York, 1967
156. I.S.Longmuir "Advances in Polarography", Pergamon Press, Oxford, London, New York, Paris, 1960, vol. 2 și 3.
157. A.R.Katritzky "Physical Methods in Heterocyclic Chemistry", Academic Press, New York and London, 1963, vol.1.
158. J.Volke, Talanta, 12, 1081(1965)
159. J.Tirouflet și E.Laviron, Ricerca Sci., 29, 3(1959)

160. D.J.Pietrzyk, Analyt.Chem., 38, 278R(1966), 40, 194R(1968)  
42, 139R(1970), 44, 457R(1972)
161. K.Suchy, Sbornik Mezinarod.Polarog.Sjezdu Praze, 1st.  
Congr., 1951, Pt. 1 Proc. 718, cf. Chem.Abstr., 46,  
10959(1952)
162. B.P.Jantalai și V.P.Slisarenko, Zavodskaya Lab., 39,  
6(1973)
163. M.H.B.Nayes, M.Stacey și J.M.Thompson, Chem. and Ind.,  
1967, 1222
164. O.V.Meskova, V.D.Bezuglîi și V.N.Dmitrieva, Zhur.  
analit.Khim., 26, 1665(1971)
165. G.Palyi, Magyar Kem.Lapja, 23, 160(1968)
166. S.Marchidan, A 4-a Conferință de Chimie fizică gene-  
rală și aplicată, București, 1974.
167. G.Palyi, M.Lelkes și A.Lorinc, Koloriszt Ertesítő, 8,  
35(1966)
168. G.Palyi, Nagyar Kem.Folyoirat, 71, 120(1965)
169. G.Palyi "Polarography 1964, Proceedings of the Third  
International Congres Southampton" G.J.Hills, Ed.,  
vol. 2, Macmillan,London England, 1964 p.747
170. G.Palyi și H.Jehring, Magyar Kem.Folyoirat, 72, 97(1966)
171. G.Palyi și A.Kiss, Koloriszt.Ertesítő, 9, 99(1967)
172. G.Palyi, H.Jehring și L.Molnar, Nagyar Kem.Foyoirat,  
73, 98(1967)
173. G.Palyi și H.Jehring, Magyar Kem.Folyoirat, 74, 204/1968)
174. G.Palyi, Z.Balthazar și A.Merenyi, Nagyar Kem.Folyoi-  
rat, 73, 113(1967)
175. K.B.Wiberg și T.P.Lewis, J.Amer.Chem.Soc., 92, 7154(1970)
176. J.E.O'Reilly și P.J.Elving, J.Amer.Chem.Soc., 94, 7941
177. L.Kittler și H.Berg, J.Electroanalyt.Chem., 16, 251(1968)
178. S.Bordi și G.Papeschi, J.Electroanalyt.Chem., 20, 297  
(1969)
179. E.Laviron, Bull.Soc.Chim.France, 1962, 418
180. B.E.Conway,R.G.Baradas,P.G.Hamilton și J.M.Parry,  
J.Electroanalyt.Chem., 10, 485(1965)
181. P.Delahay și Trachtenberg, J.Amer.Chem.Soc., 80, 2094  
(1958)
182. S.G.Mairanovskii, Doklady Akad.Nauk SSSR, 154, 683(1964)
183. L.Meites,"Polarographic Techniques", Second Edition  
Interscience Publishers, A.Division of John Wiley &  
Sons, New York, London, Sydney, 1965, a:187 ,b:138

184. J.Heyrovsky și J.Kuta, "Principles of Polarography" Publishing House of the Czechoslovak Akademy of Sciences, Prague 1965 a:295, b:83, c:86, d:272
185. E.Laviron, Bull.Soc.Chim.France, 1967, 3717
186. E.Laviron, Coll.Czech.Chem.Comm., 36, 363(1971)
187. J.Proszt,V.Cieleszky și K.Györbiro "Polarography" Akademiai Kiado, Budapest, 1967, p.174
188. J.Volke și A.M.Kardos, Coll.Czech.Chem.Comm., 33, 2560 (1968)
189. P.Zuman, J.Polarog.Soc., 13, 53(1967)
190. L.Mătăs, Pure Appl.Chem., 18, 35(1969)
191. A.Ryvolova-Kejharova și P.Zuman, J.Electroanal.Chem., 21, 197(1969)
192. O.Manousek și P.Zuman, CHem.Comm.(London), 1965, 158
193. O.Manousek,J.Krupicka,J.Gut și P.Zuman, rezultate ne-publicate , cf.P.Zuman, J.Polarog.Soc.,13,53(1967)
194. Fl.Neamțiu și G.Ostrogovich , A 4-a Conferință Republicană de Chimie fizică generală și aplicată, București, 1974.
195. L.P.Hammett "Physical Organic Chemistry" Mc Graw-Hill Book Company Inc.N.Y.(1940) p.186
196. P.Zuman, Coll.Czech.Chem.Comm., 27, 630(1962)
197. P.Zuman, Coll.Czech.Chem.Comm., 27, 648(1962)
198. P.Zuman, Coll.Czech.Chem.Comm., 27, 2035(1962)
199. P.Zuman,O.Exner,R.F.Rekker și W.Th.Nauta, Coll.Czech.Chem.Comm., 33, 3213(1968)
200. A.Maccoll, Nature, 163, 178(1949)
201. J.Anthoine,G.Coppen,J.Nasielski, Bull.Soc.chim.belges, 73, 57(1964)
202. V.Zanker,H.Schmidt, Chem.Ber., 92, 2210(1959)
203. D.van der Meer și D.Feil, Rec.Trav.Chim., 87, 746(1968)
204. D.van der Meer, Rec.Trav.Chim., 88, 1361(1969)
205. L.I.Lagutskaia și V.A.Dodali, Teoret.Exper.Khim., 8, 97(1972)
206. C.Liteanu,"Chimia Analitică Cantitativă, Volumetria Ed.3 Editura Tehnică, București 1962 p.488
207. W.Schmidt, Disertatie,Timișoara, f,e, 1963, 128.289; 128.290/212D; (IPT, FAc.Chim.Ind.).
208. O.Manousek, Comunicări personale